



รายงานการวิจัย

ซัลโฟเนตบอนถ่านกัมมันต์จากการกาแฟ: ตัวเร่งปฏิกิริยาการดองเบ็งชนิดใหม่
สำหรับการผลิตไบโอดีเซล

Sulfonated Activated Carbon derived from Coffee Residue:
A Novel Solid Acid Catalyst for Biodiesel Production



ผู้วิจัย

อาจารย์ ดร. กนกวรรณ จ้าวสุวรรณ

โครงการวิจัยทุนสนับสนุนงานวิจัยของสำนักงานคณะกรรมการการอุดมศึกษา สำนักงาน
กองทุนสนับสนุนการวิจัย และมหาวิทยาลัยเทคโนโลยีราชมงคลกรุงเทพ
งบประมาณรายได้สะสม ปี พ.ศ. 2554
มหาวิทยาลัยเทคโนโลยีราชมงคลกรุงเทพ

รายงานการวิจัย

ชัลโ芬เนตบนถ่านก้มมันต์จากกาแฟแพะ: ตัวเร่งปฏิกิริยาการดของเชื้อชนิดใหม่
สำหรับการผลิตไบโอดีเซล

Sulfonated Activated Carbon derived from Coffee Residue:
A Novel Solid Acid Catalyst for Biodiesel Production



โครงการวิจัยทุนสนับสนุนงานวิจัยของสำนักงานคณะกรรมการการอุดมศึกษา สำนักงาน
กองทุนสนับสนุนการวิจัย และมหาวิทยาลัยเทคโนโลยีราชมงคลกรุงเทพ
งบประมาณรายได้สะสม ปี พ.ศ. 2554
มหาวิทยาลัยเทคโนโลยีราชมงคลกรุงเทพ

บทคัดย่อ

งานวิจัยนี้เป็นการสังเคราะห์ตัวเร่งปฏิกิริยาซัลโฟเคนทบันถ่านกัมมันต์ ($\text{AC-CR-SO}_3\text{H}$) โดยใช้ถ่านกัมมันต์จากการแยกไฟฟ้าของสารบดีที่ดีของถ่านกัมมันต์จากการแยกไฟฟ้าเพื่อการที่มีพื้นที่ผิวสูง ขนาดรูพรุนอยู่ในช่วงเมโซโพอร์ (Mesopore) ประมาณ 2 – 50 นาโนเมตร มีความเสถียรที่อุณหภูมิสูง และมีสมบัติไม่ชอบน้ำ สามารถเสริมประสิทธิภาพการเร่งปฏิกิริยาและลดการเสื่อมสภาพของตัวเร่งปฏิกิริยาอีกด้วย และการเติมหมู่ซัลโฟเคนทบันถ่านกัมมันต์โดยใช้ปฏิกิริยาซัลโฟเคนกับกรด H_2SO_4 จะให้ตัวเร่งปฏิกิริยาที่มีความเป็นกรดสูง ในงานวิจัยนี้มีการสังเคราะห์ตัวเร่งปฏิกิริยา $\text{AC-CR-SO}_3\text{H}$ ที่อุณหภูมิการเกิดปฏิกิริยาซัลโฟเคนต่างๆ ดังนี้ คือ 140, 160, 180 และ 200 °C จะได้ตัวเร่งปฏิกิริยา $\text{AC-CR-SO}_3\text{H-140}^\circ\text{C}$, $\text{AC-CR-SO}_3\text{H-160}^\circ\text{C}$, $\text{AC-CR-SO}_3\text{H-180}^\circ\text{C}$ และ $\text{AC-CR-SO}_3\text{H-200}^\circ\text{C}$ ตามลำดับ โดยมีการศึกษาคุณลักษณะของตัวเร่งปฏิกิริยาที่สังเคราะห์ได้ เช่น การตรวจสอบความเป็นผลึกโดยใช้เทคนิคการเลี้ยวเบนของรังสีเอกซ์ (X-ray Diffraction, XRD) พบว่าตัวเร่งปฏิกิริยาที่สังเคราะห์จะมีความเป็นผลึก (Crystal) ผสมกับความเป็นอสัญฐาน (Amorphous) แต่เมื่อพับผลึกของหมู่ซัลโฟเคน แต่เมื่อนำไปวิเคราะห์ด้วยเครื่อง FT-IR จะพบหมู่ฟังก์ชันซัลโฟเคนท์ที่ตำแหน่งประมาณ $1,000\text{-}1,100 \text{ cm}^{-1}$ นอกจากนี้ยังพบหมู่ฟังก์ชันของกรดคาร์บอซิลิกและพินอลิกที่ตำแหน่งประมาณ $3,400 \text{ cm}^{-1}$ ส่วนพื้นที่ผิวจำเพาะของตัวเร่งปฏิกิริยาที่สังเคราะห์ได้จะอยู่ในช่วง $955\text{-}1,218 \text{ m}^2/\text{g}$ และมีรูปรุนขนาดประมาณ 3 – 4 นาโนเมตร ซึ่งเป็นขนาดรูปนูนที่ต้องการ และเมื่อนำไปทดสอบการเร่งปฏิกิริยาอสเทอโรฟิเคชันของกรดคาพริลิกที่อุณหภูมิ 60 °C โดยใช้อัตราส่วนเชิงโมลของกรดคาพริลิกต่อเมทานอลเท่ากับ 1 ต่อ 3 ปริมาณตัวเร่งปฏิกิริยา 5% โดยน้ำหนักของกรดคาพริลิก พบร่วงตัวเร่งปฏิกิริยา $\text{AC-CR-SO}_3\text{H-140}^\circ\text{C}$ มีความว่องไวในการเร่งปฏิกิริยาสูงสุดจะให้ค่าการเปลี่ยนของกรดคาพริลิก (HCp Conversion) เท่ากับ 60.5% และตัวเร่งปฏิกิริยา $\text{AC-CR-SO}_3\text{H-200}^\circ\text{C}$ จะมีความว่องไวน้อยที่สุดมีค่าการเปลี่ยนของกรดคาพริลิกเท่ากับ 44.8% เนื่องจากตัวเร่งปฏิกิริยา $\text{AC-CR-SO}_3\text{H-140}^\circ\text{C}$ มีพื้นที่ผิวจำเพาะ ปริมาตรรูปนูนสูงที่สุด และมีความเป็นกรดสูงอีกด้วย ซึ่งปัจจัยหนึ่งที่มีผลต่อความว่องไวในการเร่งปฏิกิริยา

ABSTRACT

This research was a synthesis of sulfonated activated carbon derived from coffee residue. Owing to the appropriate properties of carbon-based from coffee residue were high surface area with meso pore as 2 – 50 nm, high thermal stability and hydrophobic properties. These properties can enhance the catalytic activity and reduce the catalyst deactivation. Sulfonation activated carbon derived from coffee residue with H_2SO_4 resulted to provide high acid site density. The sulfonated activated carbon derived from coffee residue was synthesized with various reaction temperature following 140, 160, 180 and 200°C with namely of AC-CR-SO₃H-140°C, AC-CR-SO₃H-160°C, AC-CR-SO₃H-180°C and AC-CR-SO₃H-200°C respectively. The synthesized catalysts were characterized by X-ray diffraction. It was found that the synthesized catalysts had the mixture of crystallite and amorphous without the sulfonated crystallite. It was also found that the sulfonated group and carboxylic group or phenolic group were present at 1,000-1,100 cm^{-1} and 3,400 cm^{-1} , respectively which analyzed by FT-IR. The specific surface area of synthesized catalysts were in the range of 955 – 1,218 m^2/g with pore size of 3 – 4 nm as designed. The catalytic activity of synthesized catalyst were test via esterification of caprylic acid at the temperature of 60°C with methanol to oil molar ratio of 1 to 3 and catalyst loading of 5% by weight of caprylic acid. The AC-CR-SO₃H-140°C gave the highest caprylic acid conversion as 60.5%. On the other hand, the AC-CR-SO₃H-200°C provided the lowest of caprylic acid conversion of 44.8%. It was due to the AC-CR-SO₃H-140°C catalyst was the highest surface area and pore volume with high acid site density as an important factor to catalyzed reaction.

กิตติกรรมประกาศ

ผู้วิจัยขอขอบคุณสำนักงานคณะกรรมการการอุดมศึกษา สำนักงานกองทุนสนับสนุนการวิจัย และมหาวิทยาลัยเทคโนโลยีราชมงคลกรุงเทพ ผู้ให้ทุนสนับสนุนปีประจำปีงบประมาณ 2554

ขอขอบคุณศาสตราจารย์ ดร.ปิยะสาร ประเสริฐธรรม ที่เป็นนักวิจัยผู้ให้คำปรึกษาในงานวิจัยนี้ และขอขอบคุณศูนย์เชี่ยวชาญเฉพาะทางด้านคadata ไลซิสและวิศวกรรมปฏิกรณ์ที่ใช้ตัวเร่งปฏิกรณ์ฯ ภาควิชาวิศวกรรมเคมี คณะวิศวกรรมศาสตร์ จุฬาลงกรณ์มหาวิทยาลัย ที่ให้ความอนุเคราะห์ในการใช้เครื่องวิเคราะห์ด้วยการเลี้ยวเบนของรังสีเอกซ์ เครื่องฟูเรีย์ทرانสฟอร์มอินฟารेडสเปกโตรสโคป และกล้องจุลทรรศน์อิเล็กตรอนแบบส่องกราด



สารบัญ

หน้า

บทคัดย่อ	๑
ABSTRACT	๑
กิตติกรรมประกาศ	๑
สารบัญ	๒
รายการตาราง	๓
รายการรูป	๔
รายการสัญลักษณ์	๕
บทที่ 1 บทนำ	1
1.1 ความเป็นมาและความสำคัญของปัญหา	1
1.2 วัตถุประสงค์ของงานวิจัย	3
1.3 ขอบเขตของงานวิจัย	3
1.4 ประโยชน์ที่คาดว่าจะได้รับ	4
บทที่ 2 การบททวนวรรณกรรม	6
2.1 ตัวเร่งปฏิกิริยา	6
2.2 สารว่องไว	8
2.3 ตัวรองรับ หรือตัวพา	10
2.4 ใบโอดีเซล	10
2.5 กรดไขมันและน้ำมัน	19
2.6 ปฏิกิริยาเอสเทอโรฟิเดชัน	21
2.7 งานวิจัยที่ผ่านมา	22
บทที่ 3 วิธีการวิจัย	27
3.1 วัสดุและอุปกรณ์	27
3.2 วิธีการทดลอง	28
บทที่ 4 ผลการทดลองและการอภิปรายผล	33
4.1 เทคนิคการเลี้ยวเบนของรังสีเอกซ์	33
4.2 เทคนิคฟูเรียร์ทรานส์ฟอร์มอินฟารेडสเปกตรोสโคปี	34
4.3 เทคนิคการคุณภาพทางกายภาพของแก๊สในโรงเจน	36
4.4 เทคนิคการใช้กล้องจุลทรรศน์อิเล็กตรอนแบบส่องกราด	39

สารบัญ (ต่อ)

	หน้า
บทที่ 5 สรุปผลการวิจัยและข้อเสนอแนะ	53
5.1 สรุปผลการวิจัย	53
5.2 ข้อเสนอแนะ	53
บรรณานุกรม	54
ภาคผนวก	59
ภาคผนวก ก การคำนวณความว่องไวในการเร่งปฏิกริยาอีสเทอริฟิเคชัน	60
ภาคผนวก ข การวิเคราะห์ด้วยเครื่องแก๊สเครม่าทีกราฟ	66
ภาคผนวก ค การเผยแพร่ผลงาน	69
ประวัตินักวิจัย	70

รายการรูป

รูปที่	หน้า
2.1 กลไกการเกิดปฏิกิริยาเอสเทอโรฟิเคลชันโดยใช้ตัวเร่งปฏิกิริยาที่เป็นกรด	22
4.1 รูปแบบการเลี้ยวเบนของรังสีเอกซ์ของตัวรองรับถ่านกัมมันต์จากการกาแฟ (a) ตัวเร่งปฏิกิริยา AC-CR-SO ₃ H-140°C (b), AC-CR-SO ₃ H-160°C (c), AC-CR-SO ₃ H-180°C (d) และ AC-CR-SO ₃ H-140°C (e)	34
4.2 สเปกตร่าที่ได้จากการวิเคราะห์ด้วยเทคนิค FT-IR ของตัวรองรับถ่านกัมมันต์จาก กาแฟ (a) ตัวเร่งปฏิกิริยา AC-CR-SO ₃ H-140°C (b), AC-CR-SO ₃ H-160°C (c), AC-CR-SO ₃ H-180°C (d) และ AC-CR-SO ₃ H-140°C (e)	35
4.3 การกระจายขนาดรูปรุนของตัวรองรับถ่านกัมมันต์จากการกาแฟ (a) ตัวเร่งปฏิกิริยา AC-CR-SO ₃ H-140°C (b), AC-CR-SO ₃ H-160°C (c), AC-CR-SO ₃ H-180°C (d) และ AC-CR-SO ₃ H-140°C (e)	38
4.4 ภาพจากการตรวจสอบคุณลักษณะด้วยเทคนิคการใช้กล้องจุลทรรศน์อิเล็กตรอน แบบส่องกราดของตัวรองรับถ่านกัมมันต์จากการกาแฟ (AC-CR) (a) กำลังขยาย 300 เท่า (b) กำลังขยาย 2,000 เท่า (c) กำลังขยาย 15,000 เท่า ตามลำดับ	40
4.5 ภาพจากการตรวจสอบคุณลักษณะด้วยเทคนิคการใช้กล้องจุลทรรศน์ อิเล็กตรอนแบบส่องกราดของตัวเร่งปฏิกิริยาชัลโ芬บนตัวรองรับถ่านกัม มันต์จากการกาแฟที่อุณหภูมิ 140°C (AC-CR-SO ₃ H-140°C) (a) กำลังขยาย 300 เท่า (b) กำลังขยาย 2,000 เท่า (c) กำลังขยาย 15,000 เท่า ตามลำดับ	41
4.6 ภาพจากการตรวจสอบคุณลักษณะด้วยเทคนิคการใช้กล้องจุลทรรศน์อิเล็กตรอน แบบส่องกราดของตัวเร่งปฏิกิริยาชัลโ芬บนตัวรองรับถ่านกัมมันต์จากการกาแฟ ที่อุณหภูมิ 160°C (AC-CR-SO ₃ H-160°C) (a) กำลังขยาย 300 เท่า (b) กำลังขยาย 2,000 เท่า (c) กำลังขยาย 15,000 เท่า ตามลำดับ	42
4.7 ภาพจากการตรวจสอบคุณลักษณะด้วยเทคนิคการใช้กล้องจุลทรรศน์อิเล็กตรอน แบบส่องกราดของตัวเร่งปฏิกิริยาชัลโ芬บนตัวรองรับถ่านกัมมันต์จากการกาแฟ ที่อุณหภูมิ 180°C (AC-CR-SO ₃ H-180°C) (a) กำลังขยาย 300 เท่า (b) กำลังขยาย 2,000 เท่า (c) กำลังขยาย 15,000 เท่า ตามลำดับ	43

รายการรูป (ต่อ)

รูปที่	หน้า
4.8 ภาพจากการตรวจสอบคุณลักษณะด้วยเทคนิคการใช้กล้องจุลทรรศน์อิเล็กตรอนแบบส่องกราดของตัวเร่งปฏิกิริยาชัลฟ์เนตบนตัวรองรับถ่านกัมมันต์จากการกาแฟที่อุณหภูมิ 200°C (AC-CR-SO ₃ H- 200°C) (a) กำลังขยาย 300 เท่า (b) กำลังขยาย 2,000 เท่า (c) กำลังขยาย 15,000 เท่าตามลำดับ	44
4.9 ภาพจากการตรวจสอบองค์ประกอบของราตุคาร์บอน ในโตรเจน ออกซิเจน และชัลเฟอร์ด้วยเทคนิคสเปกโทรสโคปีกรายงานโดยใช้รังสีเอกซ์ของตัวรองรับถ่านกัมมันต์ (AC-CR) กำลังขยาย 5	46
4.10 จากการตรวจสอบองค์ประกอบของราตุคาร์บอน ในโตรเจน ออกซิเจน และชัลเฟอร์ด้วยเทคนิคสเปกโทรสโคปีกรายงานโดยใช้รังสีเอกซ์ของตัวเร่งปฏิกิริยาชัลฟ์เนตบนตัวรองรับถ่านกัมมันต์จากการกาแฟที่อุณหภูมิ 140°C (AC-CR-SO ₃ H- 140°C) ที่กำลังขยาย 10 μm	46
4.11 ภาพจากการตรวจสอบองค์ประกอบของราตุคาร์บอน ในโตรเจน ออกซิเจน และชัลเฟอร์ด้วยเทคนิคสเปกโทรสโคปีกรายงานโดยใช้รังสีเอกซ์ของตัวเร่งปฏิกิริยาชัลฟ์เนตบนตัวรองรับถ่านกัมมันต์จากการกาแฟที่อุณหภูมิ 160°C (AC-CR-SO ₃ H- 160°C) ที่กำลังขยาย 10 μm	47
4.12 ภาพจากการตรวจสอบองค์ประกอบของราตุคาร์บอน ในโตรเจน ออกซิเจน และชัลเฟอร์ด้วยเทคนิคสเปกโทรสโคปีกรายงานโดยใช้รังสีเอกซ์ของตัวเร่งปฏิกิริยาชัลฟ์เนตบนตัวรองรับถ่านกัมมันต์จากการกาแฟที่อุณหภูมิ 180°C (AC-CR-SO ₃ H- 180°C) ที่กำลังขยาย 10 μm	47
4.13 ภาพจากการตรวจสอบองค์ประกอบของราตุคาร์บอน ในโตรเจน ออกซิเจน และชัลเฟอร์ด้วยเทคนิคสเปกโทรสโคปีกรายงานโดยใช้รังสีเอกซ์ของตัวเร่งปฏิกิริยาชัลฟ์เนตบนตัวรองรับถ่านกัมมันต์จากการกาแฟที่อุณหภูมิ 200°C (AC-CR-SO ₃ H- 200°C) ที่กำลังขยาย 10 μm	48

รายการรูป (ต่อ)

รูปที่	หน้า
4.14 การเปรียบเทียบค่าการเปลี่ยนของกรดคาพริลิกในปฏิกิริยาเอสเทอโรฟิเคลชันที่อุณหภูมิ 60 °C ของตัวเร่งปฏิกิริยา AC-CR-SO ₃ H ที่สังเคราะห์อุณหภูมิต่างๆ กับตัวเร่งปฏิกิริยา Amberlyst-15 และตัวเร่งปฏิกิริยากรด H ₂ SO ₄	51
ก.1 โคมไฟแกรมของสารตั้งต้นและผลิตภัณฑ์จากปฏิกิริยาทรานส์เอสเทอโรฟิเคลชันของ TCp และกรดไดมันอิสระ HCp	60
ก.2 กราฟมาตราฐานของ TCp	61
ก.3 กราฟมาตราฐานของ HCp	62
ก.4 กราฟมาตราฐานของ MeCp	62

รายการสัญลักษณ์

สัญลักษณ์

ความหมาย

AC-CR	ถ่านกัมมันต์จากกาแฟ (Activated carbon-coffee residue)
AC-CR-SO ₃ H-140°C	ตัวเร่งปฏิกิริยาซัลฟอนเตบనถ่านกัมมันต์จากกาแฟที่อุณหภูมิ 140°C (Sulfonated activated carbon-coffee residue at 140°C)
AC-CR-SO ₃ H-160°C	ตัวเร่งปฏิกิริยาซัลฟอนเตบนถ่านกัมมันต์จากกาแฟที่อุณหภูมิ 160°C (Sulfonated activated carbon-coffee residue at 160°C)
AC-CR-SO ₃ H-180°C	ตัวเร่งปฏิกิริยาซัลฟอนเตบนถ่านกัมมันต์จากกาแฟที่อุณหภูมิ 180°C (Sulfonated activated carbon-coffee residue at 180°C)
AC-CR-SO ₃ H-200°C	ตัวเร่งปฏิกิริยาซัลฟอนเตบนถ่านกัมมันต์จากกาแฟที่อุณหภูมิ 200°C (Sulfonated activated carbon-coffee residue at 200°C)
MeCp	เมทิลคาพริเลท (Methyl caprylate)
HCp	กรดคาพริลิก (Caprylic acid)

บทที่ 1

บทนำ

บทนี้กล่าวถึงความเป็นมา และความสำคัญของปัญหา วัตถุประสงค์ของงานวิจัยขอบเขตของการทำงานวิจัยและประโยชน์ที่จะได้รับจากการวิจัยนี้

1.1 ความเป็นมาและความสำคัญของปัญหา

ไบโอดีเซล (Biodiesel) เป็นเชื้อเพลิงที่ได้จากพลังงานหมุนเวียน (Renewable energy) สามารถหาได้ในท้องถิน เช่น น้ำมันพืช ไขมันสัตว์ หรือของเสียจากโรงงานอุตสาหกรรมอาหาร นำมาผ่านกระบวนการทางเคมีเพื่อเปลี่ยนสมบัติบางอย่างให้สามารถนำมาใช้เป็นเชื้อเพลิงทดแทนน้ำมันดีเซลได้ การใช้ไบโอดีเซลจะช่วยลดการนำเข้าน้ำมันดิบจากต่างประเทศ และเสริมสร้างความมั่นคงด้านพลังงานสำหรับประโยชน์ของการใช้น้ำมันไบโอดีเซลในด้านสิ่งแวดล้อม จากผลการทดลองของสถาบันวิจัยและเทคโนโลยี ของบริษัท ปตท. จำกัด (มหาชน) การผสมไบโอดีเซลในสัดส่วนต่างๆ ช่วยลดมลพิษทางอากาศได้ 10-20% และลดค่าน้ำมันได้ 20% สำหรับไบโอดีเซล 100% ช่วยลดมลพิษทางอากาศได้ 20-40% และลดค่าน้ำมันได้ถึง 60% National Biodiesel Board ประเทศสหรัฐอเมริการะบุว่าไบโอดีเซลช่วยลดปริมาณแก๊สคาร์บอนไดออกไซด์ที่ปล่อยสู่บรรยากาศซึ่งเป็นสาเหตุของภาวะเรือนกระจกถึง 78.5% เทียบกับการใช้น้ำมันไบโอดีเซล คิดเป็นมูลค่ากว่า 8,000 ล้านบาท ในปี 2555 [1]

กระบวนการผลิตไบโอดีเซลโดยทั่วไปจะใช้น้ำมันที่ผ่านการกลั่นมีคุณภาพที่ดีนำมาทำปฏิกิริยากับ เมทานอลและตัวเร่งปฏิกิริยาเบส (Alkaline) เกิดเป็นเมทธิลเอสเทอร์ (Methyl ester) หรือไบโอดีเซล เรียกกระบวนการนี้ว่าทรานส์อเลสเทอโรฟิเดชัน (Transesterification) แต่อย่างไรก็ตามสำหรับกระบวนการผลิตชนิดนี้จะมีต้นทุนที่สูงเนื่องจากน้ำมันที่ผ่านการกลั่นมีคุณภาพที่ดีซึ่งเป็นวัตถุดิบหลักมีราคาสูง ทำให้ไม่สามารถแข่งขันกับราคาน้ำมันดีเซลในเชิงพาณิชย์ได้ [2]

การใช้ตัวเร่งปฏิกิริยาเอกพันธุ์กรด (Homogeneous acid catalyst) สามารถใช้เร่งปฏิกิริยาได้ทั้งปฏิกิริยาเอสเทอโรฟิเดชันและปฏิกิริยาทรานส์อเลสเทอโรฟิเดชันได้พร้อมกัน ทำให้ตัวเร่งปฏิกิริยาเอกพันธุ์กรด เช่น กรดซัลฟิวริก (H_2SO_4) กรดไฮโดรคลอริก (HCl) กรดฟอฟอริส (H_3PO_4) และ硼酸 (Borax) ฟลูออไรด์ (BF_3) ถูกนำมาใช้แทนตัวเร่งปฏิกิริยาเบส ซึ่งจะทำให้ลดขั้นตอนการทำบัดน้ำมันสำหรับวัตถุดิบที่มีปริมาณกรดไขมันอิสระสูงได้ แต่อย่างไรก็ตาม การใช้ตัวเร่งปฏิกิริยาเอกพันธุ์กรดมีข้อจำกัดในเรื่องของ การกัดกร่อนของอุปกรณ์ที่ใช้ แยกออกจากผลิตภัณฑ์ยากเนื่องจากเป็นเนื้อเดียวกันกับสารตั้งต้น และต้องมีกระบวนการกำจัดของเสียผ่านกระบวนการการทำให้เป็นกลาง (Neutralization) [3]

ดังนั้นการนำตัวเร่งปฏิกิริยาไวริพันธุ์ชนิดกรด (Heterogeneous acid catalysts) มาใช้ในกระบวนการผลิตไบโอดีเซลสามารถช่วยแก้ปัญหาต่างๆ ที่เกิดขึ้น ลดความซับซ้อนในขั้นตอนการแยกผลิตภัณฑ์ออกจากตัวเร่งปฏิกิริยา โดยลดปริมาณน้ำและพลังงานที่ใช้ในการล้างผลิตภัณฑ์ ส่งผลให้กระบวนการผลิตมีต้นทุนลดลง ลดของเสียจากการผลิตเนื่องจากไม่สบู่เกิดขึ้นในกระบวนการผลิต เนื่องจากตัวเร่งปฏิกิริยาพันธุ์ใหม่รวมเป็นเนื้อเดียวกับสารตั้งต้นและผลิตภัณฑ์ทำให้ไม่จำเป็นจะต้องป้อนตัวเร่งปฏิกิริยาเข้าไปพร้อมกับวัตถุดิบอย่างต่อเนื่อง อีกทั้งยังสามารถในตัวเร่งปฏิกิริยากลับมาใช้ใหม่ได้ ให้ผลด้านความคุ้มค่าทางเศรษฐกิจอย่างชัดเจน ในแง่ของการให้อัตราการศีนทุนสูง ใช้เงินลงทุนต่ำ และใช้เทคโนโลยีที่ไม่ซับซ้อน [4, 5]

ตัวอย่างตัวเร่งปฏิกิริยาไวริพันธุ์ชนิดกรดที่ใช้ในการผลิตไบโอดีเซล ได้แก่ ซีโอไลท์ (Zeolites) [6], แلنทาเนียมบันซีโอไลท์เบتا (La/zeolite beta) [7] ชัลเฟตเซอร์โคเนียบันตัวรองรับซิลิกา (Silica-supported zirconium sulfate) [8] แนฟิออนบันซิลิกา (Nafion ® SAC-13) [9, 10] ทั้งสแตนบันเซอร์โคเนีย (Tunstated zirconia, WZ) [10, 11] สำหรับประสิทธิภาพของตัวเร่งปฏิกิริยากรดอย่างไรก็ตาม ตัวเร่งปฏิกิริยาไวริพันธุ์กรดที่เหมาะสมในการเร่งปฏิกิริยาการผลิตไบโอดีเซลควรมีสมบัติดังนี้ มีขนาดรูพรุนที่ใหญ่พอเพื่อป้องกันการเกิดความด้านทานในการแพร่ของโมเลกุลขนาดใหญ่ (น้ำมัน) [8] ควรมีความเป็นกรดที่สูงพอเพื่อทำให้ปฏิกิริยาทรานส์อสเทอเริฟิเคชันสามารถเกิดได้ในระยะเวลาสั้น [12] ควรมีความเสถียรภาพต่ออุณหภูมิเพื่อป้องกันการหลุดออกของตำแหน่งที่ว่องไว [13] พื้นผิวของตัวเร่งปฏิกิริยาควรมีสมบัติไม่ชอบน้ำ (Hydrophobic) เพื่อคุดซับน้ำมันซึ่งเป็นสารตันตันในการเกิดปฏิกิริยาและป้องกันการเสื่อมสภาพของตัวเร่งปฏิกิริยาเนื่องจากการคุดซับของโมเลกุลที่มีข้าวโดยเฉพาะน้ำ [14, 15]

ดังนั้นผู้วิจัยนำเสนอโครงการวิจัยเกี่ยวกับตัวเร่งปฏิกิริยาชัลโลเคนบนถ่านกัมมันต์ที่ได้จากการกาแฟเพื่อใช้การผลิตไบโอดีเซล เนื่องจากหมู่ชัลโลเคน (ตำแหน่งว่องไวของตัวเร่งปฏิกิริยา) มีความเป็นกรดสูง ใกล้เคียงกับกรดชัลฟิวริก ทำให้สามารถเร่งปฏิกิริยาทรานส์อสเทอเริฟิเคชัน และปฏิกิริยาเอสเทอเริฟิเคชันได้ดีเทียบเท่ากับกรดชัลฟิวริก แต่สามารถนำกลับมาใช้ใหม่ได้ นอกจากนี้สมบัติของตัวรองรับถ่านกัมมันต์ที่ได้จากการกาแฟมีที่มีพื้นที่ผิวสูง ขนาดรูพรุนอยู่ในช่วงเมโซโพร์ (Mesopore) ประมาณ 2 นาโนเมตร มีความเสถียรที่อุณหภูมิสูง และมีสมบัติไม่ชอบน้ำ จะช่วยเสริมประสิทธิภาพการเร่งปฏิกิริยา และลดการเสื่อมสภาพของตัวเร่งปฏิกิริยาอีกด้วย งานวิจัยนี้ประกอบด้วย 2 ส่วน คือ ส่วนแรกเป็นการสังเคราะห์ตัวเร่งปฏิกิริยา โดยเตรียมตัวรองรับถ่านกัมมันต์จากการกาแฟ และนำมาเพิ่มตำแหน่งว่องไวจากปฏิกิริยาชัลโลเคนของกรดชัลฟิวริกเข้มข้น ตรวจสอบคุณลักษณะเฉพาะของตัวเร่งปฏิกิริยาที่สังเคราะห์ได้ และนำไปร่างปฏิกิริยาเอสเทอเริฟิเคชันของกรดไขมันอิสระ ทั้งนี้ความรู้ที่ได้สามารถนำไปสู่องค์ความรู้ใหม่ด้านการพัฒนาตัวเร่งปฏิกิริยาที่เหมาะสมในการกระบวนการผลิตไบโอดีเซลแบบขั้นตอนเดียว ทำ

ให้ได้ดันทุนการผลิตที่ลดลง สามารถทดแทนน้ำมันดีเซลได้ และเป็นการเพิ่มมูลค่าของของเสียจากกระบวนการผลิตจากการแไฟฟ์อีกด้วย

1.2 วัตถุประสงค์ของงานวิจัย (โครงการ 2 ปี ต่อเนื่อง)

- 1.2.1 เพื่อสังเคราะห์ตัวเร่งปฏิกิริยาชัลโ芬เอนบันถ่านกัมมันต์จากการแไฟฟ์ รวมทั้งวิเคราะห์สมบัติทางกายภาพและเคมีของตัวเร่งปฏิกิริยาที่เตรียมได้ (ปีที่ 1)
- 1.2.2 เพื่อศึกษาความว่องไวในการเร่งปฏิกิริยาเอสเทอโรฟิฟิเคลเซ็นของกรดไขมัน (ปีที่ 1)
- 1.2.3 เพื่อศึกษาภาวะที่เหมาะสมในการเร่งปฏิกิริยาทรานส์เอสเทอโรฟิฟิเคลเซ็นของไตรกลีเซอไรด์ (ปีที่ 2)
- 1.2.4 เพื่อศึกษาการนำตัวเร่งปฏิกิริยากลับมาใช้ใหม่ และการสือมสภาพของตัวเร่งปฏิกิริยา (ปีที่ 2)

1.3 ขอบเขตของงานวิจัย

งานวิจัยนี้เป็นงานวิจัยต่อเนื่องจากปีงบประมาณ 2554 (ระยะเวลาดำเนินการ 2 ปี) ซึ่งมีขอบเขตของโครงการดังนี้

ปีที่ 1 (งบประมาณปี 2554) สังเคราะห์ตัวรองรับถ่านกัมมันต์จากการแไฟฟ์ โดยใช้ $ZnCl_2$ เป็นตัวกระตุ้น และตัวรองรับมาทำปฏิกิริยาชัลโ芬เข็นเพื่อเพิ่มหมู่ชัลโ芬ิกที่อุณหภูมิ $120-200^\circ C$ โดยใช้กรดซัลฟิวริกเข้มข้น เพื่อให้ได้ตัวเร่งปฏิกิริยา AC-CR-SO₃H และนำตัวเร่งปฏิกิริยาที่สังเคราะห์ได้ไปวิเคราะห์สมบัติทางกายภาพและเคมี พร้อมกับศึกษาความว่องไวของตัวเร่งปฏิกิริยาที่สังเคราะห์ได้ในการเร่งปฏิกิริยาเอสเทอโรฟิฟิเคลเซ็นของกรดคาพริล มีขั้นตอนดังนี้

- 1.3.1 สังเคราะห์ถ่านกัมมันต์ที่ใช้เป็นตัวรองรับ โดยใช้ $ZnCl_2$ เป็นสารกระตุ้น นำไปคาร์บอเนเชนในบรรยากาศของแก๊ส CO₂ และควบคุมอุณหภูมิที่ $600^\circ C$ เป็นเวลา 4 ชั่วโมง เก็บตัวรองรับที่สังเคราะห์ได้ในโถดูดความชื้น (Desicator) [30]
- 1.3.2 สังเคราะห์ตัวเร่งปฏิกิริยาชัลโ芬เอนบันถ่านกัมมันต์ที่ได้จากการแไฟฟ์ (AC-CR-SO₃H) โดยใช้ปฏิกิริยาชัลโ芬เข็น (Sulfonation reaction) โดยใช้กรดซัลฟิวริกเข้มข้นที่อุณหภูมิ $120-180^\circ C$ ภายใต้รีฟลักซ์ และกวนตลอดเวลา เป็นเวลา 10 ชั่วโมง และล้างด้วยน้ำอุณหภูมิ $80^\circ C$ เพื่อกำจัดไอออกซอนของชัลเฟตที่เหลืออยู่ แล้วอบแห้งที่อุณหภูมิ $120^\circ C$ เป็นเวลา 2 ชั่วโมง
- 1.3.3 ศึกษาคุณลักษณะของตัวเร่งที่สังเคราะห์ได้โดยใช้

- 1.3.3.1 เทคนิค X-ray diffraction (XRD) เพื่อตรวจสอบความเป็นผลึกของตัวเร่งปฏิกิริยา
- 1.3.3.2 หาองค์ประกอบของตัวเร่งปฏิกิริยาโดยใช้เทคนิค Energy Dispersive X-ray (EDX)
- 1.3.3.3 ตรวจสอบลักษณะของตัวเร่งปฏิกิริยาโดยใช้กล้องจุลทรรศน์แบบส่องกราด Scanning Electron Microscope (SEM)
- 1.3.3.4 คำนวณพื้นที่ผิว ขนาดของรูพรุน และการกระจายของขนาดรูพรุนของตัวเร่งปฏิกิริยา โดยใช้เทคนิค BET Gas Sorption
- 1.3.3.5 ตรวจสอบหมู่ฟังก์ชันชัลฟอนิกโดยใช้เทคนิค Fourier transform infrared spectroscopy (FT-IR)
- 1.3.3.6 เทคนิค Ion-Exchange titration เพื่อหาความเป็นกรดของตัวเร่งปฏิกิริยา
- 1.3.4 ติดตั้งอุปกรณ์สำหรับการเร่งปฏิกิริยาเอสเทอโรฟิเคนชันของกรดคาพริลิกและเมทานอลของตัวเร่งปฏิกิริยา AC-CR-SO₃H ที่สังเคราะห์ได้ โดยใช้เครื่องปฏิกิริยแบบกะที่อุณหภูมิ 60°C เพื่อให้สารตั้งต้นทั้งหมดดอยู่ในวัฏจักรของเหลว ที่ความดันบรรยากาศ (เนื่องจากไม่มีเครื่องปฏิกิริยานิดความดันสูงและอุณหภูมิสูง) เพื่อศึกษาความว่องไวในการเร่งปฏิกิริยา เช่น ค่าการเปลี่ยนของกรดคาพริลิก (% Caprylic acid conversion) และผลได้ของเมทิลคาพริเลต (% Methyl caprylate yield) ที่เปลี่ยนแปลงตามเวลา
- 1.3.5 วิเคราะห์ผลการทดลอง
- 1.3.6 จัดทำรายงาน และส่งตีพิมพ์ในวารสารวิชาการระดับนานาชาติ

ปีที่ 2 (งบประมาณปี 2555) ศึกษาความว่องไวในการเร่งปฏิกิริยาทรานส์เอสเทอโรฟิเคนชันของไตรคาพิลินและปฏิกิริยาเอสเทอโรฟิเคนชันของกรดคาพริลิก โดยใช้ตัวเร่งปฏิกิริยาที่สังเคราะห์ได้ ซึ่งประกอบด้วยตัวแปรในการเร่งปฏิกิริยา ดังนี้ ปริมาณของตัวเร่งปฏิกิริยา อัตราส่วนของสารตั้งต้น และเวลาที่ใช้ในการเกิดปฏิกิริยา และศึกษาผลของปริมาณกรดคาพริลิก ในไตรคาพิลินที่มีต่อความว่องไวในการเกิดปฏิกิริยาทรานส์เอสเทอโรฟิเคนชันและเอสเทอโรฟิเคนชันพร้อมกัน นอกจากนี้ยังศึกษาการเสื่อมสภาพของตัวเร่งปฏิกิริยาที่สังเคราะห์ได้

1.4 ประโยชน์ที่คาดว่าจะได้รับ

- 1.4.1 สามารถใช้ประโยชน์จากตัวเร่งปฏิกิริยาชัลฟอนิกเพื่อบนถานกัมมันต์จากการกาแฟในการสังเคราะห์ใบโอดีเซล
- 1.4.2 ได้รู้เทคโนโลยีการสังเคราะห์ถ่านกัมมันต์จากการกาแฟ

- 1.4.3 เพิ่มมูลค่าให้กับกาลกาแฟชั่นเป็นของเสียจากการกระบวนการผลิตกาลกาแฟ
- 1.4.4 ได้รู้เทคนิคการสังเคราะห์ตัวเร่งปฏิกิริยา AC-CR-SO₃H โดยใช้ปฏิกิริยาซัลโฟเนชัน (Sulfonation reaction) และประสบการณ์การใช้เครื่องมือวิเคราะห์ทางแสงขั้นสูง
- 1.4.5 สามารถสังเคราะห์ตัวเร่งปฏิกิริยา AC-CR-SO₃H โดยใช้ปฏิกิริยาซัลโฟเนชันของกรดซัลฟิวริกได้
- 1.4.6 ได้รู้ความว่องไวในการเร่งปฏิกิริยาเอสเทอราฟิเคชันของกรดคาพริลิกของตัวเร่งปฏิกิริยาที่สังเคราะห์ได้
- 1.4.7 ได้ผลงานวิจัยในระดับชาติ หรือนานาชาติ (วารสารทางวิชาการและ/หรือการประชุมวิชาการ)

บทที่ 2

การทบทวนวรรณกรรม

บทนี้จะกล่าวถึงทฤษฎีและบทความที่เกี่ยวข้องกับการสังเคราะห์ตัวเร่งปฏิกิริยาซัลเฟเนตบน่านกัมมันต์และปฏิกิริยาเอสเทอโรฟิเคนชันของกรดไขมันอิสระ (ซึ่งอยู่ในส่วนของโครงการวิจัยปีที่ 1) เพื่อเป็นแนวทางในการทำงานวิจัย โดยมีหัวข้อดังนี้

2.1 ตัวเร่งปฏิกิริยา (Catalysts)

ตัวเร่งปฏิกิริยา คือ สารที่ใส่เข้าไปในปฏิกิริยาที่ช่วยเพิ่มอัตราเร็วของปฏิกิริยาทำให้ปฏิกิริยาเข้าสู่สมดุลเร็วขึ้นโดยที่ตัวมันเองไม่ถูกใช้อย่างถาวรในปฏิกิริยา แม้ว่าตัวเร่งปฏิกิริยาอาจมีส่วนร่วมในบางขั้นตอนของการเกิดปฏิกิริยา แต่ในที่สุดจะเปลี่ยนกลับมาอยู่ในรูปเดิมหลังจากปฏิกิริยาสิ้นสุดแล้ว การทำงานของตัวเร่งปฏิกิริยามักจะเกิดขึ้นโดยการเกิดพันธะเคมีกับสารตั้งต้นอย่างหนึ่งชนิด [16]

2.1.1 ตัวเร่งปฏิกิริยาแบ่งตามสถานะเทียบกับสารตั้งต้นและสารผลิตภัณฑ์มี 2 ประเภทคือ

2.1.1.1 ตัวเร่งปฏิกิริยาเอกพันธุ์ (Homogeneous catalysts) ตัวเร่งปฏิกิริยาเอกพันธุ์ คือ ตัวเร่งปฏิกิริยาที่อยู่ในสถานะเดียวกับสารที่ทำปฏิกิริยา ไม่ว่าจะเป็นแก๊สหรือของเหลว ส่วนใหญ่เป็นสารละลายที่มีตัวเร่งปฏิกิริยา และสารตั้งต้นละลายอยู่ด้วยกัน ตัวเร่งปฏิกิริยาเอกพันธุ์เป็นโมเลกุลที่มีตำแหน่งสำหรับเร่งปฏิกิริยาชัดเจน แต่ไม่ข้อเสียคือมักถลายตัวหรือเสียสภาพในสถานะที่ใช้ความร้อนหรือความดันสูง

การที่ปฏิกิริยาเอกพันธุ์ได้รับความสนใจมาก เนื่องจากตัวเร่งปฏิกิริยาส่วนใหญ่มีความสามารถในการเลือกทำปฏิกิริยาสูง และไวต่อปฏิกิริยา โดยเฉพาะปฏิกิริยาที่คายความร้อน เนื่องจากสามารถกำจัดความร้อนที่เกิดขึ้นได้ง่ายกว่าในระบบการเร่งปฏิกิริยาวิวิธพันธุ์ที่มีตัวเร่งปฏิกิริยาเป็นของแข็ง และมีข้อเสียคือการแยกสารผลิตภัณฑ์และตัวเร่งปฏิกิริยาออกจากกันทำได้ยาก วิธีการที่ใช้ส่วนใหญ่ คือ การกลั่น หรือการสกัดด้วยตัวทำละลาย และการนำตัวเร่งปฏิกิริยาลับมาใช้ใหม่ทำได้ยากกว่า และอายุการใช้งานของตัวเร่งปฏิกิริยาเอกพันธุ์สั้นกว่า

2.1.1.2 ตัวเร่งปฏิกิริยาวิวิธพันธุ์ (Heterogeneous catalyst) ตัวเร่งปฏิกิริยาวิวิธพันธุ์ คือ ตัวเร่งปฏิกิริยาที่อยู่ในสถานะแตกต่างจากสารที่ทำปฏิกิริยา เช่น ตัวเร่งปฏิกิริยาเป็นของแข็ง สารตั้งต้น และผลิตภัณฑ์เป็นแก๊สหรือของเหลว ตัวเร่งปฏิกิริยาชนิดนี้สามารถแยกตัวเร่งปฏิกิริยาออกจากสารตั้งต้น ที่เหลือและผลิตภัณฑ์ได้ง่ายกว่าระบบที่ใช้ตัวเร่งปฏิกิริยาเอกพันธุ์ มีความแข็งแรงคงทนนานต่อความ

ดันและอุณหภูมิสูง ข้อดีของตัวเร่งปฏิกิริยาวิธิพันธุ์ คือ สามารถแยกสารตั้งต้น และผลิตภัณฑ์ออกจากตัวเร่งปฏิกิริยาได้ง่าย สามารถใช้ในสภาวะที่มีอุณหภูมิหรือความดันสูงได้ ตัวเร่งปฏิกิริยามีอายุการใช้งานที่ยาวนาน และอาจนำกลับมาใช้ใหม่ได้ง่ายกว่า

2.1.2 องค์ประกอบของตัวเร่งปฏิกิริยาวิธิพันธุ์ ตัวเร่งปฏิกิริยาส่วนใหญ่ประกอบด้วย 2 องค์ประกอบหลัก คือ องค์ประกอบกัมมันต์ทำหน้าที่เร่งปฏิกิริยา (Active component) และตัวรองรับ (Support) หรือตัวพา (Carrier) มักเป็นวัสดุที่มีพื้นที่ผิวสูงเพื่อให้เกิดกระจายตัวของสารว่องไว ทำให้ง่ายต่อการเกิดปฏิกิริยา แต่บางตัวเร่งปฏิกิริยาอาจมีเพียงสารว่องไวเพียงอย่างเดียว ตัวเร่งปฏิกิริยางานทั่วอาจมีองค์ประกอบที่ช่วยส่งเสริมการเร่งปฏิกิริยาให้ดีขึ้น คือ โปรโมเตอร์ (Promoter) ซึ่งส่วนใหญ่จะเป็นสารที่ใส่ลงไปในปริมาณน้อย เพื่อเปลี่ยนแปลงสมบัติทางเคมีหรือกายภาพของสารว่องไวหรือตัวรองรับซึ่งอาจเพิ่มความว่องไวหรือกัมมันตภาพ (Activity) สัดส่วนการเลือกทำปฏิกิริยา (Selectivity) และเสถียรภาพของตัวเร่งปฏิกิริยา (Stability)

2.1.3 การเตรียมตัวเร่งปฏิกิริยาวิธิพันธุ์ สมบัติของตัวเร่งปฏิกิริยาขึ้นอยู่กับกรรมวิธีที่ใช้เตรียมการเตรียมแต่ละครั้งควรคำนึงถึงสมบัติทางกายภาพที่สำคัญของตัวเร่งปฏิกิริยา ได้แก่ พื้นที่ผิว และความทนทาน ตัวเร่งปฏิกิริยาที่เป็นของแข็งมักจะประกอบด้วยสารกัมมันต์หลักที่สามารถเร่งปฏิกิริยา ตัวรองรับพื้นผิว ดังนั้นจึงจำเป็นอย่างยิ่งที่จะทำให้ตัวเร่งปฏิกิริยาเหล่านั้นมีพื้นที่ผิวมากที่สุดเท่าที่จะทำได้ ขั้นตอนพื้นผิว ดังนั้นจึงจำเป็นอย่างยิ่งที่จะทำให้ตัวเร่งปฏิกิริยาเหล่านั้นมีพื้นที่ผิวมากที่สุดเท่าที่จะทำได้ ขั้นตอนในการเตรียมการก่อนเตรียมตัวเร่งปฏิกิริยา จำเป็นที่จะต้องสำรวจรวมข้อมูลต่างๆ จากการสารเขิง วิชาการ เตรียมสารเคมี และอุปกรณ์ต่างๆในการใช้ ขั้นตอนจะเลือกชนิดของตัวรองรับ และผลิตตัวเร่งปฏิกิริยาที่สำเร็จรูปเรียบร้อยแล้ว อาจจำเป็นที่จะต้องล้างซึ่งโดยปกติแล้วจะใช้น้ำเพื่อกำจัดส่วนประกอบที่ไม่ต้องการออก ในกรณีที่ส่วนประกอบหลักที่เป็นตัวเร่งปฏิกิริยาหลักสามารถละลายน้ำได้ ดังนั้นต้องตรวจสอบปริมาณของส่วนประกอบหลักเหล่านี้ที่ละลายหายไปเพื่อบริ�ามในการใช้วัตถุที่เป็นตัวเร่งปฏิกิริยาที่สำคัญ 80-300 °C ข้อควรระวังในการอบแห้ง คือ การเกิดความไม่สม่ำเสมอในการกระจายตัวของอุณหภูมิ 80-300 °C ข้อควรระวังในการอบแห้ง คือ การเกิดความไม่สม่ำเสมอในการกระจายตัวของส่วนประกอบหลักที่เคลือบบนตัวรองรับ โดยเฉพาะอย่างยิ่งในกรณีที่ส่วนประกอบหลัก และตัวรองรับมีค่าสัมพรรคภาพ (Electron affinity) ที่ต่ำก็จะทำให้ส่วนประกอบหลักเกิดการกระจายตัวได้สม่ำเสมอขึ้น บนตัวรองรับได้ ดังนั้นเพื่อหลีกเลี่ยงปัญหาเช่นนี้ สามารถทำได้โดยการอบแห้งที่อุณหภูมิต่ำ และใช้เวลาในการอบให้นานยิ่งขึ้น

ขั้นสุดท้ายของการเตรียมตัวเร่งปฏิกิริยาจะทำการกระตุนปฏิกิริยาโดยการเผาตัวเร่งปฏิกิริยา กับสำเร็จรูปภายใต้ภาวะออกซิไดซ์หรือเรดิวซ์ หรืออาจจะมีไอน้ำพร้อมทั้งกำจัดส่วนประกอบที่ไม่ต้องการ

ออกไป นอกจากจุดประสงค์เพื่อการตันตัวเร่งปฏิกิริยาแล้ว ในขั้นตอนสุดท้ายอาจจะทำขึ้นเพื่อเพิ่มค่าการเลือกปฏิกิริยาให้สูงขึ้นโดยการปรับความแรงของตำแหน่งก่อก้มมันต์ด้วยการทำให้ตัวเร่งปฏิกิริยางานส่วนเกิดการเสื่อมสภาพ (Sintering) ถ้าการเผาถูกดำเนินภายใต้ภาวะที่มีอากาศ เกลือของโลหะหรือเกลือของไฮดรอกไซด์ของโลหะจะเปลี่ยนไปเป็นโลหะออกไซด์ และถ้าโลหะออกไซด์นั้นถูกเรติวิชอย่างต่อเนื่องที่อุณหภูมิสูงก็จะทำให้เกิดโลหะขึ้น ข้อควรระวังคือภาวะใต้บรรยากาศที่ใช้ในขณะให้ความร้อนนั้นแม้จะทำที่อุณหภูมิเดียวกันก็จะมีผลต่อโครงสร้างของตัวเร่งปฏิกิริยาได้เช่นกัน

2.2 สารว่องไว (Active species)

สารว่องไวสามารถแบ่งออกเป็น 4 กลุ่มตามหน้าที่หลัก ได้แก่ โลหะ โลหะออกไซด์ ตัวเร่งปฏิกิริยาที่เป็นกรด และโลหะกับกรด ดังรายละเอียดต่อไปนี้ [17]

2.2.1 โลหะ มีความสามารถในการเร่งปฏิกิริยาการเติมไฮโดรเจน ปฏิกิริยาไฮโดรเจน ปฏิกิริยาไฮdroجينอลิซิส (Hydrogenolysis) และปฏิกิริยาออกซิเดชัน ตัวอย่างคือ นิกเกิล (Ni) แพลเลเดียม (Pd) แพลตทินัม (Pt) ทองแดง (Cu) และเงิน (Ag) การที่โลหะเร่งปฏิกิริยาการเติมไฮโดรเจนได้ เป็นเพราะไม่เลกุลของแก๊สไฮโดรเจนถูกดูดซับแบบแตกตัว (Dissociative adsorption) บนโลหะเหล่านี้ได้ และเกิดปฏิกิริยาได้ทันที พันธะที่เกิดขึ้นบนผิวน้ำไม่แข็งแรงมากเกินไป ไม่เลกุลของไฮโดรเจนจะแตกตัวได้ทันทีบนแพลเลเดียม นิกเกิล โคบอลต์ (Co) และเหล็ก (Fe) แต่จะแตกตัวได้ช้าบนทองแดง ดังนั้นทองแดง จึงเป็นตัวเร่งปฏิกิริยาที่ไม่ดีนักสำหรับปฏิกิริยาการเติมไฮโดรเจน ซึ่งลำดับแอกติวิตี้ของปฏิกิริยาการเติมไฮโดรเจน ในโลหะบางชนิดจะลดลงดังนี้



แม้ว่าโลหะบางตัวสามารถเร่งปฏิกิริยาออกซิเดชันได้เนื่องจากมีความสามารถในการดูดซับแก๊สออกซิเจน แต่โดยทั่วไปเราจะสามารถนำโลหะบริสุทธิ์มาใช้เป็นตัวเร่งปฏิกิริยาออกซิเดชันได้เนื่องจากโลหะมักจะถูกเปลี่ยนรูปไปเป็นออกไซด์ซึ่งมีความเสถียรสูงในระหว่างการเกิดปฏิกิริยา มีเพียงโลหะหมู่แพลตทินัมเท่านั้น ได้แก่ รูธีเนียม (Ru) โรเดียม (Rh) แพลเลเดียม(Pd) ออสเมียม (Os) เออริเดียม (Ir) แพลตทินัม (Pt) ทอง (Au) และเงิน (Ag) ที่มีความต้านทานการเกิดเป็นออกไซด์ได้ โดยแพลเลเดียม และแพลตทินัมเป็นตัวที่สำคัญที่สุด แต่ทองจะมีการดูดซับออกซิเจนได้น้อยจึงไม่เป็นตัวเร่งปฏิกิริยาที่ดีนัก ออกซิเจนถูกดูดซับบนโลหะได้แข็งแรงกว่าไฮโดรเจน และพันธะที่เกิดขึ้นกับผิวน้ำแข็งแรงกว่า ดังนั้นการเคลื่อนที่ของออกซิเจนบนผิวน้ำของโลหะจึงเกิดขึ้นยากกว่า การเกิดออกซิเดชัน

จึงต้องใช้อุณหภูมิสูง ออกซิเจนแตกตัวได้ดีบนทองแดง และเงิน และอาจดึงไฮโดรเจนออกจากสารประกอบอินทรีย์เพื่อจับกับออกซิเจนบนผิวน้ำ เกิดเป็นหมู่ไฮดรอกซิล (-OH) ได้ และออกซิเจนที่ถูกดูดซับบนผิวน้ำสามารถจับกับอะtom carbonyl ของอัลเดียร์ และเอสเทอร์ได้

2.2.2 โลหะออกไซด์ แบ่งเป็น 2 กลุ่ม คือ กลุ่มที่เร่งปฏิกิริยาออกซิเดชันบางส่วน ปฏิกิริยารีดักชัน เช่น สารประกอบเชิงซ้อนของโมลีบเดต (Molybdate) และออกไซด์ของโลหะผสม ออกไซด์ประภานี้มีโครงสร้างเป็นแบบไอโอนิกซึ่งมีจำนวนออกซิเจนไม่แน่นอน ซึ่งออกซิเจนเคลื่อนย้ายออกจากโครงผลึกได้ อีกกลุ่มคือตัวเร่งปฏิกิริยาที่เร่งปฏิกิริยาการดึงไฮโดรเจนออก (Dehydrogenation) ได้แก่ Fe_2O_3 , ZnO และ $\text{Cr}_2\text{O}_3/\text{Al}_2\text{O}_3$ เป็นต้น สำหรับตัวเร่งปฏิกิริยากลุ่มนี้ ออกซิเจนสามารถจับอยู่กับโลหะอย่างแข็งแรง และจะต้องมีถุกรีดิวช์โดยไฮโดรเจน ที่อุณหภูมิของการเกิดปฏิกิริยา ตัวเร่งปฏิกิริยาที่เป็นตัวเร่งที่ดีสำหรับปฏิกิริยาออกซิเดชันมากจะไม่เป็นตัวเร่งปฏิกิริยาที่ดีสำหรับปฏิกิริยาการดึงไฮโดรเจนออก

2.2.3 ตัวเร่งปฏิกิริยาที่เป็นกรด สามารถเร่งปฏิกิริยาได้หลายชนิด ตัวเร่งปฏิกิริยานิดนี้ ประกอบด้วยธาตุสองชนิดนี้ขึ้นไปเชื่อมต่อกันอย่างแข็งแรงด้วยอะtom ของออกซิเจน ตัวอย่างเช่น สารประกอบของซิลิกาอะลูมิโน และซิโอเลตชนิดต่างๆ นอกจากนี้ของแข็งที่เป็นกรด เตรียมได้โดยการจับไอออนของธาตุไฮโลเจนเข้าไว้ในโครงสร้างของอะลูมิโน ชนิดของกรดอาจจะเป็นแบบลิวอิส (Lewis) หรือแบบบรอนสเตด (Bronsted) หรือทั้งสองแบบรวมกัน ปฏิกิริยาที่เร่งด้วยกรดจะขึ้นกับความแรงและธรรมชาติของกรด แต่ไม่ขึ้นกับชนิดของอะtom ที่มีอยู่ในตัวเร่งปฏิกิริยามาก ตัวอย่างของตัวเร่งปฏิกิริยาประภานี้ได้แก่ เรซิโนนิดกรดสำหรับการแลกเปลี่ยนไอโอน (Cation exchange resin) เช่น Dowex หรือ Amberlyst-15 ซึ่งเป็นที่รู้จักในการเร่งปฏิกิริยาการผลิต MTBE ในอดีตหรือ H_3PO_4 บนตัวพาซีร์เร่งปฏิกิริยาพอลิเมอไรเซชัน หรือ $\text{SiO}_2\text{-Al}_2\text{O}_3$ และซิโอเลตในรูปของกรด เร่งปฏิกิริยาแครกคิง (Catalytic cracking)

2.2.4 โลหะกับกรด อาจเรียกว่าเป็นตัวเร่งปฏิกิริยาที่ทำหน้าที่สองอย่าง (Bifunctional catalyst) ตัวเร่งปฏิกิริยาประภานี้ประกอบด้วยโลหะ และองค์ประกอบที่เป็นกรด ทั้งองค์ประกอบที่เป็นโลหะและกรดต่างกันเรื่องขั้นตอนในระหว่างการเกิดปฏิกิริยา แต่อาจเร่งในขั้นตอนที่ต่างกัน ตัวอย่างตัวเร่งปฏิกิริยาประภานี้ได้แก่ แพลตทินัมบนตัวรองรับที่เป็นกรดซึ่งสามารถเร่งปฏิกิริยาไฮโซเมอไรเซชันของพาราฟิน (Paraffin isomerization) และแพลเลดียุมบนซิโอเลต (Pd/Zeolite) เร่งปฏิกิริยาไฮโดรเจโนลิซิส (Hydrogenolysis)

2.3 ตัวรองรับ หรือตัวพา

สมบัติที่สำคัญที่สุดของตัวรองรับ หรือตัวพาคือการมีพื้นที่ผิวน้ำสูงสำหรับสารกัมมันต์ แม้ว่าบางครั้งอาจทำหน้าที่ในการเร่งปฏิกิริยาด้วยก็ตาม ตัวเร่งปฏิกิริยาไวริพันธุ์ที่พบบ่อยจะเป็นแบบตัวเร่งที่มีหลายภูมิภาค (Multiphase catalyst) โดยมีตัวเร่งปฏิกิริยาจับอยู่บนตัวรองรับซึ่งมีพื้นที่ผิวสูง ตัวรองรับที่รู้จักกันดี ได้แก่ อะลิกา หรืออะลูมิโนนา ถ่านกัมมันต์ ชีโอลิต์ และไทดีเนียม เป็นต้น ซึ่งต้องการให้ตัวเร่งปฏิกิริยาระยะจายตัวได้ดีบนตัวรองรับ [17]

2.3.1 สมบัติโดยทั่วไปของตัวรองรับสำหรับตัวเร่งปฏิกิริยา มีดังต่อไปนี้

2.3.1.1 ต้องเจือยอดต่อบนปฏิกิริยาที่ไม่ต้องการให้เกิด

2.3.1.2 มีความแข็งแรงเขิงกลเข่นทนต่อการขูดขีด (Attrition) หรือการบีบอัด (Compression)

2.3.1.3 มีเสถียรภาพหรือทนต่อภาวะต่าง ๆ ได้ในระหว่างการทำปฏิกิริยา และในช่วงของการเปลี่ยนแปลงเพื่อนำกลับมาใช้ใหม่

2.3.1.4 มีพื้นที่ผิวสูง และมีความพรุน แต่ขึ้นกับวัตถุประสงค์ของการใช้งานด้วย การมีความพรุนรวมถึงขนาดของรูพรุน และการกระจายของรูพรุนพอเหมาะสม การมีพื้นที่สูงหมายถึงมีรูพรุนที่มีขนาดเล็ก แต่ถ้ารูพรุนเล็กเกินไปจะทำให้เกิดการอุดตันได้ โดยเฉพาะในกรณีที่มีปริมาณของโลหะตัวเร่งสูง

2.3.1.5 มีราคาถูก ซึ่งจะช่วยให้ต้นทุนในการผลิตตัวเร่งปฏิกิริยาไม่ค่าตัว หากนำไปสู่การประยุกต์ก็จะเป็นกระบวนการที่ไม่แพง

เทอมอันหนึ่งที่เกี่ยวข้องกับตัวเร่งปฏิกิริยาไวริพันธุ์ คือ ตำแหน่ง (Site) ของตัวเร่งปฏิกิริยาซึ่งหมายถึงตำแหน่งที่เกิดปฏิกิริยาบนตัวเร่งปฏิกิริยา คำว่ามีความหมายเหมือนกันคือศูนย์กลางกัมมันต์ (Active center) ซึ่งใช้แทนกลุ่มของตำแหน่งของตัวเร่งปฏิกิริยา

2.4 ไบโอดีเซล (Biodiesel)

ไบโอดีเซล หมายถึง เชื้อเพลิงชนิดหนึ่งที่ประกอบด้วยมอนอัลกิโลสเทอร์ (Mono-alkyl esters) ของกรดไขมันเชื้อเพลิง โดยการนำเอาน้ำมันจากพืชหรือสัตว์ ซึ่งเป็นสารประกอบอินทรีย์ประเภทไทรกลีเซอไรด์ มาผ่านกระบวนการทางเคมีที่เรียกว่า transesterification โดยทำปฏิกิริยากับแอลกอฮอล์เชิง (Straight chain alcohol) เช่น เมทานอลหรือเอทานอล จะได้ผลผลิตหรือผลิตภัณฑ์เป็นเอสเทอร์ของกรดไขมันเชื้อเพลิง (Long chain fatty acid alkyl ester) และได้ผลิตภัณฑ์ข้างเคียงคือกลีเซอรอล (Glycerol) ซึ่งเราจะเรียกชนิดของไบโอดีเซลแบบเอสเทอร์นี้ตามชนิดของแอลกอฮอล์ที่ใช้ในการทำ

ปฏิกิริยา เช่น เมทิลเอสเทอร์ หรือเอทิลเอสเทอร์ ไบโอดีเซลชนิดเอสเทอร์นี้มีสมบัติที่เหมือนกับน้ำมันดีเซลมากที่สุดไบโอดีเซลสามารถย่อยสลายทางชีวภาพ (Biodegradable) ได้อย่างสมบูรณ์ ไม่เป็นสารก่อมะเร็ง (Non-carcinogenic) ไม่เป็นสารเปลี่ยนแปลงพันธุกรรม (Non-mutagenic) และไม่เป็นสารก่อภูมิแพ้ (Non-allergenic)

ไบโอดีเซลเป็นเชื้อเพลิงทดแทนที่สามารถใช้กับเครื่องยนต์ทุกชนิด โดยไม่ต้องปรับแต่งเครื่องยนต์ และสามารถใช้ในลักษณะไบโอดีเซลบริสุทธิ์หรือผสมกับน้ำมันดีเซลในสัดส่วนต่างๆ นอกจากนี้ไบโอดีเซลยังสามารถใช้เป็นสารเติมแต่งที่ช่วยเพิ่มการหล่อลื่นและปรับปรุงไอโอสีล ไบโอดีเซลให้พลังงานเกือบท่ากับน้ำมันดีเซล เนื่องจากประสิทธิภาพในการเผาไหม้และการหล่อลื่น (Lubricity) สูง และมีข้อดีที่ช่วยลดค่าน้ำมันที่ห่อไอเสีย ในการเผาไหม้ที่สมบูรณ์ เพราะในไบโอดีเซลมีอัตราเจนเป็นองค์ประกอบ

2.4.1 ประเภทของไบโอดีเซล [18]

การผลิตไบโอดีเซลแบ่งเป็น 3 ประเภทใหญ่ คือ

2.4.1.1 ไบโอดีเซลที่ใช้น้ำมันพืช (Straight vegetable oil) หรือไขมันสัตว์โดยตรง เช่น น้ำมันมะพร้าว น้ำมันปาล์ม หรือน้ำมันจากไขสัตว์ เช่น น้ำมันหมู เป็นต้น ป้อนลงไปในเครื่องยนต์ดีเซลโดยไม่ต้องผสมหรือเติมสารเคมีอื่นใด แนวทางในการนำน้ำมันพืชมาใช้โดยตรง เป็นวิธีการที่ได้น้ำมันในราคาที่ถูกโดยเฉพาะอย่างยิ่งการนำน้ำมันพืชซึ่งยังไม่ผ่านกระบวนการกลั่นมาใช้ อย่างไรก็ตามสิ่งสำคัญของการใช้น้ำมันพืชโดยตรง คือ ต้องมีการอุ่นน้ำมันในทุกจุดที่มีน้ำมันผ่าน ได้แก่ ถังน้ำมัน ท่อทางเดินน้ำมัน ชุดกรองน้ำมัน โดยอุณหภูมิของน้ำมันที่อุ่นอย่างน้อย 70°C เพื่อลดความหนืดของน้ำมันพืชหรือน้ำมัน ชุดกรองน้ำมัน เนื่องจากน้ำมันพืชมีความหนืดสูงกว่าน้ำมันดีเซลประมาณ 11-17 เท่า ที่อุณหภูมิต่ำน้ำมันพืชยิ่งมีความหนืดสูงขึ้นเป็นลำดับจนเกิดเป็นไข การที่นำน้ำมันพืชมีความหนืดสูงกว่าน้ำมันดีเซล ทำให้หัวฉีดน้ำมันฉีดน้ำมันให้เป็นฝอยได้ยากเป็นอุปสรรคต่อการป้อนน้ำมันเข้าสู่ห้องเผาไหม้ทำให้เกิดการสันดาปไม่สมบูรณ์ นอกจากนี้แล้ว น้ำมันพืชยังมีสมบัติที่ระเหยตัวอย่างเป็นไอได้ช้า และน้อยมาก (Slow/low volatility) จึงทำให้เกิดการจุดระเบิดได้ยาก เครื่องยนต์ติดยาก และหลงเหลือคราบเขม่าเกาที่หัวฉีด ผนังลูกสูบ แหวน และวาล์ว จากสมบัติที่นำน้ำมันพืชมีความหนืดสูง และระเหยตัวได้ต่ำกว่าน้ำมันดีเซล ทำให้เกิดความยุ่งยากในการใช้น้ำมันพืชในเครื่องยนต์โดยตรง

2.4.1.2 ไบโอดีเซลแบบลูกผสม (Veggiekero Mix) เป็นการผสมน้ำมันพืช หรือไขมันจากสัตว์กับน้ำมันก้าดหรือน้ำมันดีเซล วิธีการนี้จะช่วยลดความหนืดของน้ำมันพืชลงและได้ไบโอดีเซลที่มีสมบัติใกล้เคียงกับน้ำมันดีเซลมาก ในปัจจุบันมีการนำน้ำมันพืชชนิดต่างๆ มาผสม เช่น ไบโอดีเซลที่ผสมกับน้ำมันมะพร้าว เรียกว่าโคโคดีเซล (Cocodiesel) ไบโอดีเซลชนิดนี้นำมาใช้ในภูมิภาคเซตร้อน อัตราส่วนผสมระหว่างน้ำมันก้าด และน้ำมันพืชขึ้นอยู่กับอุณหภูมิของพื้นที่ใช้งาน อย่างไรก็ตามหากต้องการ

เพิ่มประสิทธิภาพในการใช้งานของน้ำมันพืชผสมน้ำมันก้าด สามารถติดตั้งถังน้ำมันดีเซลหรือไบโอดีเซล เพื่อใช้ในการสตาร์ทเครื่องยนต์และใช้ก่อนเลิกใช้งานเครื่องยนต์ แต่เนื่องจากราคาของน้ำมันก้าดค่อนข้างสูงทำให้มีปริมาณของน้ำมันก้าดที่ผสมน้อยเกินไป ทำให้น้ำมันผสมที่ได้มีการเผาไหม้ไม่สมบูรณ์ นอกจาคนี้เมื่อนำไปใช้กับเครื่องยนต์ดีเซลที่ไม่มีการตัดแบ่ง จึงต้องเลือกชนิดน้ำมันพืช ชนิดของตัวทำละลาย และสัดส่วนผสมที่เหมาะสมกับพื้นที่ และฤดูกาลที่ใช้ เพื่อให้เกิดความสะดวกในการใช้ให้แน่ใจว่า จะไม่ทำให้เกิดปัญหากับเครื่องยนต์ เช่น การเกิดไขในท่อส่งน้ำมัน การอุดตันไส้กรอง เป็นต้น

2.4.1.3 ไบโอดีเซลแบบเบสเทอร์ เป็นความหมายของไบโอดีเซลที่แท้จริง และเป็นที่ยอมรับในสากล และมีการใช้อย่างทั่วไป เช่น สหพันธรัฐเยอรมัน สหรัฐอเมริกา มีคำจำกัดความว่า ไบโอดีเซลเป็นเชื้อเพลิงหมุนเวียนที่มีสมบัติเหมือนกับน้ำมันดีเซลที่แปรรูปจากบิโตรเลียมมากที่สุดทำให้มีปัญหานำการใช้งานกับเครื่องยนต์ ได้น้ำมันที่มีความคงตัวมากขึ้น สามารถนำไปเติมในเครื่องยนต์ดีเซลได้ทุกชนิด ห้องเติมโดยตรง และผสมลงในน้ำมันดีเซลในอัตราส่วนต่างๆ เช่น B5 หมายถึงการผสมไบโอดีเซลต่อน้ำมันดีเซลในอัตราส่วนโดยประมาณ 5:95 หรือ B100 ซึ่งเป็นไบโอดีเซล 100% เป็นต้น แต่ปัญหาสำคัญที่รับไบโอดีเซลในปัจจุบันคือ ต้นทุนการผลิตมีราคาแพงกว่าเมื่อเทียบกับไบโอดีเซลแบบอื่นๆ ที่กล่าวมาแล้ว โดยราคาของไบโอดีเซล B100 ยังสูงกว่าน้ำมันดีเซล 1-2 เท่า ดังนั้นการผสมไบโอดีเซลในน้ำมันดีเซลจึงเป็นทางออกที่ดี ซึ่งในปัจจุบันการใช้ไบโอดีเซลแบบผสมได้รับความนิยมเป็นอย่างมากในระบบขนส่งมวลชน เนื่องจากเป็นน้ำมันที่มีราคาไม่ต่างจากน้ำมันดีเซลมากนัก นอกจากนี้เผาไหม้ได้หมดจดไม่มีเขม่าควันหลงเหลือให้เป็นมลพิษต่อสิ่งแวดล้อม จากการนิยมเป็นอย่างมากเข่นหนึ่งทำให้มีน้ำมันจำนวนมากนำไปใช้ ไบโอดีเซล B5 และ B20 มาบริการให้กับลูกค้า ไบโอดีเซลประเภทนี้ มีความหนืดใกล้เคียงกับน้ำมันดีเซล และมีความคงตัว ความหนืดเปลี่ยนแปลงน้อยมากเมื่ออุณหภูมิเปลี่ยน มีค่าจุดควบไฟสูงทำให้มีความปลอดภัยในการใช้และการขนส่ง นอกจากนั้นแล้ว ค่าซีแทน ที่เป็นตัวบ่งบอกถึงคุณภาพการติดไฟของไบโอดีเซลยังมีค่าสูงกว่าน้ำมันดีเซล

2.4.2 ปัจจัยสำคัญในกระบวนการผลิตไบโอดีเซล

ปัจจัยสำคัญในกระบวนการผลิตไบโอดีเซลมี 5 ปัจจัย ได้แก่

2.4.2.1 อุณหภูมิในการทำปฏิกิริยา

อุณหภูมิเป็นปัจจัยที่สำคัญในการผลิตไบโอดีเซล การใช้อุณหภูมิสูงในการทำปฏิกิริยาจะทำให้อัตราการเกิดปฏิกิริยาเร็วขึ้น โดยอุณหภูมิสูงจะทำให้การแยกตัวของแต่ละสถานะลดลง ค่าคงที่ของอัตราการเกิดปฏิกิริยาเพิ่มมากขึ้น และเพิ่มการเข้ากันได้ของสารตั้งต้นและตัวเร่งปฏิกิริยา ทำให้เวลาในการทำปฏิกิริยาลดลง แต่การใช้อุณหภูมิสูงทำให้ผลิตภัณฑ์ที่ได้ลดลงตามไปด้วย นอกจากนี้การใช้อุณหภูมิสูงจะทำให้เกิดสบู่มากขึ้นสำหรับน้ำมันบริสุทธิ์ ส่วนในน้ำมันที่ใช้แล้วการใช้อุณหภูมิสูงจะเพิ่มความหนืดของไบโอดีเซลและมีผลต่อการเกิดสบู่ทำให้เกิดผลิตภัณฑ์ลดลง ทำให้การละลายของน้ำมันในเมทานอลดีขึ้น เพิ่มพื้นที่การสัมผัสถกับไทรกลีเซอไรด์มากขึ้นทำให้ปฏิกิริยาเกิดดีและเร็ว แต่มีผลในการเร่งการเกิดสบู่ด้วย แสดงว่าอุณหภูมิสูงมีผลในทางลบต่อน้ำมันบริสุทธิ์ แต่มีผลทางบวกต่อน้ำมันที่ใช้แล้ว เพราะทำให้มีความหนืดมาก ซึ่งอุณหภูมิที่ใช้จะสัมพันธ์กับเวลาที่ใช้ ควรหลีกเลี่ยงการใช้อุณหภูมิที่มากกว่าจุดเดือดของแอลกอฮอล์ เนื่องจากอุณหภูมิสูงจะช่วยเร่งปฏิกิริยาการเกิดสบู่ของกลีเซอไรด์

2.4.2.2 อัตราส่วนระหว่างน้ำมัน และแอลกอฮอล์

แอลกอฮอล์ที่ใช้ในการเร่งปฏิกิริยามีหลายชนิด เช่น เมทานอล เอทานอล โพราโนอล และบิวทานอล โดยเมทานอลและเอทานอลถูกนำไปใช้ทั้งในระดับการวิจัย และใช้ในโรงงานอุตสาหกรรม เนื่องจากเมทานอลมีราคาถูก ส่วนเอทานอลได้จากผลิตผลทางการเกษตร ซึ่งสามารถผลิตขึ้นมาใหม่ได้และเป็นมิตรต่อสิ่งแวดล้อม ดังนั้นเอทานอลจึงเป็นตัวเลือกที่ดีสำหรับการนำไปผลิตเป็นเชื้อเพลิง ส่วนบิวทานอลมีข้อดี คือ สามารถจะผสมกับไขมันที่เป็นวัตถุถูกต้องได้กว่า นอกจากนี้การใช้แอลกอฮอล์ที่มีโมเลกุลใหญ่จะมีจุดเดือดสูงกว่าการใช้แอลกอฮอล์โมเลกุลเล็ก ทำให้สามารถทำงานได้ที่อุณหภูมิสูง แต่ใช้ความดันปานกลาง ซึ่งบิวทานอลจะให้อัตราการเกิดปฏิกิริยาสูงที่สุดรองลงมาเป็น 1-โพราโนอล และเอทานอลตามลำดับ แม้ว่าในการเร่งปฏิกิริยาด้วยเมทานอลจะให้อัตราการเกิดปฏิกิริยาช้าที่สุดแต่เมื่อ 2 ปัจจัยที่มีผลต่อการเข้ากันได้ของสารตั้งต้นในการทำปฏิกิริยาคือ การเพิ่มความไม่เมี่ยง และอุณหภูมิที่ใช้ในการทำปฏิกิริยาเนื่องจากการเพิ่มของน้ำหนักโมเลกุลของแอลกอฮอล์ในทางทฤษฎีพบว่าต้องใช้เมทานอล 3 มอลต่อไทรกลีเซอไรด์ 1 มอลเพื่อให้ได้เมทิลเอสเทอร์ 3 มอล และกลีเซอโรล 1 มอล หมายถึง ต้องใช้อัตราส่วนของเมทานอลต่อน้ำมันเป็น 3:1 อย่างไรก็ตามเมื่อใช้น้ำมันบริสุทธิ์โดยใช้อัตราส่วนของเมทานอลต่อน้ำมันเป็น 6:1 จะทำให้เกิดผลิตภัณฑ์มากที่สุด ถ้ามีปริมาณแอลกอฮอล์เพิ่มมากขึ้นจะทำให้ปฏิกิริยาเกิดได้เร็ว และสมบูรณ์ขึ้นรวมทั้งเกิดเอสเทอร์เพิ่มมากขึ้น แต่ปฏิกิริยาจะเกิดไม่สมบูรณ์เมื่อใช้อัตราส่วนเมทานอลต่อน้ำมันสูงกว่าอัตราส่วนของเมทานอลต่อน้ำมันเป็น

6:1 นอกจานี้ยังทำให้การแยกชั้นระหว่างชั้นเอสเทอร์และชั้นน้ำมีความลำบาก ใช้เวลานานและเสียค่าใช้จ่ายในการแยกมากขึ้น สำหรับน้ำมันที่ใช้แล้วพบว่า ต้องใช้อัตราส่วนของเมทานอลต่อน้ำมันเป็น 7:1 จะทำให้ได้เอสเทอร์มากที่สุด โดยมากกว่าการใช้น้ำมันบริสุทธิ์ อาจเป็นเพราะน้ำมันที่ใช้แล้วมีความหนืดสูงกว่าทำให้ต้องใช้ปริมาณเมทานอลมากเพื่อไปละลายน้ำมัน และทำให้เกิดการสัมผัสกันของน้ำมันและเมทานอล ปริมาณตัวเร่งปฏิกิริยา และอัตราส่วนของเมทานอลต่อน้ำมันมีผลมากกว่าอุณหภูมิ และเวลาที่ใช้ แม้ว่าการใช้แอลกอฮอล์ต่างชนิดกันจะทำให้มีความแตกต่างกันในกลไกการเกิดปฏิกิริยา และปริมาณเอสเทอร์ที่ได้

2.4.2.3 ชนิด และความเข้มข้นของตัวเร่งปฏิกิริยา

ความเข้มข้นของตัวเร่งปฏิกิริยาถ้าน้อยเกินไปจะไม่เพียงพอต่อการเร่งปฏิกิริยา แต่ถ้ามากเกินไปจะทำให้เกิดผลิตภัณฑ์น้อยลงเนื่องจากเกิดสบู่ขึ้นแทน ทำให้ความหนืดของสารละลายเพิ่มความเข้มข้นของเมทิลเอสเทอร์เพิ่มขึ้นเมื่อเพิ่มความเข้มข้นของตัวเร่งปฏิกิริยาเนื่องจากมีการถ่ายเทมวลน้อยของอัตราส่วนเมทานอลต่อน้ำมันในระดับต่ำ แต่ถ้าใช้อัตราส่วนเมทานอลต่อน้ำมันสูงจะเพิ่มการสัมผัสของเมทานอลกับน้ำมันมากขึ้นจึงทำให้ความเข้มข้นของเมทิลเอสเทอร์เพิ่มขึ้นด้วย แต่การเพิ่มของเมทานอลที่มากเกินไปจะทำให้เกิดเอสเทอร์เพิ่ม และจะไปรบกวนการแยกชั้นระหว่างเมทิลเอสเทอร์กับกลีเซอรอลเนื่องจากเมทานอลไปทำให้การละลายของหั้งสองชั้นดีขึ้น นอกจานี้การเกิดผลิตภัณฑ์ที่ลดลงยังเพิ่มการละลายเมื่ออุณหภูมิสูงขึ้น ซึ่งเป็นการลดการแยกชั้นระหว่างเมทิลเอสเทอร์กับกลีเซอรอล อัตราการเกิดปฏิกิริยาโดยใช้ตัวเร่งปฏิกิริยาจะเพิ่มขึ้นเมื่อใช้ปริมาณกรดมากขึ้น แต่การใช้กรดมากจะกระตุ้นให้เกิดอีเทอร์จากปฏิกิริยาแอลกอฮอล์ดีกราเดชัน (Alcohol degradation) มาขึ้น การใช้เบสมากเกินไปจะทำให้ทรัพลีเชอได้เปลี่ยนไปเป็นสบู่ยิ่งมีเบสมากไห่รกลีเชอได้ยิ่งเปลี่ยนเป็นสบู่มาก ทำให้เปลี่ยนเป็นเอสเทอร์ได้น้อยลง ตัวอย่างเช่น การลดลงของผลิตภัณฑ์เมื่อเพิ่มความเข้มข้นของโซเดียมไฮดรอกไซด์จาก 0.5 เป็น 1.5 เนื่องจากมีการเกิดสบู่ในปฏิกิริยาการเกิดสบู่จะทำให้เมทิลเอสเทอร์ละลายในชั้นกลีเซอรอล ทำให้การแยกชั้นเมทิลเอสเทอร์กับชั้นกลีเซอรอลทำได้ยากขึ้น นอกจานี้ยังส่งผลถึงการแยกตัวเร่งปฏิกิริยาที่มีมากเกินไปและการกำจัดสบู่ที่ต้องเสียค่าใช้จ่ายมาก ความเข้มข้นของตัวเร่งปฏิกิริยามีผลมากกว่าอุณหภูมิ เวลาในการทำปฏิกิริยา และอัตราส่วนของเมทานอลต่อน้ำมันที่ใช้

2.4.2.4 การผสมสารตั้งต้น

การปั่นกวนมีความสำคัญต่อปฏิกิริยาทรายส์เอสเทอเรฟิเคชันเนื่องจากการปั่นกวนมีส่วนช่วยในการเริ่มต้นของการเริ่มต้นของการปฏิกิริยาที่ทำให้น้ำมันกับแอลกอฮอล์ และตัวเร่งปฏิกิริยาเริ่มมีการสัมผัสรือชันกันเอง เนื่องจากน้ำมัน และแอลกอฮอล์ที่ใช้นั้นไม่สามารถรวมตัวเป็นเนื้อเดียวกันได้ตามธรรมชาติ และสารหั้งสองมีความสามารถในการละลายที่แตกต่างกัน ถ้าไม่มีการปั่นกวนปฏิกิริยาจะเกิดขึ้นเฉพาะ

บริโภครอยต่อของชั้นนำมันกับแอลกอฮอล์เท่านั้น ดังนั้นการปั่นกวนจะช่วยทำให้ปฏิกิริยาเกิดได้มากขึ้น และเร็วขึ้น ยิ่งมีการปั่นกวนมาก ปฏิกิริยาจะเกิดมาก แต่ถ้าการปั่นกวนมากกว่าค่าค่าหนึ่งแล้วจะไม่สามารถทำให้ปฏิกิริยาเกิดได้เร็วไปกว่านั้น เนื่องจากค่า ๆ นั้นเป็นค่าการสัมผัสของน้ำมันกับแอลกอฮอล์ และตัวเร่งปฏิกิริยาที่มากที่สุด

2.4.2.5 เวลา

ระยะเวลาที่ใช้ในการทำให้ปฏิกริยาทราบส์ເວສເທ່ອຣີເຄືນເກີດຍ່າງສົມບູຮົນມີ
ຄວາມສັນພັນຮົກບ້ອນຫຼຸມທີ່ໃຊ້ໃນການເກີດປົກກິຮີຢາ ກລ່ວຂຶ້ວ ຄ້າໃຫ້ອຸນຫຼຸມສູງ ຮະຢະເວລາທີ່ໃຊ້ຈະນ້ອຍ ແຕ່ຄ້າ
ໃຫ້ອຸນຫຼຸມຕໍ່າ ຮະຢະເວລາທີ່ທຳໄໝເກີດປົກກິຮີຢາທີ່ສົມບູຮົນຈະໃຫ້ເວລານາໜີ້ ສ່ວນກລິການເກີດປົກກິຮີຢາພວກວ່າ
ຄ້າໃຫ້ເວລາ 15 ນາທີໃນການເກີດປົກກິຮີຢາ ປົກກິຮີຢາຈະເກີດເວົ້າໃນໜີ້ 5 ນາທີແຮກໂດຍເກີດເປັນເວສເທ່ອຮົດື້ງ
90% ຈາກນັ້ນປົກກິຮີຢາຈະເກີດຍ່າງໜ້າ ຈະເກີດສົມບູຮົນທີ່ 15 ນາທີ ແລະ ຄ້າປ່ລ່ອຍເວລາໃຫ້ຜ່ານໄປຈົນກະທັ່ງ
ອຸ້ນໃນໜີ້ 15-30 ນາທີພວກວ່າປົມານເວສເທ່ອຮົດື້ງທີ່ໄດ້ມີເພີ່ມເຂົ້ນ ແຕ່ຈະໄປລົດຜລິຕກັນທີ່ເກີດເຂົ້ນເນື່ອຈາກເວລາ
ທີ່ມາກຈະທຳໄໝເກີດການໄໂດຣລືສຂອງເວສເທ່ອຮົດື້ງ ທຳໄໝປົມານເວສເທ່ອຮົດື້ງ ມີກຣດໄໝມັນອີສະຮະເພີ່ມແລະເກີດ
ສບູໃນທີ່ສຸດ ເມື່ອເວລາຜ່ານໄປຈະເຮີມເຫັນສບູ່ມາກເຂົ້ນ ດັ່ງນັ້ນຕ້ອງຄວບຄຸມໄມ້ໃຫ້ໃຫ້ເວລານາເກີນໄປເນື່ອຈາກຈະໄປ
ເຮັ່ງການເກີດປົກກິຮີຢາຜົນກລັບ ທຳໄໝເກີດຜລິຕກັນທີ່ລົດື້ງແຕ່ຄວາມເຂັ້ມເຂົ້ນຂອງເມທີລເວສເທ່ອຮົດື້ງເພີ່ມເຂົ້ນເມື່ອ
ຮະຢະເວລາເພີ່ມເຂົ້ນ ເນື່ອຈາກເປັນການເພີ່ມກາຮັບສົມກັນຂອງສາຮັກຕັ້ງຕັ້ນ ແລະ ການກະຈາຍຕົວຂອງເມທານລອນໃນ

2.4.3 เทคโนโลยีและการบวนการผลิตใบโอดีเซล

การผลิตไบโอดีเซลเมื่อมีส่วนที่เป็นน้ำมันแล้ว จะต้องอาศัยแอลกอฮอล์และตัวเร่งปฏิกิริยาด้วย การผลิตไบโอดีเซล ทางการค้าจำเป็นต้องอาศัยความร้อน และเทคโนโลยีต่างๆ เพื่อทำให้การผลิตไบโอดีเซลมีความคุ้มทุน และสามารถผลิตเพื่อจำหน่ายทางการค้าได้อย่างมีประสิทธิภาพ ทราบส์ເອສເທວ-ຣີພິເຄັນເປັນປົກລົງທີ່ໃໝ່ມັນຫຼືນ້ຳມັນທຳປົກລົງທີ່ກັບແລກອອລ໌ເພື່ອໃຫ້ໄດ້ເອສເທວ໌ ແລະກຳເຊອຮອລໂດຍໃຫ້ຕັ້ງເຮັດວຽກໃຫ້ແກ່ ເບສ ກຣດ ແລະເອນໄໝ໌ ທີ່ອາຈະໄມ້ໃຫ້ຕັ້ງເຮັດວຽກ ປົກລົງທີ່ກັບພຣານສ්ເອສເທວ-ຣີພິເຄັນເຮັດວຽກນຳມັນທີ່ສັດດໍາໄດ້ມາໃຫ້ຄວາມຮັນ ຈາກນັ້ນເຕີມແລກອອລ໌ປຸ້ມກົມ ທີ່ວິເຄີຍແລກອອລ໌ທຸດຍກົມ (Primary or secondary monohydric aliphatic alcohol) ທີ່ມີຄົກຂອນ 1-8 ອະຕອມ ແລະມີນ້ຳໜັກໂມເລກຸລຕໍ່ເຫັນ ເມທານອລ ເອທານອລ ໂພຣພານອລ ແລະປົວທານອລ ໂດຍທີ່ໄປນິຍມໃຫ້ເມທານອລແລະເອທານອລມາກທີ່ສຸດ ການໃຫ້ເອທານອລມີຂອດດີເກີ່ອ ໄດ້ຈາກພຶ້ງ ທຳໃຫ້ສາມາດຫາທິດແທນໄດ້ແລະເປັນມິຕຽກັບສິ່ງແວດລ້ອມ ການທຳປົກລົງທີ່ກັບນຳມັນພຶ້ງຫຼືໃໝ່ມັນສັດ່ວົມພັນສົມກັບແລກອອລ໌ໂດຍເຕີມຕັ້ງເຮັດວຽກ ທັນທີ ຈາກນັ້ນນຳໄປປິ່ງກວນ ໂດຍກຳທັນດຽວຢະເວລາແລະອຸນຫຼວມທີ່ໃໝ່ ເມື່ອປົກລົງທີ່ເສົ້າຈົມບູຮົນຈະໄດ້ສາຮະລາຍແຍກເປັນ 2 ຊັ້ນ ຊັ້ນນັນເປັນເອສເທວ໌ຂອງກຣດໃໝ່ມັນ ແລະ ຊັ້ນລ່າງເປັນກຳເຊອຮອລ ນຳໜັກນັນໄປທໍາ

ให้บริสุทธิ์ด้วยวิธีการกลั่นแล้วนำไปล้างด้วยน้ำกลั่นเพื่อกำจัดตัวเร่งปฏิกิริยาที่เหลือ จากนั้นนำไปกรองด้วยโซเดียมซัลเฟตเพื่อกำจัดน้ำ หรือนำขันบนไปทำให้เข้าจังด้วยอีเทอร์แล้วล้างด้วยกรดไฮโดรคลอริก และน้ำกลั่น ตามลำดับ แล้วนำไปดูดน้ำออกด้วยโซเดียมคาร์บอเนต และระหว่างตัวทำละลายออกจากนั้นหาปริมาณองค์ประกอบต่างๆ ได้แก่ เอสเทอร์ของกรดไขมันและกรดไขมันชนิดต่างๆ ที่เหลืออยู่ด้วยวิธีการต่างๆ เช่น High Performance Liquid Chromatography (HPLC) Gas chromatography (GC) Thin-layer chromatography (TLC) และ Nuclear Magnetic Resonance (NMR) (สำหรับหัวอัตราส่วนพื้นที่ระหว่างหมู่เมทอกซี และเมทิลีนโปรดอน)

ใบโอดีเซลที่เตรียมจากไทรกลีเซอไรด์ในน้ำมันพืช ไขมันสัตว์ และน้ำมันที่ใช้แล้วจะมีไทรกลีเซอไรด์ซึ่งเป็นไทรเอสเตอร์ของกลีเซอรอลระหว่างกรดไขมัน 3 ตัวกับกรดคาร์บอฟิลิกสายโซ่ตรงยาวที่ไม่เกลูลเป็นมอนอ และไดกีลีเซอไรด์มาจากการแทนที่ของกรดไขมัน 2 ตัว และ 1 ตัว ตามลำดับ ที่ตำแหน่งของหมู่ไฮดรอกซิลของกรดคาร์บอฟิลิก ไขมันที่ใช้เป็นวัตถุดิบประกอบด้วยไทรกลีเซอไรด์ และกรดไขมันอิสระหลายชนิด ซึ่งปฏิกิริยาทางเคมีที่เกิดขึ้นในการผลิตใบโอดีเซล คือ แอลกอฮอล์ที่นิยมใช้กับวัตถุดิบดังกล่าว คือ เมทานอลเนื่องจากมีราคาถูก และมีสมบัติที่ดีในการเป็นตัวเร่งปฏิกิริยาโดยปกติจะใช้ตัวเร่งปฏิกิริยาเบสเพื่อให้ปฏิกิริยาเกิดอย่างสมบูรณ์ ภาวะในการทำปฏิกิริยาและการแยกผลิตภัณฑ์ให้บริสุทธิ์ขึ้นอยู่กับชนิดของตัวเร่งปฏิกิริยา การเกิดสนับสนุนอุปสรรคอย่างหนึ่งใน การผลิตใบโอดีเซล ซึ่งเกิดจากไฮดรอกไซด์ของโลหะทำปฏิกิริยากับกรดไขมันอิสระ สนับสนุนที่เกิดขึ้นจะทำให้ความหนืดเพิ่มขึ้น และทำให้ขันตอนในการแยกให้บริสุทธิ์มีความยุ่งยากมากขึ้น และเสียค่าใช้จ่ายสูง นอกจากนี้การทำปฏิกิริยาต้องใช้แอลกอฮอล์ที่มีน้ำด้อย (Anhydrous alcohol) คือไม่เกิน 0.1-0.3% หรือน้อยกว่าเนื่องจากการมีน้ำจะทำให้เกิดการไฮโดรলิซของอัลกิโลสเทอโรเป็นกรดไขมันอิสระ จากนั้นก็จะเกิดเป็นสนับสนุน ปกติปฏิกิริยาราنسోสເສເທୋຣີຟິເຄ්සັນໂດຍໃຊ້ກຽດຫຼືອບສິນໃນກາຮົງເຮັງປະກິກີຣິຢາ ປະກອບດ້ວຍ 3 ຂັ້ນຕອນທີ່ພັນກັບດີ (Reversible reaction) ໂດຍເຮັມຈາກໄທຣກ්ලීເຊෝໄຣດູກເປົ້າຍິນເປັນໄດກ්ලීເຊෝໄຣດີ ແລະມອນອກ්ලීເຊෝໄຣດີ ໃຫ້ຜົລິຕົກົນທຸສຸດທ້າຍເປົ້າຍິນເປັນອັລັກລົບເສເທୋຣ 3 ໂມລ ແລະ ກ්ලීເຊෝໂຮລ 1 ໂມລ ຂັ້ນຕອນທີ່ກຳຫັດປະກິກີຣິຢາຈະແປປົ້າຍິນເປັນຕາມເວລາຂອງ 3 ຂັ້ນຕອນ ເຮັມຈາກກາຮົງເຫັນວ່າຮ່ວງສາຮັດຕັ້ງຕັ້ງກັບຕົວເຮັງປະກິກີຣິຢາ คือ ນ້ຳມັນກັບແອລກອຍ່ອລ ຕົວເຮັງປະກິກີຣິຢາ ຈາກນັ້ນເກີດປະກິກີຣິຢາເປັນເສເທୋຣ ຊົ່ງເປັນອົມລັນ ຂ່າງນີ້ເປັນຂ່າງທີ່ກຳຫັດປະກິກີຣິຢາຫົວໜ້າ 2 ໂດຍກາຮົງຄວບຄຸມແບບຈຸນພລສາສຕຣີໃນກົດຜົລິຕົກົນທຸສຸດທ້າຍເປັນຈຸດສຸດທຸກໆທີ່ມີຢູ່ໃນມີຢູ່ 5% ຜົລິຕົກົນທີ່ໄດ້ຈາກກາຮົງໃຊ້ກຽດຈະເຫຼືອ 6% ຂະໜາທີ່ຜົລິຕົກົນທີ່ໄດ້ຈາກກາຮົງໃຊ້ເປັນສົມື່ງ 70% ຄວາມປະກິສຸທົ່ງຂອງใบໂອດිເශේලດູຈາກປະມານເມທິລເສເທୋຣ (ນ້ຳນັກເສເທୋຣຕ້ອນ້ຳນັກຜົລິຕົກົນທີ່) ຊົ່ງຄ່າທີ່ໄດ້

ປະມານນັ້ນຈະສ່າງຜົລຕ່ອບປະກິກີຣິຢາທີ່ໃຊ້ກຽດມາກກວ່າປະກິກີຣິຢາທີ່ໃຊ້ເປັນ ກລາວຄົວວັດຖຸດີບທີ່ມີນັ້ນອູ່ 5% ຜົລິຕົກົນທີ່ໄດ້ຈາກກາຮົງໃຊ້ກຽດຈະເຫຼືອ 6% ຂະໜາທີ່ຜົລິຕົກົນທີ່ໄດ້ຈາກກາຮົງໃຊ້ເປັນສົມື່ງ 70% ຄວາມປະກິສຸທົ່ງຂອງใบໂଓດිເශේලດູຈາກປະມານເມທິລເສເທୋຣ (ນ້ຳນັກເສເທୋຣຕ້ອນ້ຳນັກຜົລິຕົກົນທີ່) ຊົ່ງຄ່າທີ່ໄດ້

หมายถึงความสามารถในการเปลี่ยนไตรกลีเชอไรต์เป็นเมทิลเอสเทอโรส่วนค่าผลได้ หมายถึง น้ำหนักผลิตภัณฑ์ต่อน้ำหนักน้ำมันตั้งต้น ซึ่งค่านี้หมายถึงผลได้ของเมทิลเอสเทอโรได้มากหรือน้อย ปฏิกิริยาทรานส์เอสเทอเริฟิเคลชันจะต้องมีเมื่อน้ำปะปน เนื่องจากโมเลกุลน้ำจะทำลายโมเลกุลของตัวเร่งปฏิกิริยา มีรายงานว่าการกำจัดโมเลกุลของน้ำสามารถใช้เตาอบไมโครเวฟที่ 60°C เป็นเวลา 10 นาที จากนั้นนำน้ำมันผสมกับโอทานอลที่มีการเติมตัวเร่งปฏิกิริยา โดยขั้นตอนของการเตรียมตัวเร่งปฏิกิริยาจะมีการใช้เตาอบไมโครเวฟเข้ามาช่วย เพื่อกำจัดน้ำออกไป นอกจากนี้การทำปฏิกิริยาทรานส์เอสเทอเริฟิเคลชันยังใช้ไมโครเวฟช่วยในการปรับปรุงการสกัด และช่วยเร่งปฏิกิริยาโดยลดเวลาในการเกิดผลิตภัณฑ์ซึ่งปกติใช้เวลา 75 นาทีเหลือเพียง 4 นาทีเท่านั้น อีกทั้งยังเกิดผลิตภัณฑ์ได้มากที่สุด แต่ต้องมีการควบคุมการใช้ไมโครเวฟไม่ให้ร้อนเกินไป เนื่องจากจะไปทำลายสารประกอบอินทรีย์ เช่น แอลกอฮอล์ เนื่องจากโครงสร้างของแอลกอฮอล์จะมีการจัดเรียงตัวในแนวนามแม่เหล็กที่เกิดจากคลื่นไมโครเวฟทำให้โมเลกุลทำการหมุน และเกิดความร้อนจากการเสียดสีของการหมุนระหว่างโมเลกุล อัตราการเกิดปฏิกิริยาที่เพิ่มขึ้นเนื่องจากอุณหภูมิบริเวณตำแหน่งว่องไว (Catalytic site) สูงการใช้ไมโครเวฟจึงทำให้เกิดการทำปฏิกิริยา กันอย่างมีประสิทธิภาพ และช่วยให้การแยกทำได้ดีขึ้นโดยใช้ไมโครเวฟ 2-3 นาทีแล้วปล่อยทิ้งไว้ 3 นาที การแยกชั้นจะเกิดได้อย่างสมบูรณ์ การใช้ไมโครเวฟในการแยกชั้นใช้กับการแยกน้ำมันออกจากผลิตภัณฑ์ข้างเคียงจะช่วยให้ปฏิกิริยาทรานส์เอสเทอเริฟิเคลชันเกิดได้เร็ว



2.4.4 กระบวนการผลิตใบโอดีเซล

ประเภทของกระบวนการผลิตใบโอดีเซล แบ่งออกเป็น 4 ประเภทด้วยกัน คือ

2.4.4.1 การผลิตใบโอดีเซลแบบบก (Batch type) เป็นการผลิตแบบไม่ต่อเนื่องทำให้ผลิตได้ครั้งละไม่นาน และผลผลิตมีคุณภาพไม่สม่ำเสมอ แต่มีข้อดีคือ ใช้เงินลงทุนต่ำ

2.4.4.2 ทรานส์อีสเทอเรฟิเคชันแบบต่อเนื่อง (Continuous transesterification) เป็นกระบวนการผลิตที่ต้องใช้เงินลงทุนสูงกว่าแบบแรก แต่ให้ผลผลิตที่มีคุณภาพดีกว่า และมีกำลังการผลิตสูงกว่า

2.4.4.3 แบบต่อเนื่องสองขั้นตอน (Continuous 2-step reaction) เป็นกระบวนการที่สามารถใช้ได้กับวัตถุดิบหลายชนิด รวมถึงน้ำมันที่กรดไขมันอิสระสูง โดยการทำปฏิกิริยาเอสเทอเรฟิเคชันในขั้นแรก และผ่านกระบวนการทรานส์อีสเทอเรฟิเคชันอีกครั้ง ทำให้ได้ผลผลิตที่มากกว่า 2 ประเภทแรก แต่อย่างไรก็ตามเงินลงทุนก็สูงขึ้นเช่นกัน

2.4.4.4 ไมโครเวฟเทคโนโลยี (Microwave technology) เป็นกระบวนการผลิตที่สามารถทำปฏิกิริยาได้เร็วขึ้น ด้วยการใช้คลื่นไมโครเวฟ และใช้พื้นที่ในการติดตั้งน้อย อย่างไรก็ตามปัจจุบันยังคงมีเฉพาะโรงงานต้นแบบ (Pilot plant) และใช้เงินลงทุนสูงมาก

2.4.4.5 การทำให้แห้ง (Drying) เป็นการทำจัดนำ้ออกจากใบโอดีเซล

2.4.4.6 กระบวนการทำกลีเซอรอลให้บริสุทธิ์โดยการระเหย (Glycerol evaporation process) เป็นกระบวนการการทำกลีเซอรอลให้บริสุทธิ์ที่ 80% (Technical grade)

2.4.4.7 กระบวนการทำกลีเซอรอลให้บริสุทธิ์โดยการกลั่น (Glycerol distillation process) เป็นกระบวนการทำการทำกลีเซอรอลบริสุทธิ์ที่ 99.7% (Pharmaceutical grade)

น้ำมันพืชและไขมันสัตว์มีกรดไขมันชนิดต่างๆ กันเป็นองค์ประกอบโดยที่มีปริมาณของกรดไขมันอยู่ในโครงสร้างถึงร้อยละ 94-96 ของน้ำหนักโมเลกุลของไตรกลีเซอไรด์ ทำให้สมบัติของน้ำมันแต่ละชนิดทั้งทางเคมีและทางกายภาพแตกต่างกันการที่กรดไขมันชนิดอื่นตัวมีโมเลกุลยาวจำนวนมาก ซึ่งมีจุดหลอมเหลวสูงทำให้มีลักษณะเป็นของแข็งที่อุณหภูมิห้อง เช่น ไขมันวัว ในขณะที่น้ำมันมะพร้าวมีกรดไขมันชนิดอื่นตัวมีโมเลกุลสั้นจำนวนมากและกรดไขมันที่ไม่含有อิมตัวจำนวนน้อย ซึ่งมีจุดหลอมเหลวต่ำทำให้อยู่ในสภาพของเหลวที่อุณหภูมิปกติ แต่อย่างไรก็ตามกรดไขมันจะมีจุดเดือด และจุดหลอมเหลวสูงขึ้นตามจำนวนคาร์บอนอะตอมที่เพิ่มขึ้น กรดไขมันอื่นตัวมีจุดเดือดสูงกว่ากรดไขมันไม่อิมตัว ที่มีมวลโมเลกุลใกล้เคียงกัน นอกจากนี้น้ำมันพืชที่มีกรดไขมันอื่นตัวในปริมาณสูงจะมีค่าไอโอดีนต่ำ และเมื่อมีปริมาณกรดไขมันอื่นตัวลดลง ค่าไอโอดีนจะสูงขึ้นตามลำดับ

2.5 กรดไขมันและน้ำมัน (Fatty acid and oil) [19]

ไขมันและน้ำมัน เรียกรวมกันว่า ลิปิด (Lipid) เป็นเอสเทอร์ที่มีอยู่ในธรรมชาติ เกิดจากการรวมระหว่างกลีเซอโรลกับกรดไขมัน ไขมันและน้ำมันแตละโมเลกุลประกอบด้วยกลีเซอโรล 1 โมเลกุลและกรดไขมัน 3 โมเลกุล ส่วน R ในกรดไขมันคือ หมู่อัลกิล ซึ่งเป็นกลุ่มของไฮโดรคาร์บอน R ทั้ง 3 หมู่อาจจะเป็นชนิดเดียวกันหรือต่างชนิดกันก็ได้ โดยทั่วไปมีจำนวนคาร์บอนตั้งแต่ 12 ถึง 18 อะตอมและเป็นเลขคู่ ซึ่งเป็นสูตรโครงสร้างที่ไปของไทรกลีเซอไรด์ แสดงดังสมการที่ (2.1) และตารางที่ 2.1 แสดงองค์ประกอบของกรดไขมันในน้ำมันพืชชนิดต่างๆ

ตารางที่ 2.1 องค์ประกอบของกรดไขมันในน้ำมันพืชชนิดต่างๆ

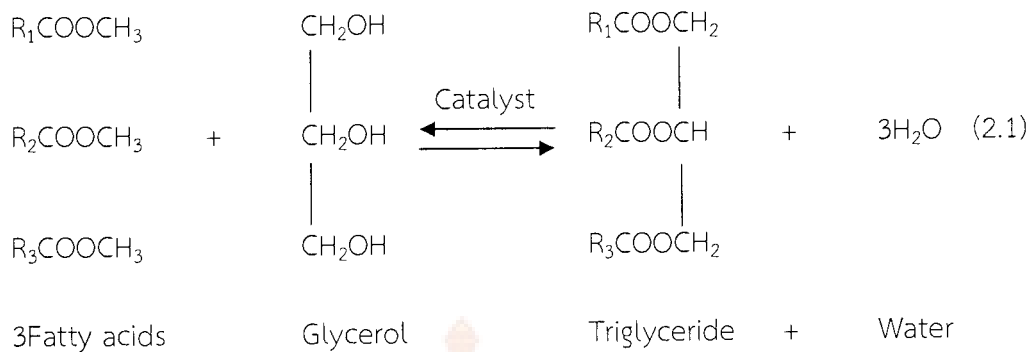
ชนิดของน้ำมัน	ค่า	องค์ประกอบของกรดไขมันหลัก						
		ไอโอดีน	C12:0	C14:0	C16:0	C18:0	C18:1 ^a	C12:2 ^b
ปาล์ม	50-55	ND-0.5	0.5-2	39.3-	3.5-6	36-44	9-12	ND-0.5
					47.5			
ปาล์มโอลีน	≥ 56	0.1-0.5	0.5-1.5	38-43.5	3.5-5	39.8-	10-	ND-0.6
					46	13.5		
ปาล์มสเตียรีน	≤ 48	0.1-0.5	1-2	48-74	3.9-6	15.5-	3-10	0.5
					36			
เมล็ดในปาล์ม	14.1-21	45-55	14-18	6.5-10	1-3	12-19	1-3.5	ND-0.2
มะพร้าว	6.3-10.6	45.1-	16.8-	7.5-10.2	2-4	5-10	1-2.5	ND
		53.2	21					
ถั่วเหลือง	86-107	ND-0.1	ND-0.1	8-14	1-4.5	35-67	13-43	ND-0.3
เมล็ดสนบุ่ง	101	ND	ND	14.9	6.0	41.2	37.7	ND
เมล็ดเรพ	94-120	ND	ND-0.2	1.5-6	0.5-3.1	8-60	11-23	5-13
ถั่วเหลือง	124-139	ND-0.1	ND-0.2	8-13.5	2-5.4	17.7-	49.8-	5-11
					28	59		

ND = ไม่พบ

^a กรดไขมันชนิดไม่อิมตัวมีพันธะคู่ ระหว่าง carbon 1 แห่ง

^b กรดไขมันชนิดไม่อิมตัวมีพันธะคู่ ระหว่าง carbon 2 แห่ง

^c กรดไขมันชนิดไม่อิมตัวมีพันธะคู่ ระหว่าง carbon 3 แห่ง



2.5.1 กรดไขมัน (Fatty acid)

กรดไขมันเป็นกรดอินทรีย์สายตรงที่มีหมู่คาร์บอคซิล 1 หมู่ (Straight chain aliphatic monocarboxylic acid) มีสูตรโมเลกุลเป็น $R-COOH$ โดย R - คือ หมู่อัลกิล (Alkyl) ในโมเลกุลของกรดไขมัน และหมู่คาร์บอคซิล (-COOH) มีสมบัติชอบน้ำ จึงทำให้กรดไขมันสามารถแตกตัวออกได้เป็นประจุลบ (Anionic carboxylate) และหมู่ R - มีสมบัติไม่ชอบน้ำ ซึ่งชอบที่จะละลายในน้ำมัน

ในธรรมชาติพบรดไขมันเป็นองค์ประกอบในโมเลกุลของไตรเอชิกเลออลที่อยู่ในไขมันน้ำมัน และฟอสโฟลิปิด (Phospholipids) เป็นส่วนใหญ่ ที่พบในรูปของกรดไขมันอิสระมีน้อยมาก พันธะระหว่างคาร์บอนอะตอมในโมเลกุลของกรดไขมัน มีทั้งที่เป็นพันธะเดี่ยว และพันธะคู่ กรดไขมันที่มีพันธะเดี่ยวทั้งหมด เเรียกว่า กรดไขมันชนิดอิมตัว (Saturated fatty acids) ส่วนกรดไขมันที่มีพันธะคู่ 1 พันธะหรือมากกว่า 1 พันธะ เเรียกว่า กรดไขมันชนิดไม่อิมตัว (Unsaturated fatty acids)

กรดไขมันสามารถแบ่งออกตามจำนวนคาร์บอนในโมเลกุลได้เป็น 3 กลุ่มได้แก่

1) กรดไขมันที่มีน้ำหนักโมเลกุลต่ำชนิดสายสั้น (Short-chain low molecular weight fatty acids) คือ กรดไขมันที่จำนวนคาร์บอนในโมเลกุล 4-10 อะตอม กรดไขมันกลุ่มนี้หลายน้ำได้บ้าง ระหว่างๆได้ และเป็นสารที่ให้กลิ่น

2) กรดไขมันชนิดสายกลาง (Medium-chain fatty acids) มีจำนวนคาร์บอนในโมเลกุล 12-14 อะตอม

3) กรดไขมันชนิดสายยาว (Long-chain fatty acids) มีจำนวนคาร์บอนในโมเลกุลมากกว่า 16 อะตอมขึ้นไป กรดไขมันกลุ่มนี้ไม่มีกลิ่น และรสชาติ

สำหรับไขมัน และน้ำมันแต่ละชนิดจะแตกต่างกันที่ชนิด และปริมาณของกรดไขมันที่เป็นองค์ประกอบในโมเลกุลของไตรเอชิกเลออลที่ประกอบกันเป็นไขมัน และน้ำมัน กรดไขมันที่เป็นองค์ประกอบในโมเลกุลของไตรเอชิกเลออลของไขมัน มักเป็นกรดไขมันชนิดอิมตัวเป็นส่วนใหญ่ ซึ่ง

ตรงกันข้ามกับน้ำมันที่มีกรดไขมันชนิดไม่อิ่มตัวเป็นองค์ประกอบในโมเลกุลของไทรอีซิกลีเชอรอลเป็นส่วนใหญ่ จำนวนคาร์บอนในโมเลกุลของกรดไขมันจะเป็นเลขคู่เสมอ และเป็นสายตรง แต่มีกรดไขมันบางชนิดซึ่งมีจำนวนน้อยที่เป็นเลขคี่ หรือเป็นสายแขนง (Branch chain acids) หรือเป็นกรดไฮดรอกซี (Hydroxy acids) ซึ่งพบได้ทั้งในธรรมชาติและในไขมันที่ผ่านกระบวนการแปรรูป และไทรอีซิกลีเชอรอลที่ผ่านกระบวนการยังอาจเกิดพวกไอโซเมอร์ (Isomeric fatty acid) ได้ด้วย

2.5.1.1 กรดไขมันชนิดอิ่มตัว (Saturated fatty acid) กรดไขมันชนิดอิ่มตัวมีสูตรทั่วไปเป็น $C_nH_{2n}O_2$ เป็นกรดไขมันที่พันธะระหว่างคาร์บอนอะตอมในโมเลกุลเป็นพังะเดียวทั้งหมด จึงไม่สามารถรับไฮโดรเจนอะตอมได้อีก กรดไขมันชนิดอิ่มตัวที่มีน้ำหนักโมเลกุลน้อยที่สุด คือ กรดบิวทิริก (คาร์บอน 4 อะตอม) เป็นกรดไขมันที่ละลายได้ดีในน้ำ และระเหยได้่าย กรดไขมันที่มีจำนวนคาร์บอนตั้งแต่ 6-10 อะตอม ละลายน้ำได้เพียงเล็กน้อย ระเหยได้ ส่วนกรดไขมันที่มีจำนวนคาร์บอนตั้งแต่ 12 อะตอมขึ้นไปไม่ละลายน้ำ กรดไขมันที่มีจำนวนคาร์บอนในโมเลกุลต่ำกว่า 10 อะตอม จะเป็นของเหลวที่อุณหภูมิห้อง กรดไขมันที่มีจำนวนคาร์บอนตั้งแต่ 10 อะตอมขึ้นไปจะเป็นของแข็งที่อุณหภูมิห้อง

2.5.1.2 กรดไขมันชนิดไม่อิ่มตัว (Unsaturated fatty acid) กรดไขมันชนิดไม่อิ่มตัวเป็นกรดไขมันที่มีพันธะคู่อยู่ระหว่างคาร์บอนอะตอมในโมเลกุลบางตำแหน่ง และมีการเรียงตัวเป็นแบบซิส (Cis-configuration) การที่มีพันธะคู่ในโมเลกุลทำให้สามารถเติมไฮโดรเจนเข้าไปในโมเลกุลของกรดไขมันชนิดไม่อิ่มตัวได้ กรดไขมันชนิดไม่อิ่มตัวแบ่งออกเป็นกลุ่มย่อยๆ ตามจำนวนพันธะคู่

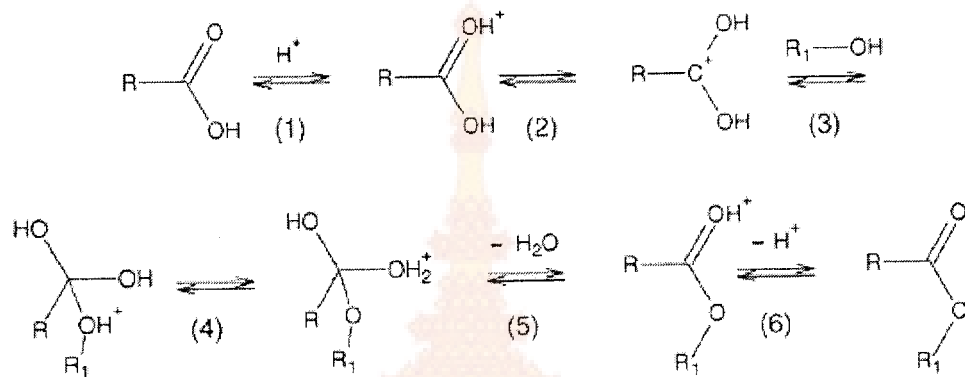
2.5.1.3 กรดไขมันที่มีหมู่ไฮดรอกซี (Hydroxy fatty acids) เป็นกรดไขมันชนิดอิ่มตัวที่มีหมู่ไฮดรอกซิลเกาอยู่ที่สายอัลกิล (Alkyl chain) พบเป็นส่วนประกอบอยู่ในระบบประสาทส่วนกลาง ตัวอย่างเช่น กรดเซรีบอโนิก (Xyribonic acid) และมีกรดไขมันชนิดไม่อิ่มตัวที่มีหมู่ไฮดรอกซิล ได้แก่ กรดริซโนเลอิก (Ricinoleic acid) ซึ่งเป็นกรดไขมันที่พบมากในน้ำมันลั่หุ่ง (Castor bean oil) มีอยู่ประมาณ 90% ของกรดไขมันทั้งหมด

2.5.1.4 กรดไขมันชนิดอื่น ๆ กรดไขมันบางชนิดมีโครงสร้างโมเลกุลเป็นสายแขนงและบางชนิดมีหมู่ร่วงแหวนอยู่ในโมเลกุลด้วย เช่น กรดทูเบอซูโลสเทียริก (Tuberculostearic acid) กรดชาอัลมูกริก (Chaulmoogric acid) และ กรดแลคโตบาซิลลิก (Lactobacillic acid) เป็นต้น

2.6 ปฏิกิริยาเอสเทอราฟิเคชัน (Esterification)

ปฏิกิริยาเอสเทอราฟิเคชันเป็นปฏิกิริยาที่สามารถผลิตไปโอดีเซลได้จากการเปลี่ยนกรดไขมันอิสระโดยการทำปฏิกิริยากับแอลกอฮอลล์สายโซ่สั้น เช่น เมทานอล หรือเอทานอล และใช้ตัวเร่งปฏิกิริยาที่เป็นกรด ซึ่งผลิตภัณฑ์ได้คืออัลกิลเอสเทอร์ และน้ำ

สำหรับกลไกการเกิดปฏิกิริยาแบ่งออกเป็น 4 ขั้นตอน ดังรูปที่ 2.1 เริ่มจากตัวเร่งปฏิกิริยาที่เป็นกรดให้เปรตอรอนกับกรดไขมันอิสระเกิดเป็นอิเล็กโทรฟิล์ (electrophile) และแอลกอฮอล์โมเลกุลตាๆ จะมาชนและเกิดเป็นสารอินเตอร์มีเดียท์โครงสร้างทรงสี่หน้า แตกตัวเป็นผลิตภัณฑ์อัลคิลเอสเทอร์ (น้ำมันใบโอดีเซล) ที่มีตำแหน่งว่างไว กับน้ำ หลังจากนั้นมีการคืนโปรตอนจากอัลคิลเอสเทอร์ที่มีเทอร์ (น้ำมันใบโอดีเซล) ที่มีตำแหน่งว่างไว กับน้ำ หลังจากนั้นมีการคืนโปรตอนจากอัลคิลเอสเทอร์ที่มีตำแหน่งว่างไวให้กับตัวเร่งปฏิกิริยาที่เป็นกรด เพื่อใช้ในการเกิดปฏิกิริยาต่อไปดังรูปที่ 2.1



รูปที่ 2.1 กลไกการเกิดปฏิกิริยาเอสเทอร์ฟิเคลชันโดยใช้ตัวเร่งปฏิกิริยาที่เป็นกรด [15]

2.7 งานวิจัยที่ผ่านมา

Boonamnuayvitaya และคณะ [20] สังเคราะห์ถ่านกัมมันต์ที่มีรูพรุนขนาดเมโซจากการกาแฟ (Mesoporous acitivated carbon from coffee residue) โดยการเตรียมสองขั้นตอนคือการทำcarbonylation ใน-เชื้อและกระบวนการกระตุ้นด้วย ZnCl_2 พบร่วมกับ ZnCl₂ และการกาแฟในอัตราส่วน 3 ต่อ 1 โดยใช้อุณหภูมิกระตุ้น 600 °C ในบรรยากาศ CO_2 เป็นเวลา 4 ชั่วโมง จะได้ถ่านกัมมันที่มีพื้นที่ผิว 900 m^2/g ปริมาตรรูพรุนรวม $1.01 \text{ cm}^3/\text{g}$ ซึ่งมีรูพรุนขนาดเมโซ 92% และมีหมู่ฟังก์ชัน C-H อยู่บนพื้นผิว ซึ่งแสดงถึงความไม่ชอบน้ำ

Lam et al. [21] ได้มีการศึกษาภาพรวมเกี่ยวกับการผลิตใบโอดีเซลและศักยภาพของน้ำมันปรุงอาหารที่ใช้แล้วที่จัดเป็นวัตถุดิบอิกนิดหนึ่ง ข้อดีและข้อจำกัดของการใช้ตัวเร่งปฏิกิริยาเอกพันธุ์ ตัวเร่งปฏิกิริยาไวต์พันธุ์ และเอนไซม์ของปฏิกิริยาทรานส์อสเทอร์ฟิเคลชันกับน้ำมันที่มีปริมาณกรดไขมันอิสระสูง (ส่วนใหญ่ใช้น้ำมันปรุงอาหารที่ใช้แล้ว) พบร่วมกับการใช้ตัวเร่งปฏิกิริยาไวต์พันธุ์กรดและเอนไซม์เป็นตัวเร่งปฏิกิริยาที่ดีที่สุดในการผลิตใบโอดีเซลจากน้ำมันที่มีปริมาณกรดไขมันอิสระสูงเมื่อเทียบกับตัวเร่งปฏิกิริยาเอกพันธุ์ (พิจารณาในเชิงพาณิชย์) กระบวนการเร่งปฏิกิริยาโดยใช้ตัวเร่งปฏิกิริยาไวต์พันธุ์และเอนไซม์ยัง

พบปัญหาเกี่ยวกับข้อจำกัดของการถ่ายโอนมวลซึ่งไม่เหมาะสมสำหรับการใช้ในอุตสาหกรรม แต่อย่างไรก็ตามมีการพัฒนาเทคโนโลยีที่มีศักยภาพที่จะแก้ปัญหาเรื่องข้อจำกัดของการถ่ายโอนมวลได้ โดยใช้เครื่องปฏิกรณ์ที่มีการเปลี่ยนแปลงการไหลที่มีระบบอัลตราโซนิก คลีนไมโครเวฟ และเครื่องปฏิกรณ์เขียวทำละลายร่วมกันเพื่อแก้ปัญหาดังกล่าว และสามารถปรับปรุงกระบวนการผลิตใบโพลีไชลจากน้ำมันปูรุ่งอาหารใช้แล้วให้กลายเป็นวัตถุดิบที่เหมาะสมต่อไป

Melero และคณะ [14] ได้มีการบททวนวรรณกรรมเกี่ยวกับตัวเร่งปฏิกริยาไวรพันธุ์สำหรับการผลิตน้ำมันใบโพลีไชลในสถานการณ์ปัจจุบันและในอนาคต พบร่วมกับการที่จะผลิตน้ำมันใบโพลีไชลให้มีราคายังคงแข็งแกร่งและสามารถแข่งขันกับน้ำมันดีเซลได้จะต้องใช้วัตถุดิบที่มีราคาถูกและกระบวนการผลิตที่ไม่ซับซ้อน ซึ่งตัวเร่งปฏิกริยาไวรพันธุ์เป็นคำตอบที่เหมาะสมที่สุด เนื่องจากสามารถใช้เร่งปฏิกริยาเอกสาริฟิเคชันและทรานส์เอกสาริฟิเคชันได้พร้อมกันภายใต้เครื่องปฏิกรณ์เดียวกัน

Lopez et al. [22] ศึกษาจนพนศาสตร์และค่าการเลือกของตัวเร่งปฏิกริยาของแข็งที่แตกต่างกันสำหรับปฏิกริยาทรานส์เอกสาริฟิเคชันของไทรอะซิติน (แบบสารประกอบขนาดใหญ่สำหรับไทรกลีเซอ-ไรด์ที่พบในน้ำมันพืชและไขมัน) กับเมทานอลที่อุณหภูมิ 60°C ในเครื่องปฏิกรณ์แบบกะบุดด้วยตัวเร่งปฏิกริยากรดและเบสชนิดของแข็งและของเหลว สถานะปฏิกริยาเอกพันธุ์ (ตัวอย่างเช่นของเหลว) ตัวเร่งปฏิกริยา (NaOH และ H_2SO_4) เพื่อใช้ศึกษาในการเปรียบเทียบกับตัวเร่งปฏิกริยา Amberlyst - 15, Nafion NR50, Sulfated zirconia พบร่วมความว่องไวที่ตัวเร่งปฏิกริยาของแข็งอาจเป็นทางเลือกที่เหมาะสมสมดแทนตัวเร่งปฏิกริยาของเหลว ในขณะที่เมื่อยังคงจากน้ำหนักของตัวเร่งปฏิกริยาเบสจากสารผสมที่ได้จากปฏิกริยา พบร่วมตัวเร่งปฏิกริยาเอกพันธุ์ให้อัตราการเกิดปฏิกริยาที่สูงขึ้น ส่วนอัตราการเกิดปฏิกริยาต่อบริมาณต่ำแห่งว่องไวของตัวเร่งปฏิกริยาที่เป็นของแข็ง เช่น มีความใกล้เคียงกับตัวเร่งปฏิกริยา H_2SO_4 เมื่อเปรียบเทียบกับความถี่ผันวียน (Turnover frequency, TOF) ของตัวเร่งปฏิกริยา Sulfated Zirconia และทังสเตเตเดเซอร์โคเนียกับตัวเร่งปฏิกริยา H_2SO_4 จะมีค่าใกล้เคียงกัน นอกจากนี้ยังมีการศึกษาลักษณะการเสื่อมสภาพของตัวเร่งปฏิกริยาด้วย

Petchmala et al. [23] ศึกษาตัวเร่งปฏิกริยาชั้ลเพเตเดเซอร์โคเนีย ($\text{SO}_4\text{-ZrO}_2$) เตรียมโดยใช้ปริมาณกำมะถันที่แตกต่างกัน 3 ค่า (0.75 , 1.8 , และ 2.5%) เพาท์อุณหภูมิ 500 และ 700°C เพื่อใช้ทดสอบในปฏิกริยาทรานส์เอกสาริฟิเคชันของน้ำมันปาล์มบริสุทธิ์ (PPO) และปฏิกริยาเอกสาริฟิเคชันของกรดไนโตริก (PFA) ในเมทานอลไกล์วิกฤตและวิกฤตยะดึง จากผลการวิเคราะห์ด้วยเทคนิคต่างๆ ประกอบด้วย BET, XRD, NH_3 -TPD และ CO_2 -TPD แสดงให้เห็นถึงผลของปริมาณกำมะถันและการเผาที่อุณหภูมิสูงต่อตำแหน่งกรด-เบสของตัวเร่งปฏิกริยา พื้นที่ผิวจำเพาะ ขนาดรูพรุนเนลลี่ โครงสร้างเฟส ซึ่งนำไปสู่การเร่งปฏิกริยา พบร่วมกับการใส่ปริมาณกำมะถันที่เหมาะสมที่สุดคือ 1.8% และอุณหภูมิที่เหมาะสม

ในการเผาต่อ 500°C ผลการทดลองแสดงให้เห็นว่าการใช้ $\text{SO}_4\text{-ZrO}_2$ จะช่วยลดเวลาในการเกิดปฏิกิริยา เอสเทอโรฟิเคชันและส่งผลต่อปริมาณเมทานอลที่ใช้และอุณหภูมิในการทำปฏิกิริยาที่ 250°C โดยใช้ตัวเร่งปฏิกิริยา $\text{SO}_4\text{-ZrO}_2$ ที่ 0.5% โดยน้ำหนักของ PPO หรือ PFA พบว่าการทำให้เกิดการเปลี่ยน FAMFs มากที่สุด ภายใต้ภาวะดังนี้ มีค่าการเปลี่ยน 90% และ 75% ภายใน 10 และ 1 นาที สำหรับ PPO (ที่อัตราส่วนโดยโมล MeOH: PPO = 25: 1) และ PPA (ที่อัตราส่วนโดยโมล MeOH ต่อ PPO เท่ากับ 6:1) ตามลำดับ

Suwannakarn และคณะ [13] ศึกษาความว่องไวและความเสถียรของตัวเร่งปฏิกิริยา SZ ในการเร่งปฏิกิริยาทรานส์เอสเทอโรฟิเคชันของไตรคาพริลินกับแอลกอฮอล์ต่างๆ ดังนี้ คือ เมทานอล และบีวานอล และบีวานอล ที่อุณหภูมิ 120°C และความดัน 8 atm ในเครื่องปฏิกรณ์ความดันสูง พบว่าค่าการค่าเปลี่ยนของไตรคาพริลินจะลดลงเมื่อจำนวนคาร์บอนในสายโซ่ของแอลกอฮอล์เพิ่มขึ้นเนื่องจากผลการบัง (Steric hindrance) ที่เพิ่มขึ้น นอกจากนี้ยังพบว่าตัวเร่งปฏิกิริยา SZ จะมีความว่องไวลดลงเมื่อถูกนำมาใช้ในการเร่งปฏิกิริยาช้าหลายครั้ง เนื่องจากการหลุดของ SO_4^{2-} ละลายในแอลกอฮอล์ ซึ่งเป็นสาเหตุหลักของการเสื่อมสภาพของตัวเร่งปฏิกิริยา SZ ทำให้สามารถสรุปได้ว่าการเร่งปฏิกิริยาของตัวเร่งปฏิกิริยา SZ จะคล้ายกับการเร่งปฏิกิริยาแบบเอกพันธุ์มากกว่าการเร่งปฏิกิริยาแบบวิรพันธ์

Suwannakarn et al. [11] ศึกษาการผลิตไบโอดีเซลจากวัตถุดิบที่มีความเข้มข้นของกรดไขมันอิสระสูง โดยใช้ปฏิกิริยาแบบสามวัสดุภาค สำหรับการเกิดปฏิกิริยาเอสเทอโรฟิเคชันของกรดไขมันอิสระ และปฏิกิริยาทรานส์เอสเทอโรฟิเคชันของไทรกลีเซอไรด์ โดยใช้รูปแบบสมรรถะห่วงไทรกลีเซอไรด์ และกรดไขมันอิสระ (Lauric acid, HLa) 0-25% โดยน้ำหนักในไตรคาพริลิน (Tricaprylin, TCp) ของไขมันเพื่อให้เห็นความแตกต่างระหว่างปฏิกิริยา สำหรับปฏิกิริยาเอสเทอโรฟิเคชัน/ปฏิกิริยาทรานส์เอสเทอโรฟิเคชัน โดยใช้ตัวเร่งปฏิกิริยาทั้งสتينบันตัวรองรับเซอร์โคเนีย (Tungstated zirconia, WZ) เป็นตัวเร่งปฏิกิริยาของแข็งในเครื่องปฏิกรณ์แบบกึ่งกะที่อุณหภูมิ 130°C ในความดันบรรยากาศโดยการป้อนเมทานอลอย่างต่อเนื่องในเครื่องปฏิกรณ์ เมทานอลและน้ำที่เหลือจากการทำปฏิกิริยาจะถูกนำไป และถูกดึงออกไปอย่างต่อเนื่องซึ่งส่วนใหญ่จะเกิดในปฏิกิริยาเอสเทอโรฟิเคชัน เนื่องจากปฏิกิริยาเอสเทอโรฟิเคชันเร็วกว่าปฏิกิริยาทรานส์เอสเทอโรฟิเคชันเป็น 4 เท่า ภายใต้ภาวะเดียวกันในการเกิดปฏิกิริยา น้ำที่เป็นผลิตภัณฑ์ร่วมไม่ได้มาจากการเกิดปฏิกิริยาเอสเทอโรฟิเคชันของ HLa เพียงอย่างเดียว แต่ยังได้มาจากการปฏิกิริยาการจัดน้ำของเมทานอล (Methanol dehydration) เนื่องจากไทรกลีเซอไรด์ถูกเปลี่ยนไปเป็นเอสเทอร์โดยสองเส้นทาง คือ ไทรกลีเซอไรด์ในปฏิกิริยาทรานส์เอสเทอโรฟิเคชัน และไทรกลีเซอไรด์ในปฏิกิริยาไฮโดรლิซิสจากปฏิกิริยาเอสเทอโรฟิเคชัน และพบว่าตัวเร่งปฏิกิริยา WZ จะเสื่อมสภาพ 37%

หลังจากทำปฏิกิริยาสามวัฏภาคเป็นเวลา 2 ชั่วโมงต่อรอบ แต่สามารถคืนสภาพตัวเร่งปฏิกิริยา WZ ได้โดยการเผาที่อุณหภูมิ 500°C ในที่มีอากาศไหลผ่าน

Mo และคณะ [24] ศึกษาความว่องไวในและการเสื่อมสภาพของตัวเร่งปฏิกิริยาซัลฟอนเตคร์บอน (Sulfonated carbon) จากน้ำตาลการเร่งปฏิกิริยาเอสเทอโรพิเคชันของกรดไดxmันอิสระ (กรดอะซิติก และกรดคาพริลิก) และปฏิกิริยาทรานส์เอสเทอโรพิเคชันของ TGs (ไตรอะซิติน ไตรคาพริลิน และน้ำมันถั่วเหลือง) พบร่วมกันความว่องไวในการเร่งปฏิกิริยาเทียบได้กับตัวเร่งปฏิกิริยา SAC-13 และกรดซัลฟิวริก และกรดบอนสเททชนิดอื่นๆ สำหรับการเร่งปฏิกิริยาเอสเทอโรพิเคชันและปฏิกิริยาทรานส์เอสเทอโรพิเคชัน ในวัฏภาคของเหลวของตัวเร่งปฏิกิริยาซัลฟอนเตคร์บอนให้ผลเทียบเท่ากับกรดซัลฟิวริกเมื่อใช้น้ำหนักกับตัวเร่งปฏิกิริยามากกว่า แต่มีค่าต่ำกว่าเมื่อเปรียบเทียบ Initial TOFs กับตัวเร่งปฏิกิริยา SAC-13 แต่เมื่อนำมาใช้เร่งปฏิกิริยาเอสเทอโรพิเคชันในวัฏภาคแก๊สจะมีความว่องไวน้อย เนื่องมาจากกระบวนการบรวมของตัวเร่งปฏิกิริยา (Catalyst swelling) ที่เกิดได้ดีในวัฏภาคของเหลวมากกว่าวัฏภาคแก๊ส ทำให้อัตราการเกิดปฏิกิริยาเริ่มต้นในวัฏภาคแก๊สเมื่อค่าน้อยกว่า นอกจากนี้ความว่องไวในการเร่งปฏิกิริยาของซัลฟอนเตคร์บอนในวัฏภาคของเหลวจะลดลงเมื่อนำตัวเร่งปฏิกิริยาซัลฟอนเตคร์บอนมาใช้เร่งปฏิกิริยาซั่วหลายครั้งที่อุณหภูมิ 60°C จากการวิเคราะห์ด้วยเครื่องวิเคราะห์ธาตุ (Elemental analysis) และโปรดอนนิวเคลียแมกнетิกเรโซแนนซ์ ^1H NMR พบร่วมกันของการละลายของวงแหวนโพลีไซคลิกของไฮดรคร์บอนที่มีหมุนซัลฟอนิก ($-\text{SO}_3\text{H}$) ทำให้ตัวเร่งปฏิกิริยาซัลฟอนเตคร์บอนเสื่อมสภาพ

Melero และคณะ [14] สังเคราะห์ตัวเร่งปฏิกิริยากรดโพราเนซัลฟอนิกบนตัวรองรับเอสบีเอ 15 ขนาดเมโซโพอร์ (Propanesulfonic acid-derivatized mesoporous SBA-15 catalyst) พบร่วมกันของตัวเร่งปฏิกิริยานี้คือการที่มีพื้นที่ผิวสูง ให้ค่าการเลือกເกิດอีเทอร์สูงจากการตั้งต้นที่เป็นแอลกอฮอล์ โดยเฉพาะการรวมกันของเมทานอล และไอโซบิวทานอลเกิดเป็นเมทิลไอโซบิวทิวอีเทอร์ ซึ่งไม่มีบิวทิน (ผลิตภัณฑ์ข้างเคียง) ปรากฏในปฏิกิริยาที่อุณหภูมน้อยกว่า 400 K ใน การศึกษาลักษณะของตัวเร่งปฏิกิริยาที่อุณหภูมิ 400 K ในการตั้งต้นที่เป็นแอลกอฮอล์ ทำให้ตัวเร่งปฏิกิริยาซัลฟอนเตคร์บอนเสื่อมสภาพ

Iranpoor และคณะ [25] พัฒนาตัวเร่งปฏิกิริยาซัลฟอนเตบันถ่าน (Sulfonated charcoal) โดยการสังเคราะห์ที่อุณหภูมิไม่สูงนัก พบร่วมกันของตัวเร่งปฏิกิริยาซัลฟอนเตบันถ่านมีประสิทธิภาพในการเร่งหั้งปฏิกิริยาเอสเทอโรพิเคชันของกรดออกซิลิก และทรานส์เอสเทอโรพิเคชันของแอลกอฮอล์ ซึ่งจะให้ผลได้ของเอทิวอะซีเตท (Ethyl acetate) และเอทิฟอร์เมท (Ethyl formate) ในปริมาณสูง

Dehkhoda และคณะ [26] นำถ่านที่ได้จากการไฟโรไลซิสของไม้เนื้อแข็งและไม้เนื้ออ่อนมาเป็นตัวรองรับในการสังเคราะห์ตัวเร่งปฏิกิริยาซัลฟอนเตโดยใช้กรดซัลฟิวริกเข้มข้น และกรดพูมมิงซัลฟิวริก

(Fuming Sulfuric acid) ใน การเร่งปฏิกิริยา เอสเทอโรฟิเคนัน และ ทราวน์ส์ เอสเทอโรฟิเคนัน ของน้ำมันคานาลา (Canola oil) พบว่า ตัวเร่งปฏิกิริยาที่ เตรียมจากกรดฟูมมิงชัลฟิวริก จะ เร่งปฏิกิริยา ทราวน์ส์ เอสเทอโรฟิเคนัน ได้ดีกว่า ตัวเร่งปฏิกิริยาที่ มีพื้นที่ผิวสูง จะ เร่งปฏิกิริยา ทราวน์ส์ เอสเทอโรฟิเคนัน ได้ดีกว่า

Shu et al. [27] ตัวเร่งปฏิกิริยา かるบอน เตรียมขึ้น จากปฏิกิริยา ชัลฟอน ขัน ของน้ำมันพีชขัน หนี่ยว ที่ ผ่านการทำให้เป็นถ่าน かるบอน ซ์ ตัวเร่งปฏิกิริยานี้ ใช้ เร่งปฏิกิริยา พร้อมกัน ทั้ง ปฏิกิริยา เอสเทอโรฟิเคนัน และ ทราวน์ส์ เอสเทอโรฟิเคนัน เพื่อ สังเคราะห์ ใบ ใบ โอเด แซล เมื่อ ใช้น้ำมันพีช ใช้แล้ว ที่ มี ปริมาณ กรดไขมัน อิสระ มาก เป็น วัตถุ ดีบ ลักษณะ สมบัติ ทาง กายภาพ และ ทาง เคมี ของ ตัวเร่งปฏิกิริยานี้ ตรวจสอบ ได้ จาก หล่าย วิธี ไฮ กลี เชอ ไร ด์ และ กรดไขมัน อิสระ ที่เปลี่ยน แปลง ได้ สูง สุด ถึง 80.5% โดย น้ำหนัก และ 94.8% โดย น้ำหนัก หลัง จาก 4.5 ชั่วโมง ที่ อุณหภูมิ 220°C เมื่อ ใช้อัตรา ส่วน เชิง โมล ของ เมทานอล ต่อน้ำมัน เท่า กับ 16.8:1 และ ใช้ ตัวเร่งปฏิกิริยา ต่อน้ำมัน 0.2% โดย น้ำหนัก ความ ว่อง ไว ของ การ เร่งปฏิกิริยา สูง และ ความ เสีย หาย ของ ตัวเร่งปฏิกิริยา เกี่ยว ข้อง กับ ความ หนา แน่น ของ บริเวณ กรด ถูง (-OH บรรลุ สนเตด บริเวณ กรด) ส่วน ที่ ไม่ ขอบ น้ำขัด วาง ไม่ ให้ เกิด การ ไฮ ดรอ ชัน ของ รูป แบบ -OH กลุ่ม พัง กัน ที่ ขอบ น้ำ (-SO₃H) สง ผล ให้ เมทานอล เข้าไป ทำปฏิกิริยา กับ ไฮ กลี เชอ ไร ด์ และ กรดไขมัน อิสระ ปริมาณ มาก ได้ดี และ ความ กว้าง ของ รูพรุน ทำ ให้ บริเวณ กรด ถูง สำหรับ การ ตอบสนอง



บทที่ 3

วิธีการวิจัย

การดำเนินการวิจัยของการสังเคราะห์ตัวเร่งปฏิกิริยาตัวเร่งปฏิกิริยาซัลโฟเนตบนตัวรองรับถ่านกัมมันต์จากยากาแฟ (AC-CR-SO₃H) แบ่งได้เป็น 3 ขั้นตอน คือ (1) การสังเคราะห์ตัวรองรับถ่านกัมมันต์จากยากาแฟ (AC-CR) วิเคราะห์สมบัติทางกายภาพของ AC-CR (2) นำ AC-CR ที่สังเคราะห์ได้มาทำปฏิกิริยาซัลโฟเนชัน (Sulfonation) เพื่อเพิ่มหมุ่ฟังก์ชันซัลโฟเนต (SO₃H-) ซึ่งมีฤทธิ์เป็นกรดลงใน AC-CR เพื่อใช้เป็นตัวเร่งปฏิกิริยาไวรอนพันธุ์ซัลโฟเนตบนตัวรองรับถ่านกัมมันต์จากยากาแฟ (AC-CR-SO₃H) พร้อมวิเคราะห์สมบัติทางกายภาพและเคมี AC-CR-SO₃H และ (3) ศึกษาความว่องไวของตัวเร่งปฏิกิริยา AC-CR-SO₃H ในการเร่งปฏิกิริยาเอสเทอเรติก (Caprylic acid, HCp) ซึ่งมีรายละเอียดของวัสดุ อุปกรณ์ และวิธีการทดลองดังนี้

3.1 วัสดุและอุปกรณ์

3.1.1 สารเคมี (Chemicals)

3.1.1.1 เมทานอล (Methanol, MeOH, 99.8%) บริษัท BDH Chemicals Ltd.

3.1.1.2 กรดคาพริลิก (Caprylic acid, Octanoic acid, HCp, 99%) บริษัท Sigma-aldrich Ltd.

3.1.1.3 ยากาแฟ

3.1.1.4 กรดซัลฟิวริก (H₂SO₄, 98% โดยน้ำหนัก) บริษัท Ajax Fine Chem Ltd.

3.1.1.5 เมทิลคาพิเรท (Methyl caprylate, MeCp, 99%) บริษัท Sigma-aldrich Ltd.

3.1.1.6 เมทิลวาเรอท (Methyl valerate, MeVal, 99%) บริษัท Sigma-aldrich Ltd

3.1.1.7 ไอโซ-โพร์พานอล (Iso-propanol, HPLC grade) บริษัท Ajax Fine Chem Ltd.

3.1.1.8 น้ำกลั่น

3.1.1.9 ซิงค์คลอไรด์ (ZnCl₂) บริษัท Fisher

3.1.1.10 กรดไฮโดรคลอริก (HCl, 37% โดยน้ำหนัก) บริษัท Fisher Science UK Ltd.

3.1.1.11 แบปรียมคลอไรด์ (BaCl) บริษัท Fisher Science UK Ltd.

3.1.1.12 แก๊สคาร์บօไดออกไซด์ (CO₂, เกรด HP) บริษัทไทยอินดัสเตรียโนแก๊ส จำกัด

3.1.2 เครื่องมือ

3.1.2.1 เครื่องควบแน่น (Condenser)

3.1.2.2 เครื่องทำความร้อน (Heater)

3.1.2.3 เครื่องซั่งละเอียดทศนิยม 4 ตำแหน่ง (Balance) (ยี่ห้อ Pioneer รุ่น Ohaus)

3.1.2.4 เทอร์โมมิเตอร์ (Thermometer)

3.1.2.5 อ่างน้ำมัน (Oil bath)

3.1.2.6 เครื่องคนแม่เหล็ก (Magnetic stirrer)

3.1.2.7 เข็มดูดสาร (Syringe sample)

3.1.2.8 เครื่องแก้ว

- ขวดสามคอ (Three necks bottom flask)

- บีกเกอร์ (Beaker) ขนาด 50 และ 100 mL

- ขวดแก้วเล็ก (Vial)

- ถ้วยเผาสาร (Crucible)

- ขวดปรับปริมาตร (Volumetric flask) ขนาด 5 mL

3.1.2.9 เครื่องแก๊สโครมาโทกราฟ (Gas chromatograph) ยี่ห้อ CARLO ERBA

Instrument รุ่น GC-8000

3.1.2.10 อุปกรณ์อื่นๆ

- ช้อนตักสาร (Spoon)

- หลอดหยด (Dropper)

3.1.2.11 ชุดอุปกรณ์เหวี่ยงแยกของแข็ง (Centrifuge) (ยี่ห้อ Cole Parmer รุ่น C1201-230V/DW41-230)

3.1.2.12 เตาเผาทรงกระบอกที่มีอุปกรณ์ควบคุมอุณหภูมิ (Cylindrical furnace with temperature control)

3.2 วิธีการทดลอง

ทดลองสังเคราะห์ตัวเร่งปฏิกิริยา AC-CR-SO₃H ใบโอดีเซลผ่านปฏิกิริยาทรานส์เอสเทอเรติกซันของไทรกลีเซอไรด์โดยใช้ตัวเร่งปฏิกิริยา WZ แบบขันตอนเดียวในเครื่องปั๊มแบบกึ่งกะ โดยมีรายละเอียดดังนี้

3.2.1 สังเคราะห์ถ่านกัมมันต์ที่ใช้เป็นตัวรองรับ โดยมีขั้นตอนดังนี้

3.2.1.1 เครื่องควบแน่น (Condenser)

3.2.1.2 อบากากาแฟที่อุณหภูมิ 110°C นาน 24 ชั่วโมง

3.2.1.3 ใช้ ZnCl_2 เป็นสารกระตุ้น โดยผสมกับกาแฟในอัตราส่วน กาแฟ : ZnCl_2 เท่ากับ 1 : 3 โดยน้ำหนัก

3.2.1.4 นำไปเผาบนเซ็น ในบรรยากาศของแก๊ส CO_2 และควบคุมอุณหภูมิที่ 600°C นาน 4 ชั่วโมง

3.2.1.5 นำไปเชื่อม HCl นาน 1 ชั่วโมง และล้างด้วยน้ำกลั่นอุณหภูมิประมาณ 80°C จนมีค่า pH ประมาณ 7 ตรวจสอบโดยอ่อนของคลอรีนที่เหลือด้วยสารละลาย BaCl_2

3.2.1.6 นำไปอบที่อุณหภูมิ 110°C นาน 24 ชั่วโมง

3.2.1.7 เก็บตัวรองรับที่สังเคราะห์ได้ในโถดูดความชื้น (Desicator)

3.2.2 สังเคราะห์ตัวเร่งปฏิกิริยาซัลฟอนเตบันถ่านกัมมันต์ที่ได้จากการกาแฟ (AC-CR-SO₃H) โดยใช้ปฏิกิริยาซัลฟอนेशัน (Sulfonation reaction) โดยมีขั้นตอนดังนี้

3.2.2.1 นำถ่านกัมมันต์ที่สังเคราะห์ได้ผสมกับกรด H_2SO_4 เข้มข้น ในอัตราส่วน 1 g ต่อ 20 mL ใส่ใน Teflon autoclave

3.2.2.2 นำไปให้ความร้อนที่อุณหภูมิต่างๆ ดังนี้ $140, 160, 180$ และ 200°C นาน 18 ชั่วโมง ทึ้งให้เย็นที่อุณหภูมิห้อง จะได้ตัวเร่งปฏิกิริยาซัลฟอนเตบันถ่านกัมมันต์ที่อุณหภูมิต่างๆ ดังนี้ AC-CR-SO₃H-140°C, AC-CR-SO₃H-160°C, AC-CR-SO₃H-180°C และ AC-CR-SO₃H-200°C

3.2.2.3 แยกตัวเร่งปฏิกิริยาที่สังเคราะห์ได้โดยการกรอง และล้างตัวยันน้ำอ่อนอุณหภูมิประมาณ 80°C เพื่อกำจัดไออกอนของซัลเฟตที่เหลืออยู่

3.2.2.4 อบแห้งที่อุณหภูมิ 110°C เป็นเวลา 24 ชั่วโมง

3.2.2.5 เก็บตัวเร่งปฏิกิริยาซัลฟอนเตบันถ่านกัมมันต์ที่สังเคราะห์ได้ในโถดูดความชื้น (Desicator)

3.2.3 ศึกษาคุณลักษณะของตัวเร่งปฏิกิริยาและตัวรองรับที่สังเคราะห์ได้โดยใช้

3.2.3.1 ตรวจสอบความเป็นผลึกของตัวเร่งปฏิกิริยาโดยใช้เทคนิค X-ray diffraction (XRD)

3.2.3.2 หาองค์ประกอบของตัวเร่งปฏิกิริยาโดยใช้เทคนิค CHNS analysis

3.2.3.3 ตรวจสอบหมุนพิงค์ชัลฟอนิกโดยใช้เทคนิค Fourier transform infrared spectroscopy (FT-IR)

3.2.3.4 หาพื้นที่ผิว พื้นที่ผิว ขนาดของรูพรุน และการกระจายของขนาดรูพรุน โดยใช้เทคนิคการดูดซับแก๊ส ในไตรเจน (N_2 adsorption)

3.2.3.5 เทคนิค Ion-Exchange titration เพื่อหาความเป็นกรดของตัวเร่งปฏิกิริยา

3.2.3.6 ตรวจสอบลักษณะพื้นผิวของตัวเร่งปฏิกิริยาโดยใช้เทคนิค Scanning Electron Microscopy (SEM)

3.2.4 ทดสอบความว่องไวในการเร่งปฏิกิริยาเอสเทอราฟิเคลชันของตัวเร่งปฏิกิริยา AC-CR-SO₃H ที่สังเคราะห์ได้ โดยมีขั้นตอนดังนี้

3.2.4.1 ติดตั้งอุปกรณ์สำหรับการเร่งปฏิกิริยาเอสเทอราฟิเคลชันโดยใช้สารตั้งต้นเป็นกรดคาพริลิกและเมทานอล โดยใช้เครื่องปฏิกิริณแบบ ก ที่อุณหภูมิ 60°C เพื่อให้สารตั้งต้นทั้งหมดอยู่ในวัฏภาชนะของเหลว ที่ความดันบรรยากาศ (เนื่องจากไม่มีเครื่องปฏิกิริณชนิดความดันสูงและอุณหภูมิสูง)

3.2.4.2 เติมกรดคาพริลิกและเมทานอลในอัตราส่วนเชิงโมล 1 : 3 แล้วรอให้อุณหภูมิถึง 60°C ใส่ตัวเร่งปฏิกิริยา AC-CR-SO₃H-140°C จันเวลาในการเกิดปฏิกิริยา

3.2.4.3 เก็บตัวอย่างสารทำปฏิกิริยาที่เวลาต่างๆ ดังนี้ 0, 5, 15, 30, 60 และ 120 นาที เพื่อศึกษาความว่องไวในการเร่งปฏิกิริยา เช่น ค่าการเปลี่ยนของกรดคาพริลิก (% Caprylic acid conversion) และผลได้ของเมทิลคาพริเลต (% Methyl caprylate yield) ที่เปลี่ยนแปลงตามเวลา

3.2.4.4 เปลี่ยนตัวเร่งปฏิกิริยาเป็น AC-CR-SO₃H-160°C, AC-CR-SO₃H-180°C และ AC-CR-SO₃H-200°C และทดสอบความว่องไวตามขั้นตอน 3.2.4.3

3.2.4.5 เปรียบเทียบค่าการเปลี่ยนของกรดคาพริลิก (% Caprylic acid conversion) และ มือตราชารัตน์เวียนเริ่มต้น (Initial Turn over frequency, Initial TOF) กับตัวเร่งปฏิกิริยากรดซัลฟิวริก และ Amberlyst-15 ซึ่งเป็นตัวเร่งปฏิกิริยากรดที่ใช้ทั่วไปในปฏิกิริยาเอสเทอราฟิเคลชันที่ภาวะการเกิดปฏิกิริยาเดียวกัน

3.2.4.6 วิเคราะห์ปริมาณใบโอดีเซลที่ได้จากข้อ 3.2.4.4-3.2.4.5 ด้วยเครื่องแก๊สโครมา-โทกราฟโดยผลได้ของ MeCp (%) และค่าการเปลี่ยนของ HCp (%) สามารถคำนวณได้จากภาคผนวก ก โดยมีขั้นตอนการเตรียมดังนี้

3.2.4.7 ดูดสารตัวอย่างที่เวลาต่างๆ ใส่ในไมโครทิวบ์ปริมาตร 150 μL เติม 2-propanol ลงในไมโครทิวบ์ปริมาณ 400 μL นำไปแยกตัวเร่งปฏิกิริยา WZ ออกจากสารทำปฏิกิริยาโดยใช้เครื่องเหวี่ยงแยก

3.2.4.8 นำสารละลายส่วนใสปริมาตร 50 μL ผสมกับสารเมทิลวารีเอท (Methylvareate) ซึ่งเป็นสาร internal standard ปริมาตร 150 μL ใส่ในขวดปรับปริมาตรขนาด 5 mL แล้วเติมไฮโดรเจนออกไซด์เป็นตัวทำละลายปรับปริมาตรให้ได้ 5 mL จากนั้นฉีดสารตัวอย่างเข้าเครื่อง GC ปริมาณ 1 μL วิเคราะห์ปริมาณใบໂອดีเซลที่ได้เทียบกับกราฟของสารละลายมาตรฐาน

3.2.4.9 ตั้งค่าการใช้งานเครื่อง GC โดยใช้ Capillary column รุ่น DB-5 จากบริษัท Agilent Technologies Inc ขนาด 0.25 mm ยาว 30 m ซึ่งใช้ Dimethylpolysiloxane หนา 0.25 μm เป็นวัสดุภาชนะ (Stationary phase) โดยใช้ดีเทกเตอร์ชนิด FID โดยภาวะในการวิเคราะห์สำหรับการหาปริมาณใบໂອดีเซล มีดังนี้

Make Up Gas (He) Pressure	100 kPa
Hydrogen Pressure (for FID)	40 kPa
Air Pressure (for FID)	105 kPa
Detector Temperature (FID)	280°C
Split Ratio	2.4
Injection Part Temperature	250°C
Inject Volume	1 μL
Column Initial Temperature	40°C
Ramp Rate	เพิ่มอุณหภูมิ 10 °C / นาที
Zone 1	อุณหภูมิ 40 °C นาน 3 นาที
Zone 2	อุณหภูมิ 180 °C นาน 3 นาที
Zone 3	อุณหภูมิ 290 °C นาน 13นาที
Column Final Temperature	290°C

3.2.4.10 เตรียมสารละลายมาตรฐานดังนี้ ไฮคาพลีน ไดคาพลีน มอนคาพลีน กรดคาพริลิก กลีเซอรอล และเมทิลคาพิเลท (ใบໂອดีเซล) ที่ความเข้มข้นต่างๆ โดยละลายในไฮโดรเจนออกไซด์เป็นตัวทำละลายปรับปริมาตรให้ได้ 5 mL จากนั้นนำพื้นที่พิ ก และความเข้มข้นมาเขียนกราฟมาตรฐาน (Calibration curve) เพื่อใช้หาปริมาณใบໂອดีเซล

3.2.4.11 การวิเคราะห์ปริมาณใบโอดีเซลทราบได้โดยเปรียบเทียบเวลาและพื้นที่ตั้กราฟของสารแต่ละชนิดในสารทำปฏิกริยากับสารมาตรฐาน โดยหาปริมาณใบโอดีเซลจากการนำพื้นที่ตั้กราฟที่ได้จากการประมวลผลของเครื่อง GC เทียบกับกราฟมาตรฐานของใบโอดีเซลแต่ละชนิด



บทที่ 4

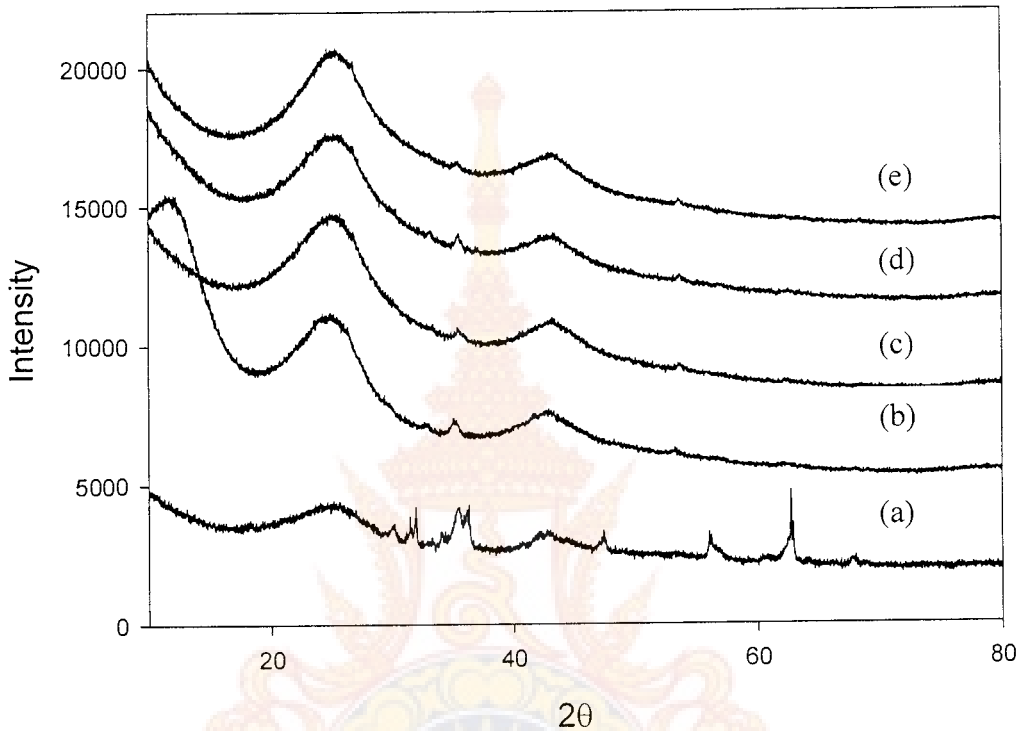
ผลการทดลองและการอภิปรายผล

บทนี้จะกล่าวถึงภาวะที่เหมาะสมในการสังเคราะห์ตัวเร่งปฏิกิริยาชั้ลโฟเนตบนถ่านกัมมันต์จากการกาภาพเพโดยดูจากคุณลักษณะของตัวเร่งปฏิกิริยาที่มีพื้นที่ผิวสูง ขนาดรูพรุนอยู่ในช่วงเมโซโพร์ (Mesopore) ประมาณ 2-50 นาโนเมตร มีความเสถียรที่อุณหภูมิสูง และมีสมบัติไม่ชอบน้ำ นอกจากนี้สิ่งที่สำคัญที่สุดคือมีความเป็นกรดสูง ดังนั้นตัวเร่งปฏิกิริยาชัลโฟเนตบนถ่านกัมมันต์จากการกาภาพที่สังเคราะห์ได้จึงมีการศึกษาคุณลักษณะดังกล่าวด้วยเทคนิคต่างๆ นอกจากนี้ยังศึกษาปริมาณผลได้ของเมทิลคาพริเลฟ (MeCp) และค่าการเปลี่ยนของกรดคาพริลิก (HCp)

4.1 เทคนิคการเลี้ยวเบนของรังสีเอกซ์ (X-ray diffraction technique, XRD)

การตรวจสอบโดยเทคนิค XRD เพื่อศึกษาความเป็นผลึกของตัวรองรับ AC-CR และตัวเร่งปฏิกิริยา AC-CR-SO₃H ที่สังเคราะห์ได้ รูปที่ 1 พบว่ากระบวนการคาร์บอโนไซด์เขียนของตัวรองรับถ่านกัมมันต์ที่อุณหภูมิ 600 °C ทำให้เกิดกระบวนการดึงน้ำออก (Dehydration) และการแตกออกของพันธะของ -C-O-C- ภายในวัสดุคาร์บอน (กาลิกาแฟ) ทำให้เกิดการก่อตัวแบบอสัญฐานของแผ่นโพลิไซคลิกอะโรเมติกคาร์บอน (Polycyclic aromatic carbon sheet) จะเห็นได้จากการ XRD ของถ่านกัมมันต์ (รูปที่ 4.1(a)) มีพีคปาน (Broad peak) C(002) ที่ การเลี้ยวเบนของแสงที่ทำแหน่ง $2\Theta = 15-30^\circ$ และถึงการบันทึกแบบอสัญฐานที่เกิดจากการบิดตัวของแผ่นคาร์บอนอะโรเมติกแบบอิสระ สำหรับการเลี้ยวเบนที่ทำแหน่ง $2\Theta = 40-50^\circ$ และถึงโครงสร้างของกราไฟต์ ในระนาบแกน a ระนาบ C (101) (a axis of the graphite structure C (101)) ซึ่งจะพบเป็นพีคชิ้นเล็กน้อย และดังให้เห็นว่าอุณหภูมิ 600 °C เพียงพอที่จะสามารถทำให้แผ่นคาร์บอนส่วนใหญ่เกิดการคาร์บอโนไซด์เขียนลดคล่องกับงานวิจัยของ Okamura และคณะ [28] ส่วนกราฟการเลี้ยวเบนของตัวเร่งปฏิกิริยาชัลโ芬บนตัวรองรับถ่านกัมมันต์ (AC-CR -SO₃H) ที่อุณหภูมิต่างๆ จะพบว่ามีความสูงของพีคมาก และพีคมีลักษณะแคบโดยเฉพาะที่การเลี้ยวเบนที่ทำแหน่ง $2\Theta = 40-50^\circ$ และดังว่าการทำปฏิกิริยาชัลโ芬ชั้นมีแนวโน้มทำให้ตัวเร่งปฏิกิริยา AC-CR -SO₃H มีความเป็นผลึกสูงชิ้น (Crystal) โดยหมู่ชัลโ芬ेट (SO₃H) จะถูกเติมลงในวงอะโรเมติกของแผ่นคาร์บอน [29] ซึ่งสามารถสรุปได้ว่าตัวเร่งปฏิกิริยาที่สังเคราะห์ได้ มีคาร์บอนเป็นองค์ประกอบแต่คู่กางไธก์ตามจะไม่เห็นพีคที่แสดงถึงโครงสร้างของ -SO₃H อาจเป็นเพราะปริมาณ -SO₃H ที่เกิดขึ้นมี

น้อยมากเมื่อเทียบกับปริมาณคาร์บอนของตัวเร่งปฏิกิริยา หรือมีหมู่ $-SO_3H$ ที่เกิดขึ้นบนตัวเร่งปฏิกิริยา เป็นแบบอสัญฐาน (Amorphous structure)

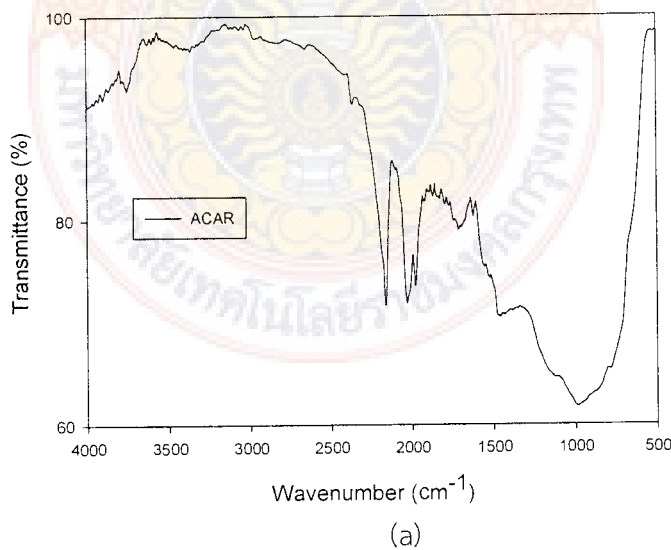


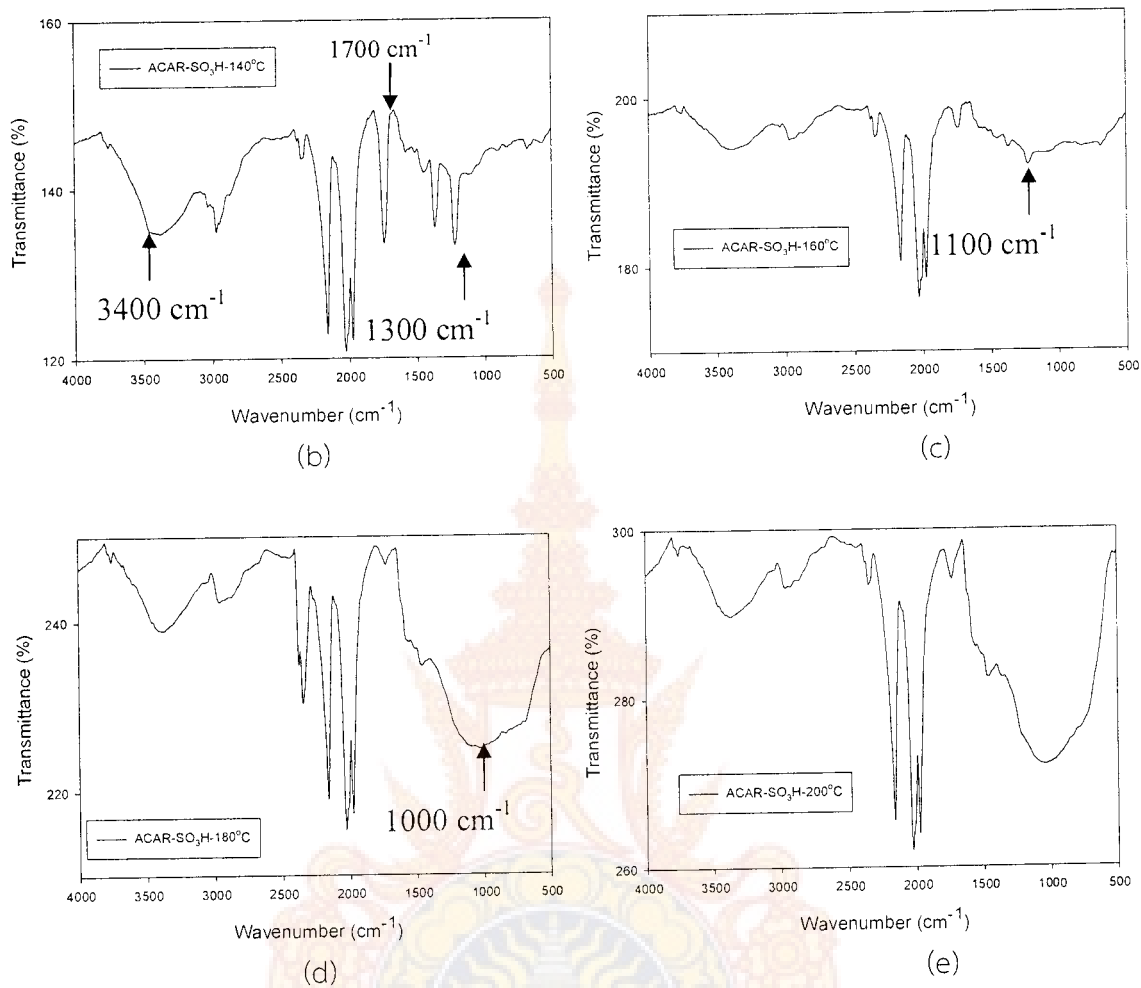
รูปที่ 4.1 รูปแบบการเดี้ยงเบนของรังสีเอกซ์ของตัวรองรับถ่านกัมมันต์จากการกาแฟ (a) ตัวเร่งปฏิกิริยา AC-CR-SO₃H-140°C (b), AC-CR-SO₃H-160°C (c), AC-CR-SO₃H-180°C (d) และ AC-CR-SO₃H-140°C (e)

4.2 เทคนิคฟูเรียร์ทรายสฟอร์มอินฟารेडสเปกตรोสโคปี (Fourier Transform Infrared Spectroscopy, FT-IR)

การตรวจสอบโดยเทคนิค FT-IR เพื่อหาหมู่ฟังก์ชันต่างๆ ของตัวรองรับ AC-CR และตัวเร่งปฏิกิริยา AC-CR-SO₃H ที่สังเคราะห์ได้ พบรากะบวนการcarbon-oxygen เชิงน้ำที่มีลักษณะไม่ชอบน้ำ (Hydrophobic properties) ได้ โดยสังเกตจาก FT-IR สเปกตร้า (รูปที่ 4.2.(a)) จะไม่เห็นพีคที่ความ

ยาวคลื่น 3400 cm^{-1} ซึ่งแทนหมู่ฟังก์ชันไฮดรอออกซิล (O-H) ที่อาจเกิดจากการดูดซับน้ำ สอดคล้องกับงานวิจัยของ Boonamnuayvitaya และคณะ [20] หลังจากทำปฏิกิริยาซัลโ芬েชันกับกรด H_2SO_4 เข้มข้นที่อุณหภูมิต่างๆ ดังนี้ 140°C (รูปที่ 2.b), 160°C (รูปที่ 4.2(c)), 180°C (รูปที่ 4.2(b)) และ 200°C (รูปที่ 4.2(e)) พบว่า ที่ความยาวคลื่นประมาณ 3400 cm^{-1} แทน模式ของ O-H ที่เกิดจาก -COOH และ Phenolic OH ส่วนที่ความยาวคลื่นประมาณ 1700 cm^{-1} แทนหมู่ฟังก์ชัน C=O ของหมู่ -COOH และ ที่ตำแหน่ง 1600 และ 1300 cm^{-1} แทนหมู่ฟังก์ชัน C=C ของวงแหวนพอลิอะโรเมติก ซึ่งจะเห็นได้ชัดเจนสำหรับตัวเร่งปฏิกิริยา AC-CR - SO_3H -140°C สำหรับหมู่ฟังก์ชันซัลโ芬ेच์ตของตัวเร่งปฏิกิริยา AC-CR - SO_3H จะพบที่ตำแหน่งประมาณ 1000 cm^{-1} เป็น O=S=O Symmetric SO₂ Stretching แบบสมมาตร และตำแหน่งที่ 1100 cm^{-1} เป็นการสับของ O=S=O Asymmetric SO₂ Stretching แบบไม่สมมาตร [30] ซึ่งแสดงว่ามีหมู่ฟังก์ชันซัลโ芬ेच์ต (SO_3H) เกิดขึ้นหลังจากทำปฏิกิริยาซัลโ芬์ชันที่ทุกอุณหภูมิ นอกจากนี้ยังพบว่า FT-IR สเปกตรของตัวเร่งปฏิกิริยา AC-CR - SO_3H -160°C, AC-CR - SO_3H -180°C และ AC-CR - SO_3H -200°C ไม่แตกต่าง ยกเว้นตัวเร่งปฏิกิริยา AC-CR - SO_3H -140°C จะเห็นตำแหน่งของหมู่ฟังก์ชันคาร์บอค-ชิลิกและซัลโ芬ेच์ตที่ชัดเจน ซึ่งผลจากการตรวจสอบด้วยเทคนิค FT-IR เป็นการยืนยันว่าตัวเร่งปฏิกิริยาที่สังเคราะห์ได้ทั้งหมดมีหมู่ฟังก์ชันซัลโ芬ेच์ตที่เกิดพันธะกับตัวรองรับ AC-CR อยู่จริง ซึ่งแสดงถึงความเป็นกรดแบบบรอนสเตด (Brønsted acid) จากหมู่ซัลโ芬ेच์ตของตัวเร่งปฏิกิริยาทั้งหมด นอกจากนี้ยังพบว่าตัวเร่งปฏิกิริยาจะมีความเป็นกรดที่เกิดจากหมู่ฟังก์ชันคาร์บอคชิลิกและพิโนลิกอีกด้วย





รูปที่ 4.2 สเปกตราราฟีได้จากการวิเคราะห์ด้วยเทคนิค FT-IR ของตัวรองรับถ่านกัมมันต์จากการ加การ加เฟ (a) ตัวเร่งปฏิกิริยา AC-CR-SO₃H-140°C (b), AC-CR-SO₃H-160°C (c), AC-CR-SO₃H-180°C (d) และ AC-CR-SO₃H-140°C (e)

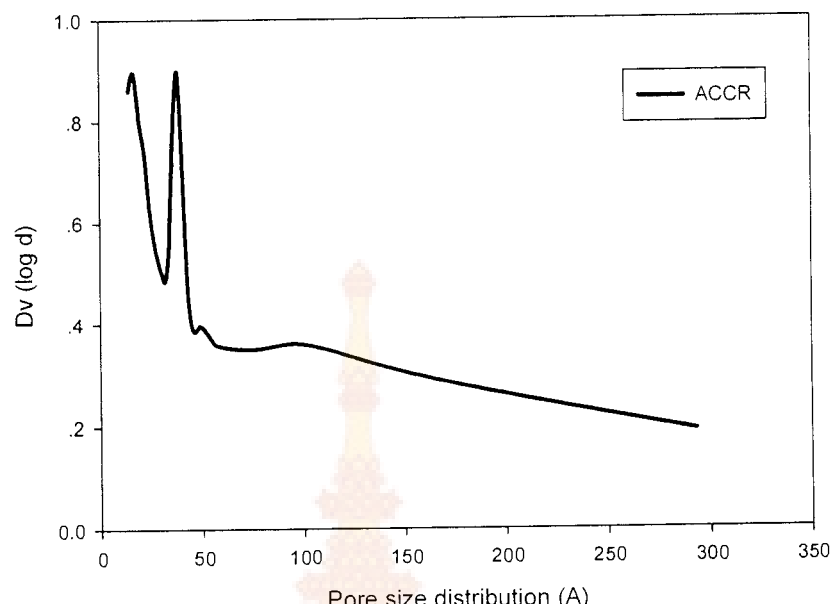
4.3 เทคนิคการดูดซึบทางกายภาพของแก๊สในไตรเจน (N_2 Adsorption)

การตรวจสอบโดยเทคนิคการดูดซึบทางกายภาพของแก๊สในไนโตรเจน เพื่อหาพื้นที่ผิวจำเพาะ (Specific surface area) ปริมาตรรูพรุน (Pore volume) และขนาดรูพรุน (Pore size) ของตัวรองรับ AC-CR และตัวเร่งปฏิกิริยา AC-CR-SO₃H ที่อุณหภูมิต่างๆ แสดงตั้งตารางที่ 4.1 พบว่าตัวรองรับ AC-CR ให้พื้นที่ผิวจำเพาะ 955 m²/g แสดงว่ากระบวนการบอนไซเซ็นภายในชั้นภายนอกได้บรรยายกาศ CO₂ ที่อุณหภูมิ 600 °C โดยใช้ ZnCl₂ เป็นสารกระตันสามารถสังเคราะห์ตัวรองรับ AC-CR ที่มีพื้นที่ผิวสูง และมีรูพรุน

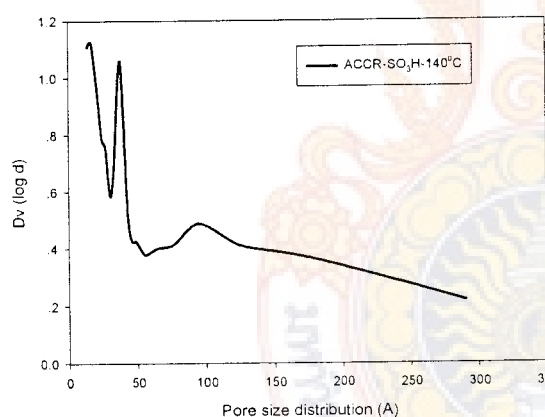
ขนาด 3.4 nm ซึ่งเป็นชนิด Meso-porous material เหมาะสำหรับการเป็นตัวรองรับที่ดีสำหรับปฏิกิริยา การผลิตไบโอดีเซล และเมื่อสังเคราะห์เป็นตัวเร่งปฏิกิริยา AC-CR-SO₃H พบร้าพื้นที่ผิวจำเพาะ ขนาดรูพุน และปริมาตรรูพุนยังไม่คงเปลี่ยนแปลง แสดงว่ากระบวนการคราร์บอนในชั้นของตัวรองรับใช้ อุณหภูมิสูงเพียงพอ (มากกว่า 500 °C) ที่จะเพิ่มจำนวนพันธะ C-C ในคราร์บอนแลกทิก (Carbon lattice) ซึ่งป้องกันการ Collapse ของรูพุนระหว่างกระบวนการเกิดปฏิกิริยาชัลฟ์เฟนชันสอดคล้องกับงานวิจัย ของ Yn และคณะ [31] และ Kitano และคณะ [32] รูปที่ 4.3 (a-e) แสดงการกระจายขนาดรูพุนของตัวรองรับ AC-CR และตัวเร่งปฏิกิริยา AC-CR-SO₃H ที่อุณหภูมิต่างๆ พบร้าส่วนใหญ่จะมีขนาดรูพุนเป็น Meso-porous แต่เมื่อเปรียบเทียบตัวรองรับ AC-CR และตัวเร่งปฏิกิริยา AC-CR-SO₃H พบร้าตัวเร่งปฏิกิริยา AC-CR-SO₃H จะมีขนาดรูพุนที่เป็น Macro-porous ด้วย ซึ่งรูพุนขนาด Macro-porous น่าจะเกิดขึ้นในกระบวนการเกิดปฏิกิริยาชัลฟ์เฟนชัน

ตารางที่ 4.1 สมบัติทางกายภาพของตัวรองรับถ่านกัมมันต์จากกาแฟ (AC-CR) และตัวเร่งปฏิกิริยาชัลฟ์เฟนบนตัวรองรับถ่านกัมมันต์ (AC-CR-SO₃H) ที่อุณหภูมิต่างๆ

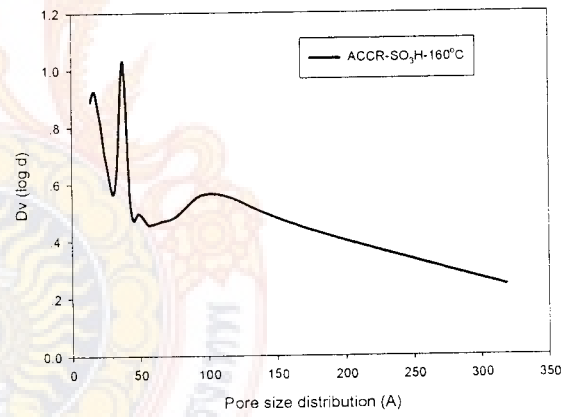
Catalyst	Specific surface area (m ² /g)	Pore size diameter (nm)	Pore volume (cm ³ /g)
AC-CR	955	3.4	0.8315
AC-CR-SO ₃ H-140 °C	1,218	3.35	1.022
AC-CR-SO ₃ H-160 °C	1,065	3.79	1.010
AC-CR-SO ₃ H-180 °C	992	3.64	0.9035
AC-CR-SO ₃ H-200 °C	1,091	3.51	0.9584



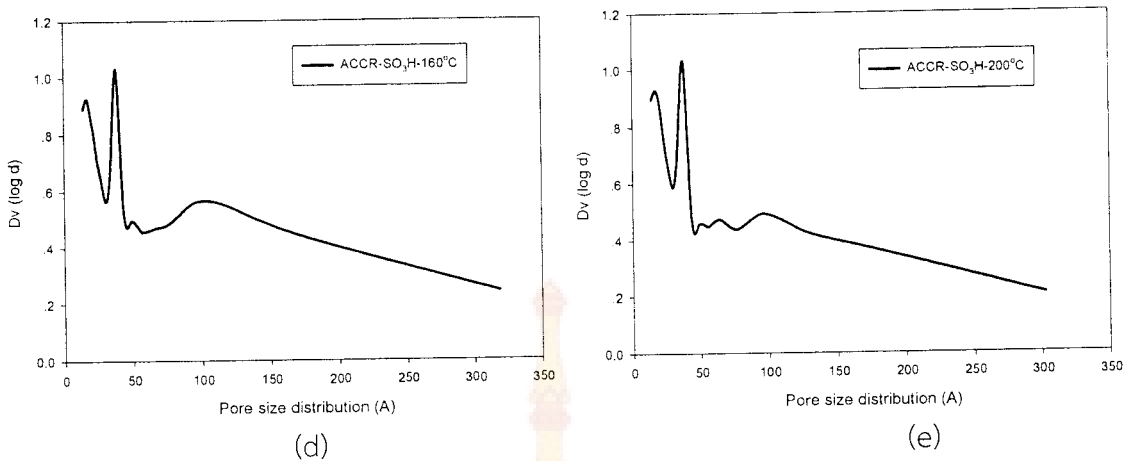
(a)



(b)



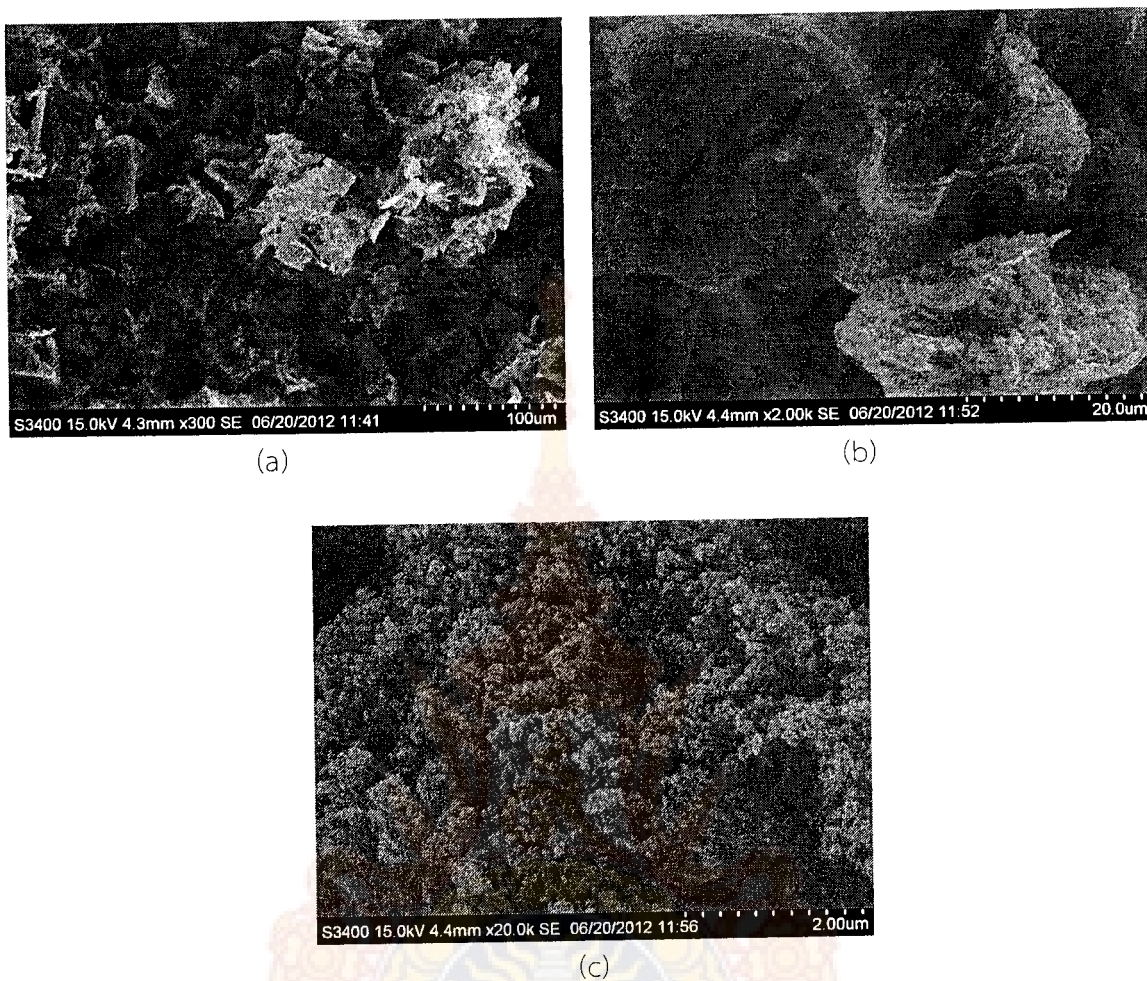
(c)



รูปที่ 4.3 การกระจายขนาดรูพรุนของตัวรองรับถ่านกัมมันต์จากการแก้ไฟ (a) ตัวเร่งปฏิกิริยา AC-CR-SO₃H-140°C (b), AC-CR-SO₃H-160°C (c), AC-CR-SO₃H-180°C (d) และ AC-CR-SO₃H-140°C (e)

4.4 เทคนิคการใช้กล้องจุลทรรศน์อิเล็กตรอนแบบส่องกราด (Scanning electron microscopy, SEM)

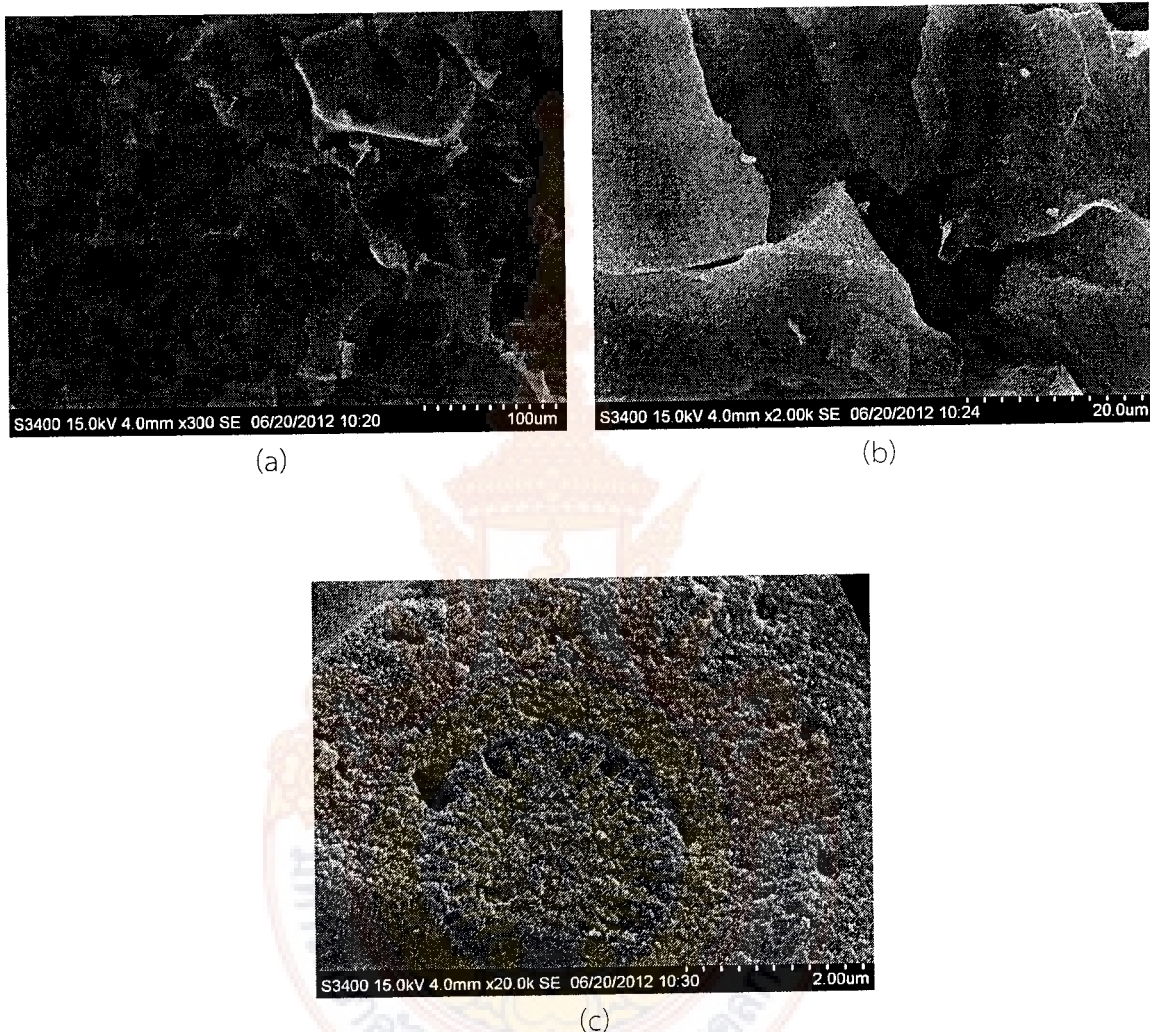
การใช้เทคนิคกล้องจุลทรรศน์อิเล็กตรอนแบบส่องกราด (SEM) เพื่อตรวจสอบลักษณะของพื้นผิว (Morphology) ของอนุภาคและสามารถใช้ประมาณขนาดของอนุภาคตัวรองรับถ่านก้มมันต์และตัวเร่งปฏิกิริยาซัลโ芬ेटบนตัวรองรับถ่านก้มมันต์ได้ ในการวิเคราะห์ SEM จะต้องสุมบริเวณพื้นผิวของตัวรองรับ และตัวเร่งปฏิกิริยาอย่างน้อย 3 จุด เพื่อให้เป็นตัวแทนลักษณะพื้นผิวของตัวรองรับหรือตัวเร่งปฏิกิริยาที่สังเคราะห์ได้จริง



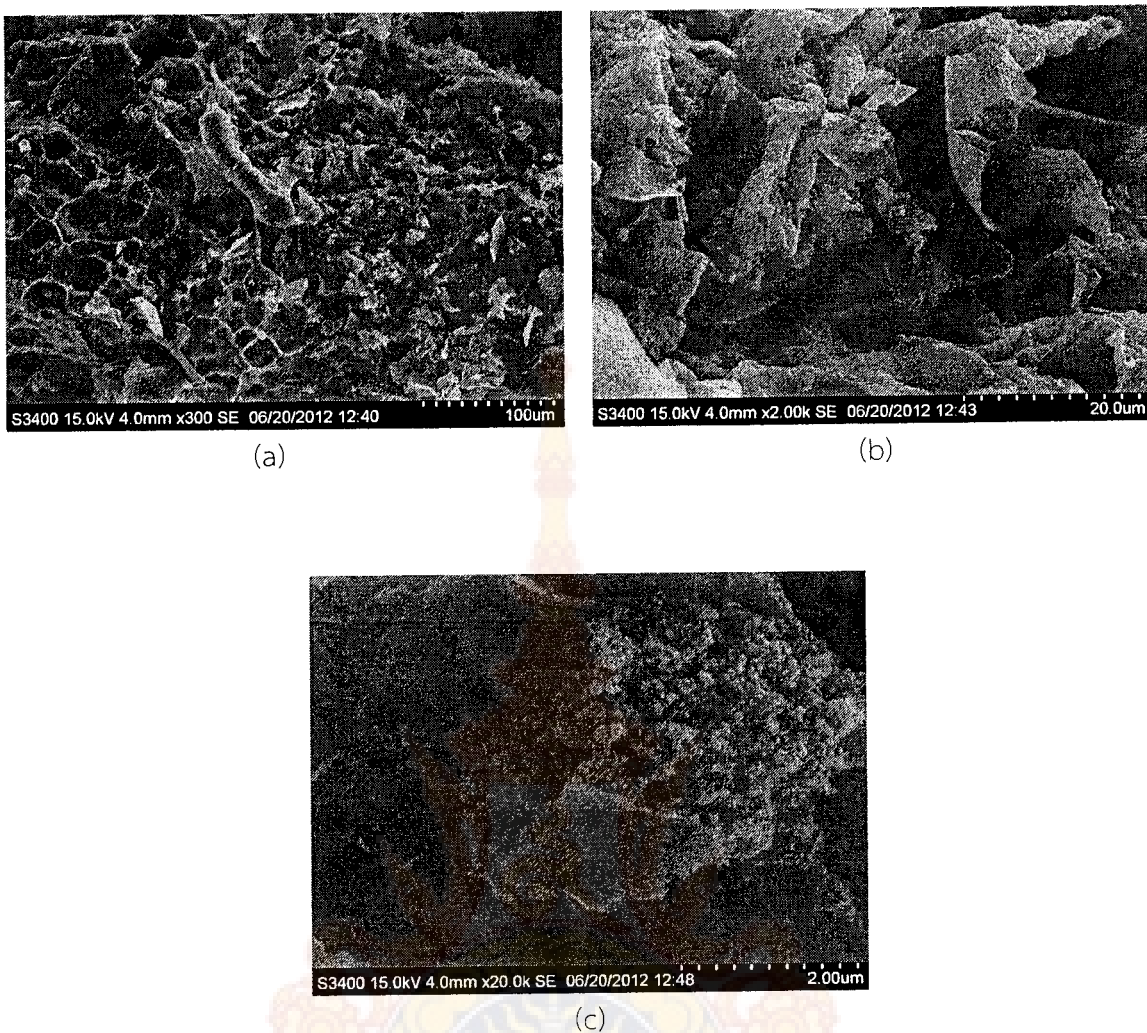
รูปที่ 4.4 ภาพจากการตรวจสอบคุณลักษณะด้วยเทคนิคการใช้กล้องจุลทรรศน์อิเล็กตรอนแบบส่องgrad ของตัวรองรับถ่านกัมมันต์จากการกากแฟ (AC-CR) (a) กำลังขยาย 300 เท่า (b) กำลังขยาย 2,000 เท่า (c) กำลังขยาย 15,000 เท่า ตามลำดับ

รูปที่ 4.4 เป็นภาพจากการตรวจสอบคุณลักษณะด้วยเทคนิคการใช้กล้องจุลทรรศน์อิเล็กตรอนแบบส่องgrad ของตัวรองรับถ่านกัมมันต์จากการกากแฟ (AC-CR) (a) กำลังขยาย 300 เท่า (b) กำลังขยาย 2,000 เท่า (c) กำลังขยาย 15,000 เท่า ตามลำดับ พบร้าตัวรองรับถ่านกัมมันต์กระจายตัวโดยมีขนาดอนุภาคในช่วง 10 – 100 μm โดยขนาดอนุภาคที่ใหญ่อาจเกิดจากการรวมตัวเป็นกลุ่มที่อุณหภูมิสูง (Agglomeration) เมื่อใช้กำลังขยายที่เพิ่มขึ้นประมาณ 15,000 เท่า พบร้าตัวรองรับถ่านกัมมันต์จากการกากแฟมีลักษณะพื้นผิวเป็นรูพรุนสูงเนื่องจากในการสังเคราะห์ถ่านกัมมันต์จากการกากแฟจะใช้การไฟฟ้าiro-

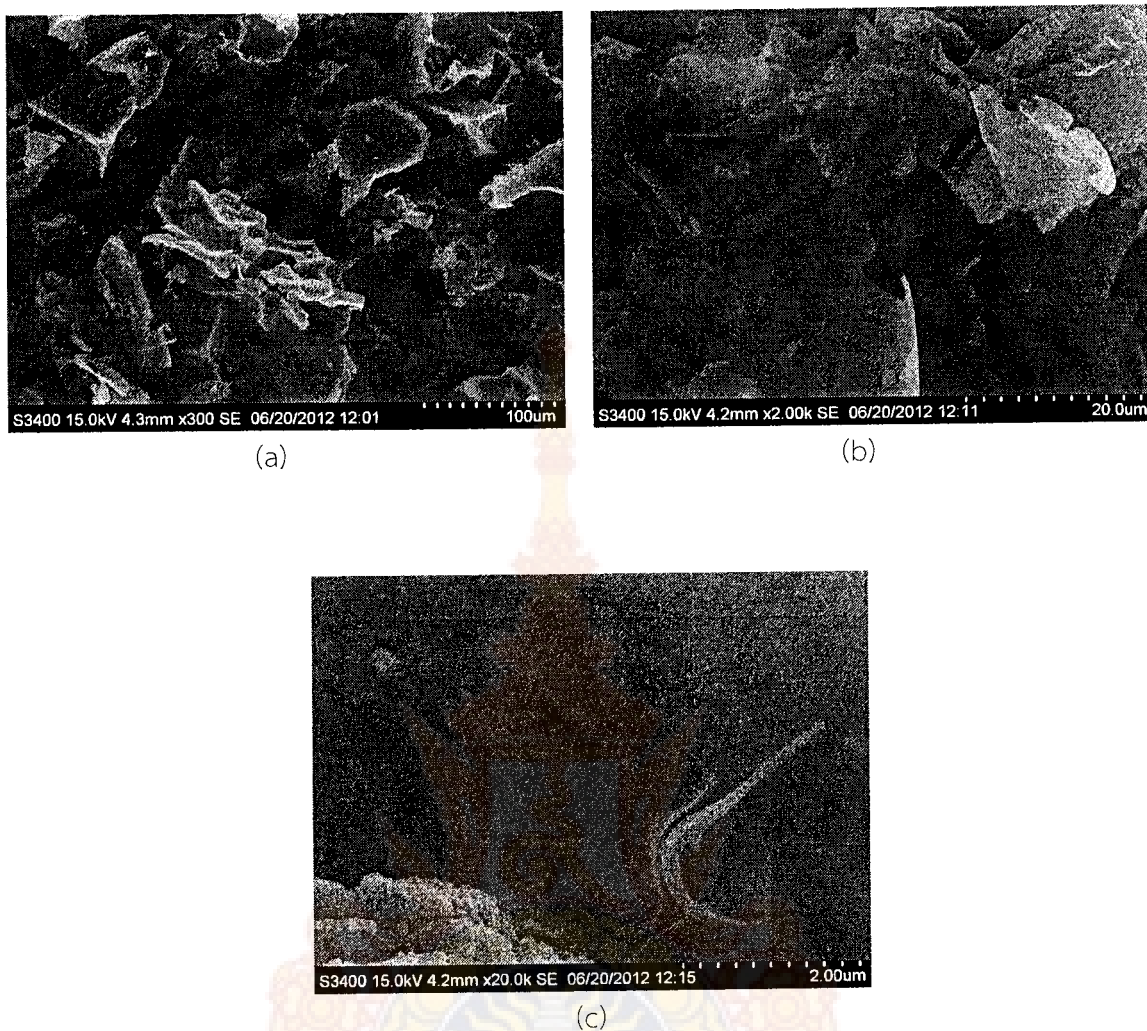
ชิลที่อุณหภูมิ 600°C ในบรรยากาศของแก๊สคาร์บօไดออกไซด์ และผ่านการกรองด้วย ZnCl_2 ซึ่งจะไปทำให้เกิดรูพรุนจำนวนมากบริเวณพื้นผิวของกาากาแฟ ซึ่งสอดคล้องกับการหาขนาดของพื้นที่ผิวของตัวรองรับถ่านกัมมันต์จากการกาากาแฟโดยใช้สมการ BET



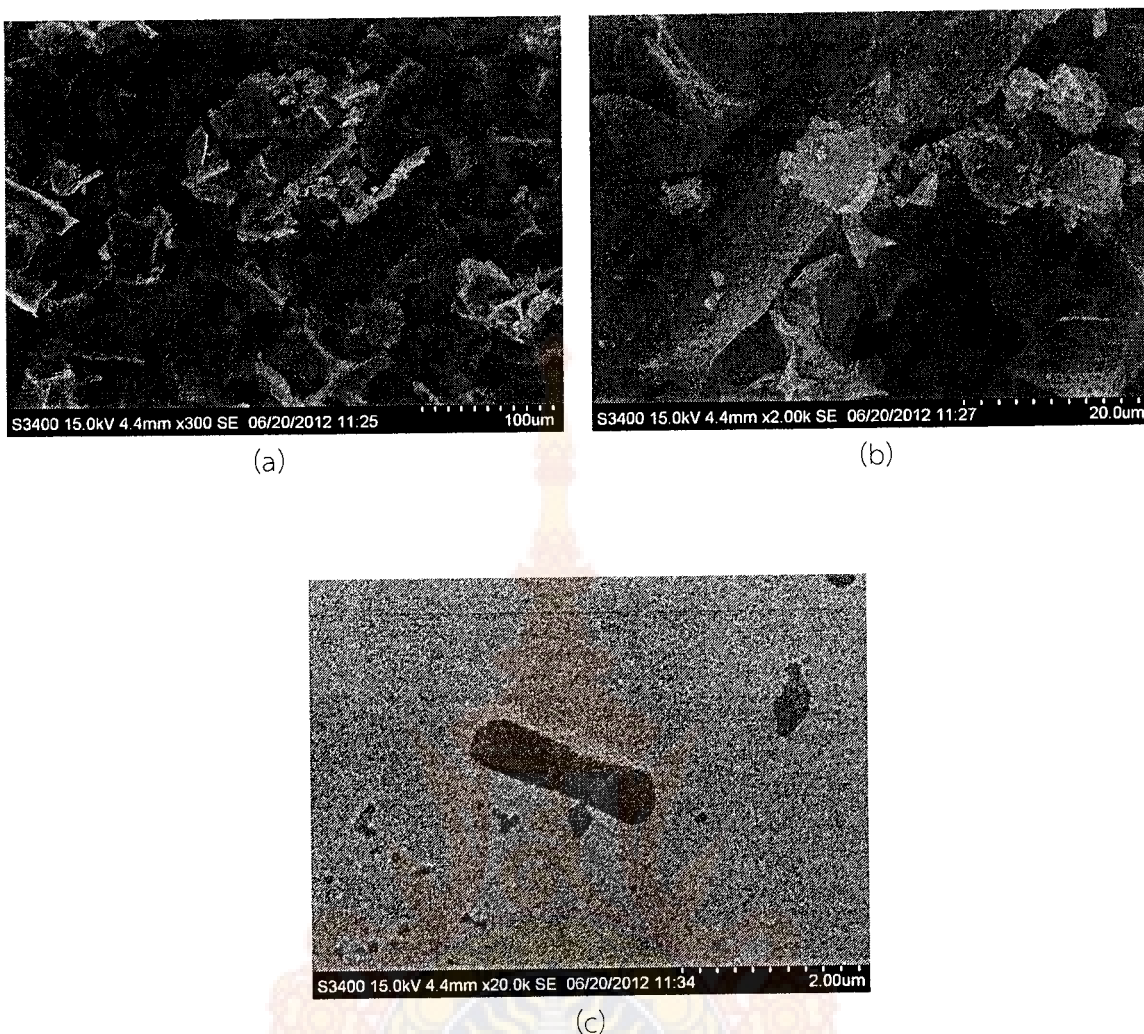
รูปที่ 4.5 ภาพจากการตรวจสอบคุณลักษณะด้วยเทคนิคการใช้กล้องจุลทรรศน์อิเล็กตรอนแบบส่องร้าดของตัวเร่งปฏิกิริยาชัลโ芬เนตบนตัวรองรับถ่านกัมมันต์จากการกาากาแฟที่อุณหภูมิ 140°C ($\text{AC-CR-SO}_3\text{H}-140^{\circ}\text{C}$) (a) กำลังขยาย 300 เท่า (b) กำลังขยาย 2,000 เท่า (c) กำลังขยาย 15,000 เท่า ตามลำดับ



รูปที่ 4.6 ภาพจากการตรวจสอบคุณลักษณะด้วยเทคนิคการใช้กล้องจุลทรรศน์อิเล็กตรอนแบบส่องการดูของตัวเร่งปฏิกิริยาซัลโฟเนตบันตัวรองรับถ่านกัมมันต์จากการแกะพื้นที่อุณหภูมิ 160°C ($\text{AC-CR-SO}_3\text{H}-160^{\circ}\text{C}$) (a) กำลังขยาย 300 เท่า (b) กำลังขยาย 2,000 เท่า (c) กำลังขยาย 15,000 เท่า ตามลำดับ



รูปที่ 4.7 ภาพจากการตรวจสอบคุณลักษณะด้วยเทคนิคการใช้กล้องจุลทรรศน์อิเล็กตรอนแบบส่องกราดของตัวเร่งปฏิกิริยาซัลโ芬บันตัวรองรับก้านก้มมันต์จากการแกะไฟฟ้าอนหภูมิ 180°C ($\text{AC-CR-SO}_3\text{H}-180^{\circ}\text{C}$) (a) กำลังขยาย 300 เท่า (b) กำลังขยาย 2,000 เท่า (c) กำลังขยาย 15,000 เท่า ตามลำดับ



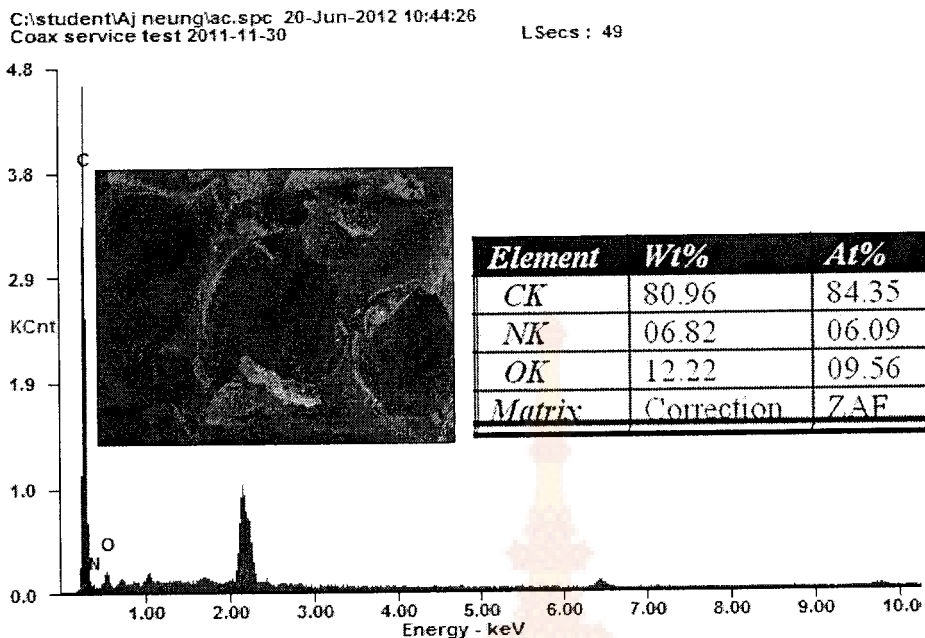
รูปที่ 4.8 ภาพจากการตรวจสอบคุณลักษณะด้วยเทคนิคการใช้กล้องจุลทรรศน์อิเล็กตรอนแบบส่องรากดของตัวเร่งปฏิกิริยาซัลโฟเนตบนตัวรองรับถ่านกัมมันต์จากการกาแฟที่อุณหภูมิ 200°C ($\text{AC-CR-SO}_3\text{H}$ - 200°C) (a) กำลังขยาย 300 เท่า (b) กำลังขยาย 2,000 เท่า (c) กำลังขยาย 15,000 เท่า ตามลำดับ

จากรูป 4.5 ถึง 4.8 เป็นภาพจากการตรวจสอบคุณลักษณะด้วยเทคนิคการใช้กล้องจุลทรรศน์อิเล็กตรอนแบบส่องรากดของตัวเร่งปฏิกิริยาซัลโฟเนตบนตัวรองรับถ่านกัมมันต์จากการกาแฟที่ (a) กำลังขยาย 300 เท่า (b) กำลังขยาย 2,000 เท่า (c) กำลังขยาย 15,000 เท่า สำหรับตัวเร่งปฏิกิริยาที่สังเคราะห์ที่อุณหภูมิ 140°C , 160°C , 180°C และ 200°C ตามลำดับ พบรากดที่มีความแตกต่างกัน ที่อุณหภูมิต่างๆ จะทำให้อนุภาคตัวเร่งปฏิกิริยาหักเหและมีความเป็นผลีกและมีรูพรุนมากขึ้นเมื่อเทียบกับตัวรองรับถ่านกัมมันต์ โดยมีขนาดเฉลี่ยประมาณ $50 - 100 \mu\text{m}$

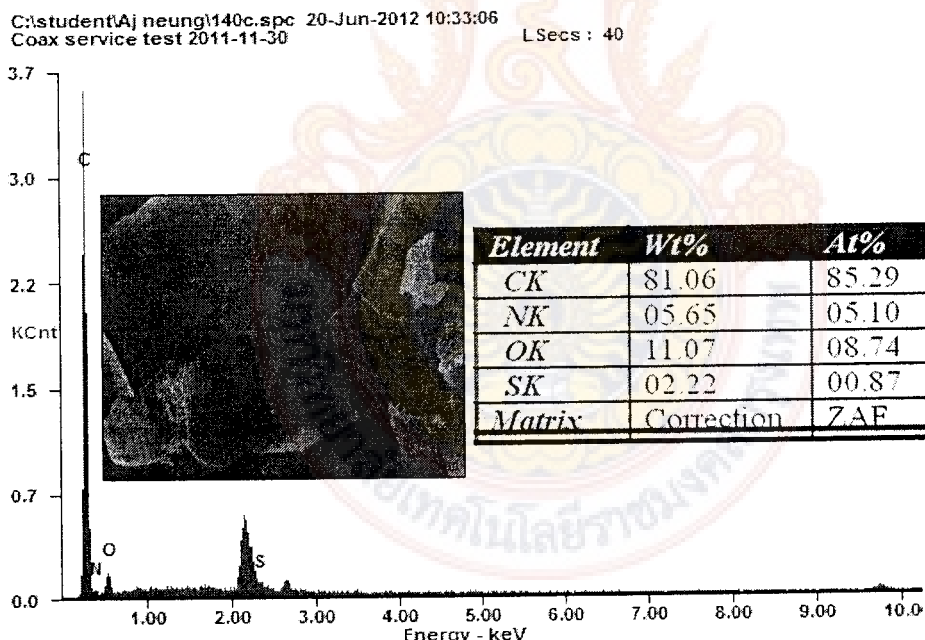
เนื่องจากปฏิกิริยาซัลฟ์เคนชันของกรด H_2SO_4 ทำให้เกิดการเรียงตัวที่เป็นระเบียบของอนุภาคและมีความเป็นรูปรุนมากขึ้น สำหรับผลของอุณหภูมิที่ใช้ในการเกิดปฏิกิริยาระบว่าอุณหภูมิของการเกิดปฏิกิริยาซัลฟ์เคนชันสูงขึ้น มีแนวโน้มจะทำให้อนุภาคของตัวเร่งปฏิกิริยาซัลฟ์เคนบนตัวรองรับถ่านกัมมันต์มีความเป็นผลึกเพิ่มขึ้นจะเห็นเป็นลักษณะแบบแผ่นกราฟีนที่เป็นระเบียบมากขึ้น ซึ่งความเป็นผลึกจะมีแนวโน้มส่วนทางกับความเป็นรูปรุน โดยสังเกตได้จากการพัฒนา SEM ที่กำลังขยาย 15,000 เท่า

4.4.1 เทคนิคการวิเคราะห์รัตุかるบอน ในโตรเจน ออกซิเจน และซัลเฟอร์ โดยใช้เทคนิคสเปกโกรสโคปีกระจายพลังงานโดยใช้รังสีเอกซ์ (Energy dispersive X-ray spectroscopy, EDX)

ปริมาณซัลเฟอร์เป็นปัจจัยหนึ่งที่มีผลต่อความกว้างไวในการเร่งปฏิกิริยาเอสเทอโรฟิเคลชันของกรดไขมันอิสระเนื่องจากซัลเฟอร์เป็นองค์ประกอบของหมู่ซัลฟे�ต (SO_3H) ซึ่งเป็นตำแหน่งที่ว่องไวดังนั้นจึงต้องมีการตรวจสอบปริมาณซัลเฟอร์ของตัวเร่งปฏิกิริยา AC-CR- SO_3H ที่สังเคราะห์ที่อุณหภูมิต่างๆ และศึกษาผลของอุณหภูมิที่มีต่อปริมาณซัลเฟอร์บนตัวเร่งปฏิกิริยาอีกด้วย โดยในงานวิจัยนี้ใช้เทคนิคสเปกโกรสโคปีกระจายพลังงานโดยใช้รังสีเอกซ์ (Energy dispersive X-ray spectroscopy, EDX) เพื่อหาปริมาณธาตุต่างๆ บนพื้นผิวของตัวเร่งปฏิกิริยา AC-CR- SO_3H ประกอบด้วยรัตุかるบอนในโตรเจน ออกซิเจน และซัลเฟอร์

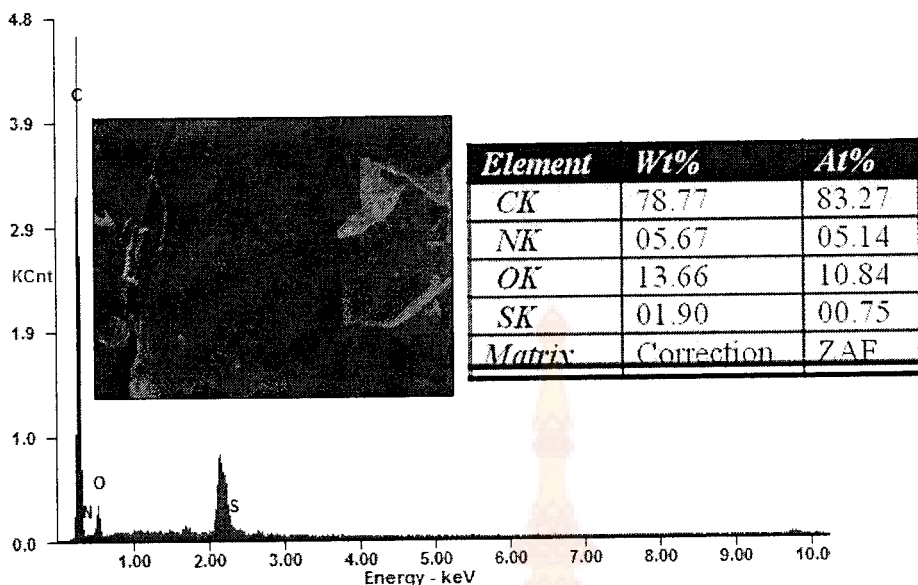


รูปที่ 4.9 ภาพจากการตรวจสอบค์ประกอบของธาตุคาร์บอน ในโตรเจน ออกซิเจน และซัลเฟอร์ด้วย เทคนิคสเปกโตรสโคปีกระจายพลังงานโดยใช้รังสีเอกซ์ของตัวรองรับถ่านกัมมันต์ (AC-CR) กำลังขยาย 5



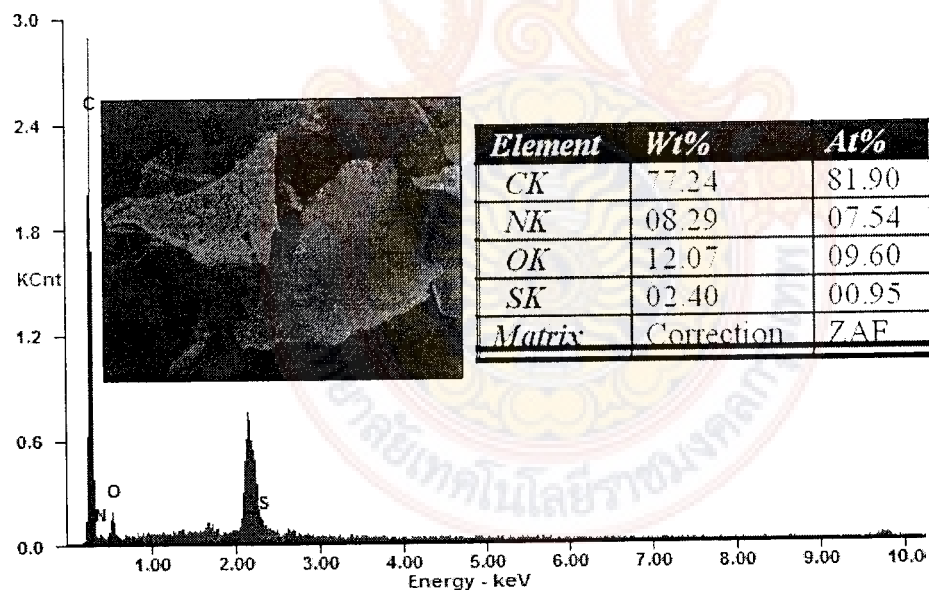
รูปที่ 4.10 ภาพจากการตรวจสอบค์ประกอบของธาตุคาร์บอน ในโตรเจน ออกซิเจน และซัลเฟอร์ด้วย เทคนิคสเปกโตรสโคปีกระจายพลังงานโดยใช้รังสีเอกซ์ของตัวร่างปฏิกิริยาซัลโฟเนตบนตัวรองรับถ่าน กัมมันต์จากกาฟฟ์ที่อุณหภูมิ 140°C (AC-CR-SO₃H-140°C) ที่กำลังขยาย 10 μm

C:\student\Aj neung\160c.spc 20-Jun-2012 10:25:38
Coax service test 2011-11-30 L Secs : 40

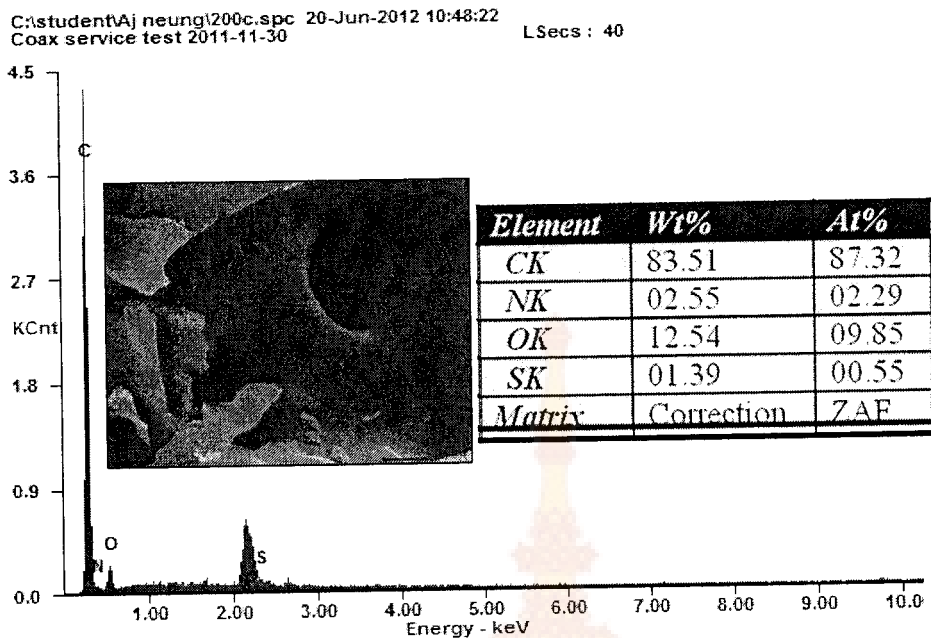


รูปที่ 4.11 ภาพจากการตรวจสอบค์ประกอบของธาตุคาร์บอน ในโทรศัพท์มือถือชั้นเฟอร์ด้วย เทคนิคสเปกโตรสโคปีกระเจรจายพลังงานโดยใช้รังสีเอกซ์ของตัวเร่งปฏิกิริยาชัลฟ์เนตบันตัวรองรับถ่าน กัมมันต์จากกาแกแฟที่อุณหภูมิ 160°C (AC-CR-SO₃H- 160°C) ที่กำลังขยาย $10 \mu\text{m}$

C:\student\Aj neung\180c.spc 20-Jun-2012 10:40:49
Coax service test 2011-11-30 L Secs : 40



รูปที่ 4.12 ภาพจากการตรวจสอบค์ประกอบของธาตุคาร์บอน ในโทรศัพท์มือถือชั้นเฟอร์ด้วย เทคนิคสเปกโตรสโคปีกระเจรจายพลังงานโดยใช้รังสีเอกซ์ของตัวเร่งปฏิกิริยาชัลฟ์เนตบันตัวรองรับถ่าน กัมมันต์จากกาแกแฟที่อุณหภูมิ 180°C (AC-CR-SO₃H- 180°C) ที่กำลังขยาย $10 \mu\text{m}$



รูปที่ 4.13 ภาพจากการตรวจสอบค์ประกอบของธาตุคาร์บอน ในเตเรเจน ออกซิเจน และซัลเฟอร์ด้วยเทคนิคสเปกโตรสโคปีกระจายพลังงานโดยใช้รังสีเอกซ์ของตัวเร่งปฏิกิริยาซัลฟ์เนตบนตัวรองรับถ่านกัมมันต์จากการกาไฟฟ์อุณหภูมิ 200°C (AC-CR-SO₃H- 200°C) ที่กำลังขยาย $10 \mu\text{m}$

จากการตรวจสอบค์ประกอบธาตุโดยใช้แผนภาพของเทคนิคสเปกโตรสโคปีกระจายพลังงานโดยใช้รังสีเอกซ์ (EDX mapping) โดยการวัดค่าที่บริเวณต่างๆ ของตัวรองรับ (รูปที่ 4.9) และตัวเร่งปฏิกิริยา (รูปที่ 4.10–4.13) พบว่ามีปริมาณของค์ประกอบธาตุคาร์บอน ในเตเรเจน ออกซิเจน และซัลเฟอร์เปลี่ยนไปเล็กน้อยเท่านั้น (น้อยกว่า 0.1%) แสดงว่าตัวรองรับและตัวเร่งปฏิกิริยาที่สังเคราะห์ได้มีความเป็นเนื้อเดียวกันมาก (Homogeneous composition) โดยจุดที่มีการวิเคราะห์ข้างในจากวิธี ZAF ($Z=\text{atomic weight}$, $A=\text{adsorption}$ และ $F=\text{fluorescence}$)

4.4.2 เทคนิคการแลกเปลี่ยนประจุโดยการไทเทรต (Ion Exchange Titration)

เป็นเทคนิคที่ใช้หาปริมาณของกรดหรือความหนาแน่นกรดรวม (Total acid site density) โดยนำตัวเร่งปฏิกิริยากรดของแข็งไปแลกเปลี่ยนประจุกับสารละลายโซเดียมคลอไรด์ ที่รักษาความเข้มข้น

และปริมาตรที่แน่นอน จากนั้นนำสารละลายที่ได้จากการแลกเปลี่ยนประจุมาให้เทรตกับสารละลายโซเดียมไฮดรอกไซด์ที่รู้ความเข้มข้นที่แน่นอน ทำให้ทราบปริมาณกรดของตัวเร่งปฏิกิริยา

ตารางที่ 4.2 ค่าความเป็นกรดของตัวเร่งปฏิกิริยาที่สังเคราะห์ได้

Catalyst	Specific surface area (m^2/g)	SO_3H acid site density (mmol/g cat) ^a	Total acid site density (mmol/g cat) ^b
AC-CR	955	NA	0.003
AC-CR- SO_3H -140°C	1,218	0.66	1.011
AC-CR- SO_3H -160°C	1,065	0.57	0.993
AC-CR- SO_3H -180°C	992	0.72	0.931
AC-CR- SO_3H -200°C	1,091	0.451	0.989
Amberlyst-15 ^c	45	4.6	4.6
H_2SO_4 ^d	-	20.4	20.4

หมาย: ^a calculation based on EDS result

^b Ion exchange titration

^c Xiao-Yan Liu, H. et al. [33]

^d Janaun J. and N. Ellis. [34]

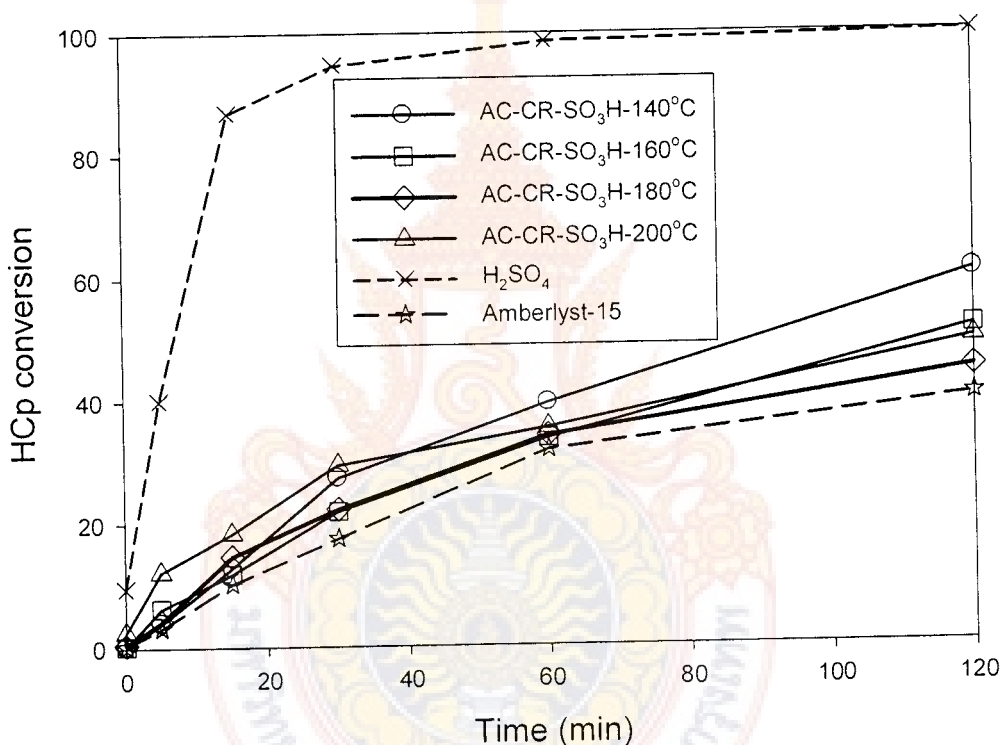
จากตารางที่ 4.2 ค่าความหนาแน่นกรดเฉพาะของหมู่ SO_3H ซึ่งเป็นกรดแบบบอรอนสเตดได้จากการนำตัวรองรับถ่านกัมมันต์ไปทำปฏิกิริยากับกรด H_2SO_4 ที่อุณหภูมิต่างๆ ที่คำนวณได้จากการวิเคราะห์ด้วยเทคนิค SEM-EDS พบร่วมกับตัวเร่งปฏิกิริยา AC-CR- SO_3H -180°C จะให้ค่ามากที่สุดเท่ากับ 0.72 mmol/g.cat แต่อย่างไรก็ตามค่าความหนาแน่นรวมของกรดเฉพาะของตัวเร่งปฏิกิริยา AC-CR- SO_3H -140°C มีค่ามากที่สุดเท่ากับ 1.011 mmol/g.cat เนื่องจากความเป็นกรดของตัวเร่งปฏิกิริยา AC-CR- SO_3H อาจมาจากหมู่ของฟินอลิก (Phenolic -OH) และคาร์บอคไซลิก (Carboxylic -COOH) ที่เกิดพันธะบนตัวเร่งปฏิกิริยาซึ่งสอดคล้องกับงานของ Aldana-Perez และคณะ [29] เมื่อเปรียบเทียบค่าความหนาแน่นกรดของตัวเร่งปฏิกิริยา AC-CR- SO_3H ที่สังเคราะห์ได้จะมีความหนาแน่นกรดร่วมมากกว่า กับตัวเร่งปฏิกิริยาแนวพิโอน อีนาร์ 50 (Nafion NR50) แต่มีความหนาแน่นกรดร่วมน้อยกว่าตัวเร่งปฏิกิริยาจากชั้ลโลเฟเนตจากถ่านกัมมันต์ในงานวิจัยของ Xiao-Yan Liu [33] เนื่องจากความหนาแน่นกรด

เริ่มต้นของตัวรองรับที่ใช้ในงานวิจัยนี้ค่าน้อยกว่าค่าความหนาแน่นกรดของ Xiao-Yan Liu ประมาณ 10 เท่า และเมื่อเปรียบเทียบกับตัวเร่งปฏิกิริยาแอมเบอร์ลิสต์-15 (Amberlyst-15) และกรด H_2SO_4 พบว่า ตัวเร่งปฏิกิริยาที่มีค่าความเป็นกรดน้อยกว่าประมาณ 4 เท่า และ 20 เท่า ตามลำดับ

2.1 ศึกษาความว่องไวในการเร่งปฏิกิริยาเอสเทอโรพิเคลชันของตัวเร่งปฏิกิริยาซัลโฟเนตบนถ่าน กัมมันต์จากกาแกแฟที่สังเคราะห์ได้

ปฏิกิริยาเอสเทอโรพิเคลชันเป็นปฏิกิริยาที่สำคัญปฏิกิริยานี้ในการผลิตใบโอดีเซลจากวัตถุดิบ ที่มีปริมาณกรดไขมันอิสระสูง เป็นปฏิกิริยาที่ใช้ในการเปลี่ยนกรดไขมันอิสระให้เป็นใบโอดีเซล เป็นการ บำบัดน้ำมันหรือไขมันเบื้องต้น ก่อนนำไปทำปฏิกิริยาทรานส์เอสเทอโรพิเคลชันโดยใช้ตัวเร่งปฏิกิริยาเบส ดังนั้นในงานวิจัยนี้จึงศึกษาความว่องไวของตัวเร่งปฏิกิริยา AC-CR-SO₃H ที่สังเคราะห์ที่อุณหภูมิต่างๆ ใน การเร่งปฏิกิริยาเอสเทอโรพิเคลชันของกรดคาพริลิกที่อุณหภูมิ 60°C โดยใช้อัตราส่วนเชิงโมลของกรด คาพริลิกต่อเมทานอลเท่ากับ 1 ต่อ 3 และตัวเร่งปฏิกิริยาของแข็ง 5% โดยน้ำหนักของกรดคาพริลิก จากรูปที่ 4.14 พบว่าตัวเร่งปฏิกิริยา AC-CR-SO₃H-140°C สามารถเร่งปฏิกิริยาเอสเทอโรพิเคลชันของกรด คาพริลิกได้ดีที่สุดเมื่อเทียบกับตัวเร่งปฏิกิริยา AC-CR-SO₃H-160°C, AC-CR-SO₃H-180°C และ AC-CR- SO₃H-200°C โดยให้ค่าการเปลี่ยนของกรดคาพริลิก 60.5% ที่ 2 ชั่วโมง การที่ตัวเร่งปฏิกิริยา AC-CR- SO₃H-140°C สามารถเร่งปฏิกิริยาได้ดีกว่าตัวเร่งปฏิกิริยาที่อุณหภูมิอื่น เนื่องจากตัวเร่งปฏิกิริยา AC-CR- SO₃H-140°C มีพื้นที่ผิวและปริมาตรรูพนูนสูงสุดเท่ากับ $1,218 \text{ m}^2/\text{g}$ และ $1.022 \text{ cm}^3/\text{g}$ ตามลำดับ ซึ่ง แนวโน้มของความว่องไวในการเร่งปฏิกิริยาจะขึ้นอยู่กับพื้นที่ผิวและปริมาตรรูพนูนดังตารางที่ 4.3 แต่ อย่างไรก็ตามปัจจัยที่มีผลต่อการเร่งปฏิกิริยาเอสเทอโรพิเคลชันคือความเป็นกรดของตัวเร่งปฏิกิริยาซึ่งอยู่ ในระหว่างการดำเนินการ และเมื่อเปรียบเทียบความว่องไวในการเร่งปฏิกิริยา กับตัวเร่งปฏิกิริยาที่สังเคราะห์ได้ Amberlyst-15 ซึ่งเป็นตัวเร่งปฏิกิริยาเรซินที่มีหมุนซัลโฟเนตเหมือนกับตัวเร่งปฏิกิริยาที่สังเคราะห์ได้ พบว่าตัวเร่งปฏิกิริยาซัลโฟเนตบนถ่านกัมมันต์ที่สังเคราะห์ทั้งหมด (AC-CR-SO₃H-140°C, AC-CR-SO₃H- 160°C, AC-CR-SO₃H-180°C และ AC-CR-SO₃H-200°C) จะได้ค่าการเปลี่ยนของกรดคาพริลิกที่มากกว่าตัวเร่งปฏิกิริยา Amberlyst-15 แต่เมื่อเปรียบเทียบกับตัวเร่งปฏิกิริยาชนิดออกพันธุ์ (กรด H_2SO_4) จะให้ค่าความว่องไวในการเร่งปฏิกิริยาเอสเทอโรพิเคลชันน้อยกว่าอาจเป็นเพราะตัวเร่งปฏิกิริยากรด H_2SO_4 เป็นตัวเร่งปฏิกิริยาที่มีความหนาแน่นกรดสูงสุด ประมาณ 20.4 mmol H⁺/g และเมื่อเปรียบเทียบความ ว่องไวในการเร่งปฏิกิริยาในรูปของอัตราการเกิดปฏิกิริยาเริ่มต้น (Initial rate of reaction) ซึ่งหาได้จากการเปลี่ยนแปลงความเข้มข้นที่ค่าการเปลี่ยนน้อยกว่า 10% พบว่าตัวเร่งปฏิกิริยาที่สังเคราะห์ให้ค่าอัตรา

การเกิดปฏิกิริยาเริ่มต้นไม่แตกต่างมากนัก (ประมาณ 15%) แต่อย่างไรก็ตามตัวเร่งปฏิกิริยาที่สังเคราะห์จะให้ค่าอัตราการเกิดปฏิกิริยาเริ่มต้นมากกว่าตัวเร่งปฏิกิริยา Amberlyst-15 ประมาณ 30% ผลการทดลองที่ได้สอดคล้องกับงานวิจัยของ Geng และคณะ [35] ที่สังเคราะห์ตัวเร่งปฏิกิริยา Ph-SO₃H บนตัวรองรับคาร์บอนที่มีรูพรุนขนาด Mesopore ทำให้สามารถสรุปได้ว่าตัวเร่งปฏิกิริยาชัลโฟเนตบนถ่านกัมมันต์จากกาแกแฟเป็นตัวเร่งปฏิกิริยาที่เหมาะสมในการใช้เร่งปฏิกิริยาการผลิตไบโอดีเซล (ปฏิกิริยาเอสเทอโรฟิเคลชันของกรดไขมันอิสระและปฏิกิริยาทรานส์เอสเทอโรฟิเคลชันของไตรกลีเซอไรด์)



รูปที่ 4.14 การเปรียบเทียบค่าการเปลี่ยนของกรดคาพริลิกในปฏิกิริยาเอสเทอโรฟิเคลชันที่อุณหภูมิ 60°C ของตัวเร่งปฏิกิริยา AC-CR-SO₃H ที่สังเคราะห์ที่อุณหภูมิต่างๆ กับตัวเร่งปฏิกิริยา Amberlyst-15 และตัวเร่งปฏิกิริยากรด H₂SO₄

ตารางที่ 4.3 เปรียบเทียบความว่องไวในการเร่งปฏิกิริยาของตัวเร่งปฏิกิริยาที่สังเคราะห์ได้

Catalyst	HCp conversion (%) at 2h	Initial rate (mmol/L-min)	Initial rate (mmol/ g.cat-min)	Initial TOF (min ⁻¹)*
AC-CR-SO ₃ H-140°C	60.5	8.50	0.330	0.326
AC-CR-SO ₃ H-160°C	51.6	7.40	0.287	0.289
AC-CR-SO ₃ H-180°C	44.8	9.62	0.373	0.401
AC-CR-SO ₃ H-200°C	49.6	9.99	0.387	0.326
Amberlyst-15	40.3	6.72	0.261	0.0567
H ₂ SO ₄	99.9	50.93	19.77	0.969

บทที่ 5

สรุปผลการวิจัยและข้อเสนอแนะ

ภาวะที่เหมาะสมในการสังเคราะห์ตัวเร่งปฏิกิริยาซัลโฟเนตบันถ่านกัมมันต์จากการกาแฟสามารถสรุปได้ดังนี้

5.1 สรุปผลการวิจัย

5.1.1 ตัวเร่งปฏิกิริยา AC-CR-SO₃H ที่สังเคราะห์ได้มีคุณลักษณะตามเป็นไปตามคุณลักษณะที่ดีของตัวเร่งปฏิกิริยาที่ใช้ในการเร่งปฏิกิริยาการผลิตไบโอดีเซลสำหรับสารตั้งต้นที่มีปริมาณกรดไขมันอิสระสูง คือมีพื้นที่ผิวสูงในช่วง 992 – 1,218 m²/g ขนาดรูพรุนอยู่ในช่วงเมโซโพร์ (Mesopore) ประมาณ 2-50 นาโนเมตร และมีสมบัติไม่ชอบน้ำจากผลการตรวจสอบโดยใช้เทคนิค FT-IR นอกจากนี้สิ่งที่สำคัญที่สุดคือมีความเป็นกรดสูง

5.1.2 สำหรับการนำตัวเร่งปฏิกิริยาไปใช้เร่งปฏิกิริยาเอสเทอโรฟิเดชันของกรดคาพริลิกที่อุณหภูมิ 60°C พบร่วมกับตัวเร่งปฏิกิริยา AC-CR-SO₃H ที่สังเคราะห์ที่อุณหภูมิต่างๆ สามารถเร่งปฏิกิริยาเอสเทอโรฟิเดชันได้ดีกว่ากับตัวเร่งปฏิกิริยาแอมเบอร์ส-15 โดยให้ค่าการเปลี่ยนของกรดคาพริลิกที่ 2 ขั้วโมง ในช่วง 44.8 – 60.5% แต่เมื่อเปรียบเทียบความว่องไวกับการใช้กรด H₂SO₄ เป็นตัวเร่งปฏิกิริยา ตัวเร่งปฏิกิริยา AC-CR-SO₃H ที่สังเคราะห์ได้จะให้ความว่องไว เนื่องจากมีปริมาณความหนาแน่นกรดน้อยกว่าประมาณ 20 เท่า แต่ย่างไรก็ตามการนำตัวเร่งปฏิกิริยานี้ไปใช้เร่งปฏิกิริยาเอสเทอโรฟิเดชันแทนการใช้กรด H₂SO₄ ยังมีข้อได้เปรียบมากกว่าคือสามารถแยกออกจากสารปฏิกิริยาและผลิตภัณฑ์ได้ง่ายโดยไม่ต้องใช้น้ำในปริมาณสูงเพื่อล้างผลิตภัณฑ์

5.2 ข้อเสนอแนะ

5.2.1 ศึกษาการนำตัวเร่งปฏิกิริยา AC-CR-SO₃H กับมาใช้ใหม่ และการเลื่อนสภาพของตัวเร่งปฏิกิริยา AC-CR-SO₃H เพื่อนำไปสู่การพัฒนาเป็นตัวเร่งปฏิกิริยาทดแทน

5.2.2 ศึกษาความว่องไวในการเร่งปฏิกิริยาทรายส์เอสเทอโรฟิเดชันของตัวเร่งปฏิกิริยา AC-CR-SO₃H เพื่อนำไปสู่การพัฒนาในระดับนำร่องต่อไป

บรรณานุกรม

- [1] กระทรวงวิทยาศาสตร์และเทคโนโลยี กรมวิทยาศาสตร์บริการ สำนักหอสมุดและศูนย์สารสนเทศวิทยาศาสตร์และเทคโนโลยี. 2553. “เทคโนโลยีและกระบวนการผลิตบีโอดีเซล” เข้าถึงได้จาก: <http://www.siweb.dss.go.th/repack/fulltext/IR13.pdf>. (วันที่สืบค้น 3 กุมภาพันธ์ 2554)
- [2] Lotero E., J.G. Goodwin Jr., D. Bruce, K. Suwannakarn, Y. Liu and D.E. Lopez. 2006. "The Catalysis of Biodiesel Synthesis" Royal Chemistry Society Publishing. 19: 41-81.
- [3] Lotero E., Y.J. Liu, D.E. Lopez, K. Suwannakarn, D.A. Bruce and J.G. Goodwin Jr. 2005. "Synthesis of biodiesel via acid catalysis" Industrial and Engineering Chemistry Research. 44: 5353-5363.
- [4] Miao X., R. Li and H. Yao. 2009. "Effective acid-catalyzed transesterification for biodiesel production" Energy Conversion and Management. 50(10): 2680-2684.
- [5] Helwani Z., M.R. Othman, N. Aziz, J. Kim and W.J.N. Fernando. 2009. "Solid heterogeneous catalysts for transesterification of triglycerides with methanol: A review" Applied Catalysis A: General. 363(1-2): 1-10.
- [6] Ramos M.J.s., A. Casas, L. Rodrguez, R Romero and A. Perez. 2008. "Transesterification of sunflower oil over zeolites using different metal loading: A case of leaching and agglomeration studies" Applied Catalysis A: General. 346(1-2): 79-85.

- [7] Shu Q., Y. Bolun, Y. Hong, Q. Song and Z. Gangli. 2007. "Synthesis of biodiesel from soybean oil and methanol catalyzed by zeolite beta modified with La³⁺" *Catalysis Communications.* 8(12): 2159-2165.
- [8] Chen X.-R., Y.-H. Ju and C.-Y. Mou. 2007. "Direct Synthesis of Mesoporous Sulfated Silica-Zirconia Catalysts with High Catalytic Activity for Biodiesel via Esterification" *The Journal of Physical Chemistry.* 111(50): 18731-18737.
- [9] Lopez D.E., J.G. Goodwin Jr. and D.A. Bruce. 2007. "Transesterification of triacetin with methanol on Nafion (R) acid resins" *Journal of Catalysis.* 245(2): 381-391.
- [10] Ngaosuwan K., E. Lotero, K. Suwannakarn, J.G. Goodwin Jr. and P. Praserthdam. 2009. "Hydrolysis of Triglycerides Using Solid Acid Catalysts" *Industrial Engineering Chemistry Research.* (48): 4757-4767.
- [11] Suwannakarn K., E. Lotero, K. Ngaosuwan, J.G. Goodwin Jr. 2009. "Simultaneous Free Fatty Acid Esterification and Triglyceride Transesterification Using a Solid Acid Catalyst with in Situ Removal of Water and Unreacted Methanol" *Industrial Engineering Chemistry Research.* (48): 2810-2818.
- [12] Furuta S., H. Matsuhashi and K. Arata. 2004. "Biodiesel fuel production with solid superacid catalysis in fixed bed reactor under atmospheric pressure" *Catalysis Communications.* 5(12): 721-723.
- [13] Suwannakarn K., E. Lotero, J. G. Goodwin Jr. and C. Lu "Stability of sulfated zirconia and the nature of the catalytically active species in the transesterification of triglycerides" *Journal of Catalysis.* 255(2): 279-286.

- [14] Melero J.A., J. Iglesias and G. Morales. 2009. "Heterogeneous acid catalysts for biodiesel production: current status and future challenges" **Green Chemistry.** 11(9): 1285-1308.
- [15] Ngaosuwan K., X. Mo, J. G. Goodwin Jr. and P. Praserthdam. 2010. "Reaction Kinetics and Mechanisms for Hydrolysis and Transesterification of Triglycerides on Tungstated Zirconia" **Topics in Catalysis.** 53(11): 783-794.
- [16] จตุพร วิทยาคุณ และนรรักษ์ กฤษาณรักษ์. 2547. การเร่งปฏิกิริยา : พื้นฐานและการประยุกต์. กรุงเทพฯ: โรงพิมพ์มหาวิทยาลัยธรรมศาสตร์.
- [17] สมชาย อัครทิวา. 2546. ความรู้พื้นฐานทางวิศวกรรมของปฏิกิริยาเชิงเริง. พิมพ์ครั้งที่ 1. กรุงเทพฯ: โรงพิมพ์ทีอป.
- [18] ศิตา เป็ญจพรกุลพงศ์. 2548. การเร่งปฏิกิริยาทรายส์เอสเทอโรฟิเคลชันแบบวิธีพันธุ์ของน้ำมันเมล็ดในปาล์มและน้ำมันมะพร้าว. งานวิจัยวิทยาศาสตรมหาบัณฑิต. คณะวิทยาศาสตร์. จุฬาลงกรณ์มหาวิทยาลัย.
- [19] Gervasio C.G. and F. Shahidi (Ed.). 2005. "Fatty Acids and Derivatives from Coconut Oil" **Bailey's Industrial Oil and Fat Products.** 6th ed (pp.1-56). New York : Wiley-Interscience.
- [20] Boonamnuayvitaya V., C. Chaiya and W. Tanthanapichakoon. 2004. "The Preparation and Characterization of Activated Carbon from Coffee Residue" **Journal of Chemical Engineering of Japan.** 37: 1504-1512.
- [21] Lam M., K. Lee and A. Mohamed. 2010. "Homogeneous, Heterogeneous and Enzymatic catalysis for Transesterification of High Free Fatty Acid Oil (Waste Cooking Oil) to Biodiesel: A Review" **Biotechnology Advances.** (28)4: 500-518.

- [22] Lopez D.E., J.G. Goodwin Jr., D.A. Bruce and E. Lotero. 2005. "Transesterification of Triacetin with Methanol on Solid acid and Base Catalysts" *Applied Catalysis A: General.* (245): 97–105.
- [23] Petchmala A., N. Laosiripojana, B. jongsomjit, M. Goto, J. Panpranot, O. Mekasuwandumrong and A. Shotipruk. 2010. "Transesterification of Plum Oil and Esterification of Plum Fatty acid in Near- and Super-Critical Methanol With $\text{SO}_4\text{-ZrO}_2$ Catalysts" *Fuel.* 89(6): 2387-2392.
- [24] Mo X., D.E. Lopez, K. Suwannakarn, Y. Liu, E. Lotero, J.G. Goodwin Jr. and C. Lu. 2008. "Activation and deactivation characteristics of sulfonated carbon catalysts" *Journal of catalysis.* 254: 332-338
- [25] Iranpoor N., H. firouzabadi and S. Farahi. 2007. "Sulfonated charcoal as a mild and efficient catalyst for esterification and trans-esterification reactions" *Journal of Sulfur Chemistry.* 28: 581-587.
- [26] Dehkhoda M.A. and N. Ellis. 2012. "Biochar-based catalyst for simultaneous reaction of esterification and transesterification" *Catalysis Today.* (In press)
- [27] Shu Q., J. Gao, Z. Nawaz, Y. Liao, D. Wang and J. Wang. 2010. "Synthesis of Biodiesel from Waste Vegetable Oil with Large Amounts of Free Fatty Acid Using a Carbon-Based Solid Acid Catalyst" *Applied Energy.* (87)8: 2589-2596.
- [28] Okamura M., A. Takagaki, M. Toda, J.N. Kondo, K. Domen, T. Tatsumi, M. Hara and S. Hayashi. 2006. "Acid-Catalyzed Reactions on Flexible Polycyclic Aromatic Carbon in Amorphous Carbon" *Chemistry of Materials.* 18: 3039-3045.

- [29] Aldana-Perez A., L. Lartundo-Rojas, R. Gomez and M.E. Nino-Gomez. 2012. "Sulfonic groups anchored on mesoporous carbon Starbons-300 and its use for the esterification of oleic acid" *Fuel*, (100): 128–138
- [30] Mar W.W. and E. Somsook. 2012. "Sulfonic-Functionalized Carbon Catalyst for Esterification of High Free Fatty Acid" *Procedia Engineering*. 32: 212-218.
- [31] Yu J.T., A.M. Dehkhoda and N. Ellis. 2011. "Development of Biochar-based Catalyst for Transesterification of Canola Oil" *Energy & Fuels*. 25: 337-344.
- [32] Kitano M., K. Arai, A. Kodama, T. Kousaka, K. Nakajima, S. Hayashi and M. Hara. 2009. "Preparation of a Sulfonated Porous Carbon Catalyst with High Specific Surface Area" *Catalysis Letters*. 131: 242-249.
- [33] Xiao-Yan L., H. Miao, M. Hai-Long, Z. Zeng-Qiang, G. Jin-Ming, Z. Yu-Lei, H. Xiao-Jin and G. Xiang-Yun. 2010. "Preparation of a Carbon-Based Solid Acid Catalyst by Sulfonating Activated Carbon in a Chemical Reduction Process" *Molecules*. 15: 7188-7196.
- [34] Janaun J. and N. Ellis. 2011. "Role of silicate template in the preparation of sulfonatedmesoporouscarboncatalysts" *Applied Catalysis A: General*. 394: 25-31.
- [35] Geng L., G. Yu, Y. Wang and Y. Zhu. 2012. "Ph-SO₃H-modified mesoporous carbon as an efficient catalyst for the esterification of oleic acid" *Applied Catalysis A: General*. 427-428: 137-144.



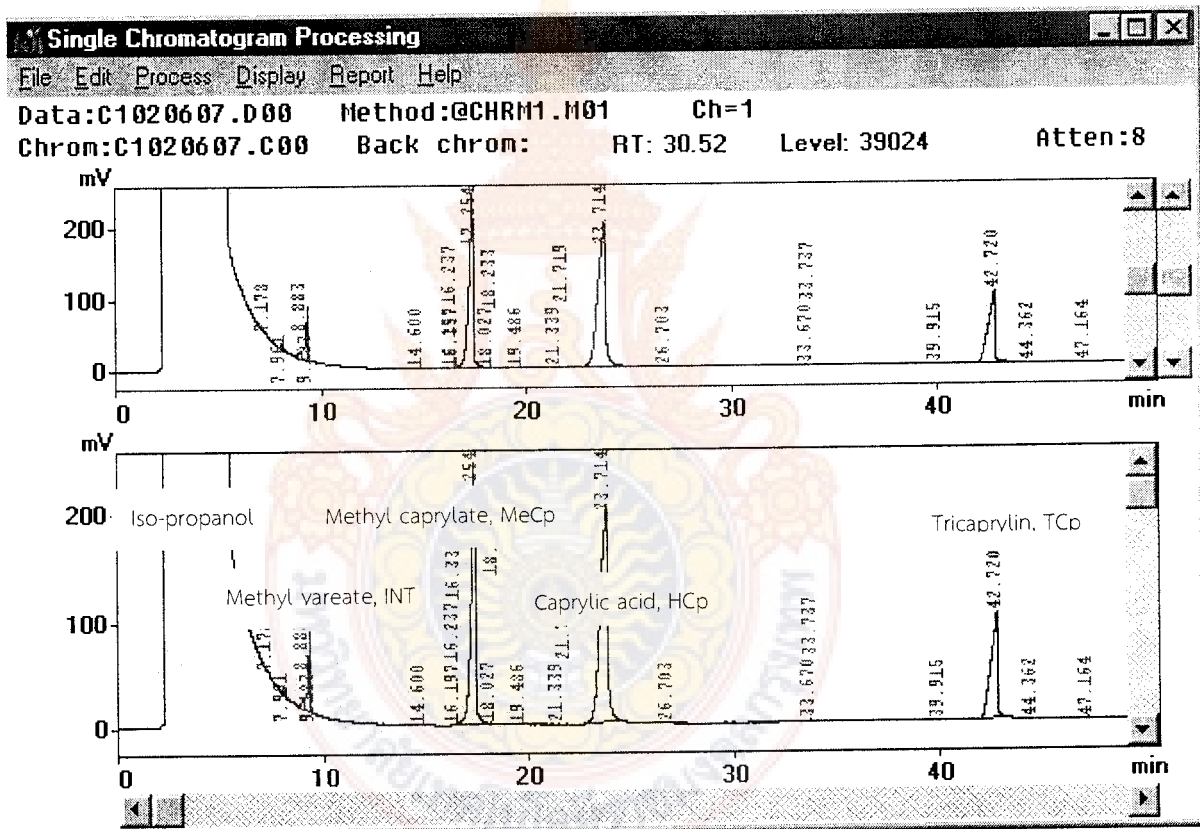
ภาคผนวก

ภาคผนวก ก

การคำนวณความว่องไวในการเร่งปฏิกิริยาเอสเทอราฟิฟิเดชัน

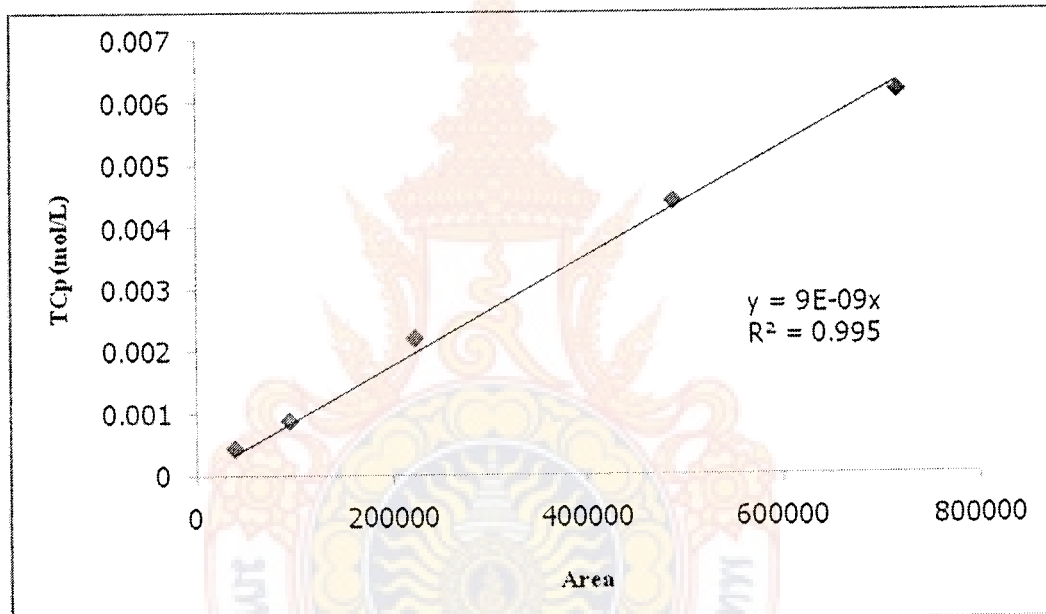
ก. 1 การคำนวณหาค่าการเปลี่ยนของ HCp (% HCp conversion)

ตัวอย่างการคำนวณหาค่า HCp conversion (%) ที่ 120 นาที คำนวณได้จากพื้นที่ต่อกرافที่ได้จากการวิเคราะห์ด้วยเครื่องแก๊สโครมาโทกราฟ โดยกราฟและข้อมูลที่วิเคราะห์ด้วยเครื่องแก๊สโครมาโทกราฟ มีดังนี้

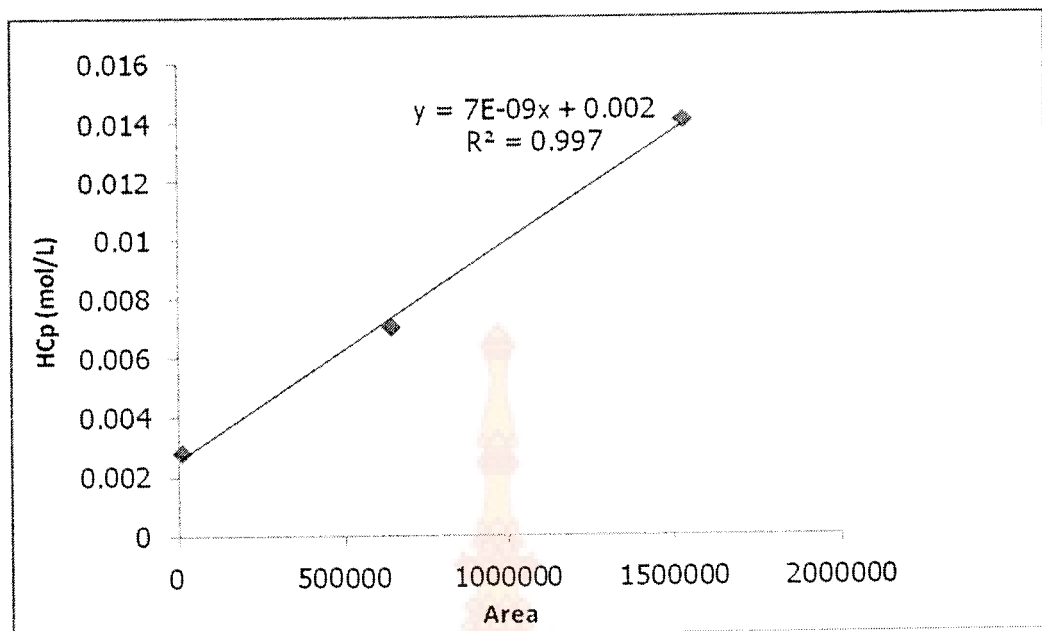


รูปที่ ก.1 โครมาโทแกรมของสารตั้งต้นและผลิตภัณฑ์จากปฏิกิริยาทรานส์เอสเทอราฟิฟิเดชันของ TCp และกรดไขมันอิสระ HCp

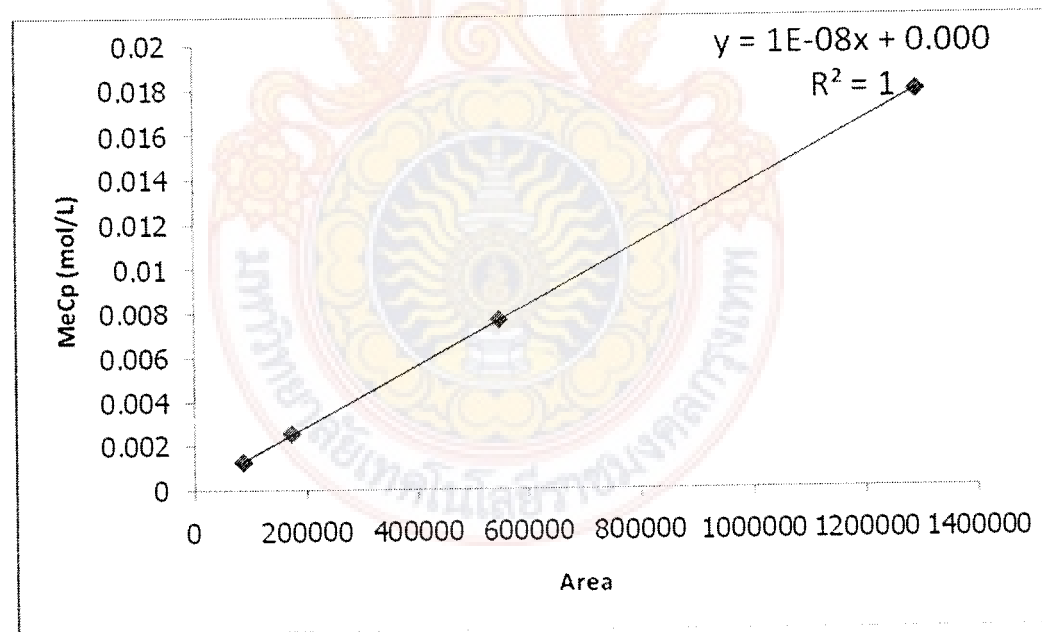
รูปที่ ก.1 เป็นโครงโต้แกรมของที่ใช้ในการวิเคราะห์หาปริมาณเบื้องต้นจากปฏิกิริยาเอสเทอ-ริฟิเคชันของ TCp ประกอบไปด้วย (1) ไอโซ-โพรพานอลเป็นตัวทำละลายที่ใช้ในการเตรียมสารทำปฏิกิริยาซึ่งเป็นสารตัวแรกในโครงโต้แกรมปรากว่าที่ retention time เท่ากับ 2.543 นาที (2) เมทิลวาลิอิธเป็นสารอินเทอร์นอลสแตนดาร์ด (Internal standard) ใช้ในการอ้างอิงปริมาณสารต่างๆ ที่อยู่ในปฏิกิริยาโดยจะมีปริมาณคงที่ในโครงโต้แกรมของสารทุกๆ ตัวอย่าง ปรากว่าที่ retention time เท่ากับ 8.853 นาที (3) เมทิลคาพริเลท (MeCp) เป็นผลิตภัณฑ์เบื้องต้นที่เกิดจากการทำปฏิกิริยาเอสเทอ-ริฟิเคชันของ HCp ปรากว่าที่ retention time เท่ากับ 15.209 นาที (4) กรดคาพริลิก (HCp) เป็นสารตั้งต้นกรดไขมันอิสระปรากว่าที่ retention time เท่ากับ 23.714 นาที โดยในการวิเคราะห์ปริมาณจะใช้วิธีการทำกราฟมาตรฐาน (Calibration curve) ในการหาปริมาณสารต่างๆ ที่อยู่ในปฏิกิริยาดังรูป ก.2 – 4



รูปที่ ก.2 กราฟมาตรฐานของ TCp



รูปที่ ก.3 กราฟมาตรฐานของ HCp



รูปที่ ก.4 กราฟมาตรฐานของ MeCp

ตารางที่ ก.1 พื้นที่ไดกราฟของครามาโธรограмจากการวิเคราะห์ด้วยเทคนิคแก๊สครามาโธกราฟของปฏิกิริยาเอสเทอเรติกเคนท์ ที่ 120 นาที

sample	retention time (min)	Area (หน่วย)
INT	8.923	77780
MeCp	15.08	140800
HCp	23.174	3567

หมายเหตุ INT คือ Internal standard (Methyl valeate)

MeCp คือ Methyl caprylate

HCp คือ Caprylic acid

หาค่าการเปลี่ยนของ HCp (%) ที่ 120 นาที

หาค่า INT_{avg} จาก INT ที่เวลา 0 5 15 30 60 90 และ 120 นาที ดังนี้

$$INT_{avg} = \frac{75966 + 86769 + 63744 + 64386 + 74740 + 66016 + 77780}{7} \\ = 63675.125$$

หาค่า Corrected area ของ Sample ตัวอย่างเข่นค่า Corrected area ของ MeCp ดังนี้

Area INT ที่ 120 นาที 77780 Area INT_{avg} 63675.125

Area MeCp ที่ 120 นาที 140800 Corrected Area MeCp

$$\frac{140800 \times 63675.125}{77780} = 115266.88$$

หากความเข้มข้น

$$\text{จาก } C_1V_1 = C_2V_2$$

$$\text{และ } C_2V_3 = C_3V_4$$

โดยที่ C_1 = ความเข้มข้นในเครื่องแก๊สโครมาโทกราฟ

$$V_1 = 50 \mu\text{L}/\text{min}$$

C_2 = ความเข้มข้นใน Micro-centrifuge tube (MC)

$$V_2 = 5 \times 10^3 \mu\text{L}/\text{min}$$

$$V_3 = 0.15 \mu\text{L}/\text{min}$$

C_3 = ความเข้มข้นในสารทำปฏิกิริยา (Reaction mixture, RM)

$$V_4 = 0.55 \mu\text{L}/\text{min}$$

ตัวอย่างการหาความเข้มข้นที่ 120 นาที

$$C_1 = \text{mol/L ในเครื่อง}$$

$$0.001447521 \times 50 = C_2 \times 5 \times 10^3$$

$$C_2 = (0.001447521 \times 50) \div 5 \times 10^3$$

$$= 0.144752143 \text{ mol/L}$$

หา C_3

$$0.144752143 \times 0.15 = C_3 \times 0.55$$

$$C_3 = (0.144752143 \times 0.15) \div 0.55$$

$$= 0.530757856 \text{ mol/L}$$

หาค่า % HCp conversion ที่ 120 นาที

จากความเข้มข้นของ Sample ของแต่ละตัวจะได้ความเข้มข้นรวม (ความเข้มข้น HCp ที่เวลา

ใดๆ, $[HCp]_0$) คือ 0.63766256 mol/L

$$\frac{[HCp]_0 - [HCp]_{120}}{[HCp]_0} \times 100\%$$

$$\% \text{ HCp} = \frac{0.63766256 - 0.47688152}{0.63766256} \times 100 = 25.2141251$$

ก.2 หาค่า % MeCp yield ที่ 120 นาที

$$\% \text{ MeCp} = \frac{[\text{MeCp}]}{[\text{HCp}_0]} \times 100\%$$

$$\% \text{ MeCp} = \frac{[0.16078104]}{[0.63766256]} \times 100 = 25.2141251$$

ภาคผนวก ข

การวิเคราะห์ด้วยเครื่องเครื่องแก๊สโคมากอกราฟ

ข.1 โคมากอกราฟ (Chromatography)

โคมากอกราฟ อาศัยสมบัติ 2 ประการคือ สารต่างชนิดกันมีความสามารถในการละลายในตัวทำละลายได้ต่างกัน และสารต่างชนิดกันมีความสามารถในการถูกดูดซับด้วยตัวดูดซับได้ต่างกัน

โคมากอกราฟ เป็นเทคนิคในการแยกสารผสม วิธีการนี้จะมีเฟส 2 เฟส คือ เพสอยู่กับที่ (Stationary phase) กับเพสเคลื่อนที่ (Mobile phase) โดยที่สารในเพสอยู่กับที่จะทำหน้าที่ดูดซับ (Adsorb) สารผสมด้วยแรงไฟฟ้าสถิตย์ สารที่ใช้ทำเพสอยู่กับที่จึงมีลักษณะเป็นผงละเอียดมีพื้นที่ผิวมาก เช่น อลูมีนา (Al_2O_3) ซิลิกาเจล (Silica gel, SiO_2) หรืออาจจะใช้วัสดุที่สามารถดูดซับได้ดี เช่น ชอล์ก กระดาษ ซึ่งสารที่ทำหน้าที่ดูดซับในเพสอยู่กับที่ เช่น น้ำ ส่วนเพสเคลื่อนที่จะทำหน้าที่ชะ (Elute) เอาสารผสมออกจากเพสอยู่กับที่ให้เคลื่อนที่ไปด้วย การจะเคลื่อนที่ได้มากหรือน้อยขึ้นอยู่กับแรงดึงดูดระหว่างสารในสารผสมกับตัวดูดซับในเพสอยู่กับที่ ดังนั้นสารที่ใช้เป็นเพสเคลื่อนที่จึงได้แก่ กลุ่มตัวทำละลาย เช่น ปิโตรเลียมอีเทอร์ ไฮเซน คลอโรฟอร์ม เป็นต้น ฯลฯ การทำโคมากอกราฟสามารถทำได้หลายวิธีซึ่งแตกต่างกันที่เพสอยู่กับที่ว่าอยู่ในลักษณะใด เช่น

ข.1.1 โคมากอกราฟสามารถแบ่งได้หลายชนิด ดังนี้

ข.1.1.1 โคอมากอกราฟแบบคอลัมน์ (Column chromatography) ทำได้โดยการบรรจุสารที่เป็นเพสอยู่กับที่ เช่น อลูมีนาหรือซิลิกาเจลไว้ในคอลัมน์ แล้วทำการผสมที่เป็นสารละลายของเหลวลงสู่คอลัมน์ สารผสมจะผ่านคอลัมน์ช้าๆ โดยตัวทำละลายซึ่งเป็นเพสเคลื่อนที่เป็นผู้พาไป สารในเพสอยู่กับที่จะดูดซับสารในสารผสมไว้ส่วนประกอบใดของสารผสมที่ถูกดูดซับได้ดีจะเคลื่อนที่ช้า ส่วนที่ถูกดูดซับไม่ดีจะเคลื่อนที่ได้เร็ว ทำให้สารผสมเกิดการแยกจากกันได้

ข.1.1.2 โคอมากอกราฟแบบชั้นบาง (Thin layer chromatography) เป็นโคอมากอกราฟแบบราบ (Plane chromatography) โดยทำเพสอยู่กับที่ให้มีลักษณะเป็นครีมชั้น แล้วเคลือบบนแผ่นกระจีกให้ความหนาของการเคลือบทาบกันตลอดแล้วนำไปปูบนให้แห้ง หยดสารละลายของสารผสมที่ต้องการแยกบนแผ่นที่เคลือบเพสอยู่กับที่นี้ไว้ และนำไปจุ่มในภาชนะที่บรรจุตัวทำละลายที่เป็นเพสเคลื่อนที่ โดยให้ระดับของตัวทำละลายอยู่ต่ำกว่าระดับของจุดที่หยดสารผสม ตัวทำละลายจะซึมไปตามเพสอยู่กับที่ด้วยการซึมตามรูเล็ก เมื่อกลับกับน้ำที่ซึมไปในกระดาษหรือผ้า เมื่อซึมถึงจุดที่หยดสารผสมไว้ ตัวทำละลายจะชะลอลงค์ประกอบในสารผสมนั้นไปด้วยอัตราเร็วที่แตกต่างกัน ทั้งนี้ขึ้นอยู่กับสภาพมีข้า

(Polarity) ของสารที่เป็นองค์ประกอบกับสารที่เป็นตัวทำละลาย ถ้าตัวทำละลายเป็นโมเลกุลมีขั้ว (Polar molecules) จะจะเอองค์ประกอบที่มีขั้วในสารผสมไปได้เร็ว ส่วนองค์ประกอบที่ไม่มีขั้วในสารผสมจะถูกชะพาไปได้ช้า ซึ่งจะทำให้เกิดการแยกขององค์ในสารผสมแยกออกจากกัน

ข.1.1.3 โครมาโทกราฟีแบบกระดาษ (Paper chromatography) เป็นโครมาโทกราฟีแบบรูนาบอีกแบบหนึ่ง มีวิธีการและหลักการเหมือนกับโครมาโทกราฟีแบบชั้นบาง แต่ต่างกันที่เฟสอยู่กับที่ใช้กระดาษที่สามารถดูดซับได้แทนกระจุกที่เคลือบด้วยซิลิกาเจล

ข.1.1.4 โครมาโทกราฟีแบบแก๊ส (Gas chromatography) ใช้สำหรับแยกสารผสมที่เป็นแก๊ส โดยมีเฟสเคลื่อนที่เป็นแก๊สและไม่ทำปฏิกิริยากับสารผสม เช่น ไฮเดรน จะทำหน้าที่เป็นตัวพา (Carrier) สารผสม ส่วนเฟสอยู่กับที่อาจจะเป็นของแข็งหรือของเหลวที่บรรจุอยู่ในคอลัมน์ เมื่อหันตัวพาและสารผสมเคลื่อนที่ผ่านคอลัมน์นี้ เฟสอยู่กับที่ในคอลัมน์จะดึงดูดด้วยแรงดึงดูดไฟฟ้าสถิตย์ตามความเป็นขั้วของสารกับโมเลกุลในสารผสมทำให้องค์ประกอบในสารผสมถูกพาไปด้วยอัตราเร็วที่ต่างกันทำให้เกิดการแยก

ปัจจุบันเทคนิคของโครมาโทกราฟีได้ถูกพัฒนาให้สามารถทำงานได้รวดเร็ว และใช้แยกสารตัวอย่างได้ครั้งละหลายสารตัวอย่าง เช่น Gas-Liquid Chromatography (GLC), High Performance Liquid Chromatography (HPLC) เป็นต้น

ข.2 หลักเกณฑ์ในการเลือกตัวทำละลายและตัวดูดซับ และ Internal standard

สิ่งสำคัญที่ต้องพิจารณาในการเลือกใช้ เทคนิคนี้ คือ

ข.2.1 การเลือกตัวทำละลายและตัวดูดซับ

ข.2.1.1 ตัวทำละลายและสารที่ต้องการแยกจะต้องมีการละลายไม่เท่ากัน

ข.2.1.2 ควรเลือกตัวดูดซับที่มีการดูดซับสารได้ไม่เท่ากัน

ข.2.1.3 ถ้าต้องการแยกสารที่ผสมกันหลายชนิด อาจต้องใช้ตัวทำละลายหลายชนิดหรือใช้ตัวทำละลายผสม

ข.2.1.4 ตัวทำละลายที่นิยมใช้ ได้แก่ เอกเซน ไซโคเลอิกเซน เบนซีน อะซีโตน คลอโรฟอร์ม เอทานอล

ข.2.1.5 ตัวดูดซับที่นิยมใช้ ได้แก่ อะลูมิโนเจล (Al_2O_3) ซิลิกาเจล (SiO_2)

ข.2.2 การเลือก Internal standard

ข.2.2.1 สารที่จะใช้ Internal standard จะต้องเป็นสารที่ไม่เป็นองค์ประกอบ หรือมีอยู่ในสารตัวอย่างที่นำมาวิเคราะห์

ข.2.2.2 สารที่เป็น Internal standard จะต้องแยกออกจากสารตัวอย่างได้ อย่างสมบูรณ์

ข.2.2.3 Internal standard ต้องเป็นสารบริสุทธิ์

ข.2.2.4 Internal standard ต้องเป็นสารที่ไม่ทำปฏิกิริยากับสารต่างๆที่เป็นองค์ประกอบของสารตัวอย่างนั้น

ข.2.5 Internal standard ที่เติมลงไปนั้นต้องมีความเข้มข้นใกล้เคียงกับสารที่ต้องการหาปริมาณ

การวิเคราะห์ด้วยวิธีนี้ใช้วิธีเติมสารมาตรฐานที่เป็นสารต่างชนิดกันกับสารตัวอย่าง ซึ่งเรียกว่า Internal standard ที่ทราบความเข้มข้นแน่นอนลงในสารตัวอย่างเพื่อใช้เปรียบเทียบ การเติม Internal standard ลงในต้องคำนึงถึงความเข้มข้นและปริมาตรที่เปลี่ยนแปลงไปด้วย เพราะจะต้องใช้พื้นที่พิเศษในการเทียบกัน ข้อดีของเทคนิคนี้คือ สารต่างๆ ที่เป็นองค์ประกอบของสารตัวอย่างไม่จำเป็นที่จะต้องถูกชะออกมากหมดทุกตัวเพียงแต่สารที่สนใจจะวิเคราะห์ และ Internal standard ที่เติมลงไปถูกชะออกมากหมด

ภาคผนวก ค
การเผยแพร่ผลงาน

งานวิจัยนี้ได้นำไปเผยแพร่ผลงานโดยการนำเสนอผลงานทางวิชาการระดับนานาชาติเรื่อง “Effect of carbon-based for sulfonated solid acid catalysts synthesis using in a biodiesel production” ใน การประชุมทางวิชาการ ECI conference series: Nonstoichiometric Compounds V conference ณ โรงแรมคาปो เดอ เกรซิ โอเทล รีสอร์ท (Capo Dei Greci Hotel Resort) เมือง陶奥里米 (Taormi) รัฐไซซิลี (Sicily) ประเทศอิตาลี ระหว่างวันที่ 23 - 28 กันยายน 2555 ดังรายละเอียดข้างล่าง

Abstract Acceptance - Nonstoichiometric Compounds V Conference - kawokwinn@gmail.com... <https://mail.google.com/mail/u/0/#inbox>

+You Search Images Maps Play YouTube News Gmail Documents Calendar More

Google eci conferences

Gmail Move to Inbox More

COMPOSE Hotel Management College - GlionOnline.com/Hotel-Management - Glion Online: 100% Online Hotel Management Degree. Apply Now!

Inbox (4,694) Abstract Acceptance - Nonstoichiometric Compounds V Conference Index x

Important

Sent Mail

Drafts (46)

Notes

Personal

Travel

Search, chat, or SMS

Invitations (1/3) < [x]

hinze.nong1@gmail.com wants to be able to chat with you. Okay? Yes No

Kathy Chan kathy@engconfintl.org to me

Dear Kanokwan Ngaosuwan,

On behalf of Engineering Conferences International and the conference chairs, Juergen Janek (Justus-Liebig-University Lorenzo Malavasi (University of Pavia, Italy), Tatsuya Kawada (Tohoku University, Japan), and Ryan O'Hare (Colors USA), it is my pleasure to inform you that the abstract entitled:

Effect of carbon-based for sulfonated solid acid catalysts synthesis using in a biodiesel production has been accepted for Poster Presentation at the Nonstoichiometric Compounds V Conference to be held from September 23-28, 2012 in Taormina, Sicily, Italy.

Please visit the [conference website](#) for more details.

Best regards,

Kathy Chan
Organizer

ประวัตินกวิจัย



1. ชื่อ

นางสาวกานการณ์ จ้าวสุวรรณ

MISS KANOKWAN NGAOSUWAN

2. ตำแหน่งปัจจุบัน

อาจารย์

3. หน่วยงานที่อยู่ที่สามารถติดต่อได้สะดวก พร้อมหมายเลขโทรศัพท์ โทรสาร และ e-mail

สาขาวิชาบริหารธุรกิจ คณะบริหารศาสตร์

มหาวิทยาลัยเทคโนโลยีราชมงคลกรุงเทพ

2 ถนนนาคนิจ เขตสาทร กรุงเทพฯ 10120

โทรศัพท์ 0 2287 9734 และ 0 2287 9628 ต่อ 1195, 1201, 1210

โทรสาร 0 2287 9734

e-mail: kanokwanng@gmail.com , kanokwan.n@rmutk.ac.th

4. ประวัติการศึกษา

ปีที่จบ การศึกษา	ระดับ ปริญญา	อักษรย่อปริญญา และชื่อเต็ม	สาขาวิชา	วิชาเอก	ชื่อสถาบัน การศึกษา	ประเทศ
2553	เอก	วศ.ด. ศศ.บัญชี และบัญชีติด	วิศวกรรมศาสตร์	วิศวกรรมเคมี	วิศวกรรมเคมี จุฬาลงกรณ์ มหาวิทยาลัย	ไทย
2544	โท	วศ.ม. มหาบัณฑิต	วิศวกรรมศาสตร์	วิศวกรรมเคมี	มหาวิทยาลัย เกษตรศาสตร์	ไทย
2541	ตรี	วศ.บ. บัณฑิต	วิศวกรรมศาสตร์	วิศวกรรมเคมี	วิศวกรรมเคมี เทคโนโลยี สุรนารี	ไทย

5. สาขาวิชาการที่มีความชำนาญพิเศษ (แตกต่างจากวุฒิการศึกษา) ระบุสาขาวิชาการ
วิศวกรรมเคมี วิศวกรรมตัวเร่งปฏิกิริยา

6. ประสบการณ์ที่เกี่ยวข้องกับการบริหารงานวิจัยทั้งภายในและภายนอกประเทศ โดยระบุ สถานภาพในการทำวิจัยว่าเป็นผู้อำนวยการแผนงานวิจัย หัวหน้าโครงการวิจัย หรือผู้ร่วมวิจัย ในแต่ละข้อเสนอการวิจัย

6.1 ผู้อำนวยการแผนงานวิจัย: ชื่อแผนงานวิจัย

—

6.2 หัวหน้าโครงการวิจัย: ชื่อโครงการวิจัย

1) การผลิตไบโอดีเซลแบบสองขั้นตอนโดยใช้ตัวเร่งปฏิกิริยาทั้งสเตนบันตัวรองรับ

เชอร์โคเนย์

2) ชัลโลเคนเดบันถ่านกัมมันต์จากกาแกแฟ: ตัวเร่งปฏิกิริยาการดของแข็งชนิดใหม่สำหรับ การผลิตไบโอดีเซล

6.3 งานวิจัยที่ทำเสร็จแล้ว : ชื่อผลงานวิจัย ปีที่พิมพ์ การเผยแพร่และแหล่งทุน (อาจมากกว่า 1 เรื่อง)

1) Mathematical modeling and simulation for gas-liquid reactors, 2005, Computers and Chemical Engineering, 2461–2473, ทุน CHE-ADB, ผู้ร่วมวิจัย

2) การสังเคราะห์พอลิ (เมทริคเมทาคริเลต) ที่กราฟต์บนแป้งข้าวโพดโดยใช้โพแทสเซียม เปอร์ซัลเพตเป็นสารเริ่มปฏิกิริยา ได้รับทุนสนับสนุนงานวิจัยจากบประมาณผลประโยชน์ ประจำปี 2549, ผู้ร่วมวิจัย

3) Hydrolysis of Triglycerides using Solid Acid Catalysts, 7th Annual Symposium of the Southeastern Catalysis Society, 2009, North Carolina, USA ทุน Animal Co-Products Research & Education Center (ACREC) ที่มหาวิทยาลัย Clemson ประเทศไทย

สหรัฐอเมริกา, ผู้วิจัย

4) Simultaneous Free Fatty Acid Esterification and Triglyceride Transesterification Using a Solid Acid Catalyst with in Situ Removal of Water and Unreacted Methanol, 2009, Ind. Eng. Chem. Res., page 2810–2818, ทุน Animal Co-

Products Research & Education Center (ACREC) ที่มหาวิทยาลัย Clemson ประเทศสหรัฐอเมริกา,
ผู้ร่วมวิจัย

5) Hydrolysis of Triglycerides Using Solid Acid Catalysts , 2009, *Ind. Eng. Chem. Res.*, page 2810–2818, ทุนพัฒนาอาจารย์ของสำนักงานคณะกรรมการการอุดมศึกษาแห่งชาติ (สกอ.) ร่วมกับ Animal Co-Products Research & Education Center (ACREC) ที่มหาวิทยาลัย Clemson ประเทศสหรัฐอเมริกา, ผู้วิจัย

6) Kanokwan Ngaosuwan, 3-Phase Hydrolysis of Triglycerides using Solid Acid Catalysts, Chemcongress 3, 2009, Pataya, Thailand ทุนพัฒนาอาจารย์ของสำนักงานคณะกรรมการการอุดมศึกษาแห่งชาติ (สกอ.)

7) Reaction kinetics and mechanisms for hydrolysis and transesterification of triglycerides on tungstated zirconia, 2010, *Topic in Catalysis*, page 53,783–794., ทุนพัฒนาอาจารย์ของสำนักงานคณะกรรมการการอุดมศึกษาแห่งชาติ (สกอ.) ร่วมกับ Animal Co-Products Research & Education Center (ACREC) ที่มหาวิทยาลัย Clemson ประเทศสหรัฐอเมริกา, ผู้วิจัย

8) The role of zirconia surface on catalytic activity of tungstated zirconia via two-phase esterification of acetic acid and 1-heptanol, 2010, *Catalysis Letters*, page 134 – 140. ทุนพัฒนาอาจารย์ของสำนักงานคณะกรรมการการอุดมศึกษาแห่งชาติ (สกอ.), ผู้วิจัย

9) Effect of solvent on hydrolysis and transesterification reactions on tungstated zirconia, 2010, *Applied Catalysis A: General*, 380 page 81–86. ได้รับทุนสนับสนุน จาก Animal Co-Products Research & Education Center (ACREC) ที่มหาวิทยาลัย Clemson ประเทศสหรัฐอเมริกา, ผู้วิจัย

10) Lauric Oils Synthesis in a Semi-Batch Reactor using Tungstated Zirconia as a Solid Acid Catalyst, The Asian Conference on Sustainability, Energy and the Environment (ACSEE) 2011, Osaka, Japan, ทุนกระทรวงพลังงาน, ผู้วิจัย

- 11) Single-walled Carbon Nanohorns Supported Sulfonated Catalyst for Biodiesel Production, The Asian Conference on Sustainability, Energy and the Environment (ACSEE) 2011, Osaka, Japan, ทุนงบประมาณเงินรายได้ปี 2553, ผู้ร่วมวิจัย
- 12) Patent Review on “Biodiesel Production Process”, Recent Patents on Chemical Engineering, 2011, 4, xxxx-xxxx, ผู้ร่วมวิจัย



6.4 งานวิจัยที่กำลังทำ : ชื่อข้อเสนอการวิจัย แหล่งทุน และสถานภาพการทำวิจัย ว่าได้ทำ การวิจัยลุ่ว่งแล้วประมาณเท่าใด

- 1) Observation on the different type of active sites for acid catalyzed oils conversion reaction ได้รับทุนสนับสนุนจาก Animal Co-Products Research & Education Center (ACREC) ที่มหาวิทยาลัย Clemson ประเทศสหรัฐอเมริกา, ทำการวิจัยลุ่ว่งไปแล้ว 30%, ผู้วิจัย
- 2) การสังเคราะห์ตัวเร่งปฏิกิริยาซัลฟอเนตคาร์บอนนาโนไฮดรอนแบบผนังชั้นเดียวสำหรับ การผลิตน้ำมันใบโอดีเซล ได้รับทุนสนับสนุนงานวิจัยจากงบประมาณเงินรายได้ มหากรุงเทพ ปี 2554 เป็นผู้ร่วมวิจัย เริ่มดำเนินการวิจัย 1 ตุลาคม 2553 ทำการวิจัยลุ่ว่งไปแล้ว 90%
- 3) โครงการผลิตแบบบูรณาการเพื่อเพิ่มมูลค่าผลิตภัณฑ์จากเม็ดยางพารา โครงการวิจัยย่อยเรื่อง การผลิตน้ำมันใบโอดีเซลจากเม็ดยางพาราโดยใช้ตัวเร่งปฏิกิริยาเอกพันธุ์เบส ได้รับทุนสนับสนุนงานวิจัยจากเครือข่ายเชิงกลยุทธ์ ของสำนักงานคณะกรรมการการอุดมศึกษาแห่งชาติ (สกอ) เป็นผู้ร่วมวิจัย เริ่มดำเนินการ 1 ตุลาคม 2554 ทำการวิจัยลุ่ว่งไปแล้ว 30%
- 4) ชัลฟอเนตบนถ่านกัมมันต์จากการแยกตัวเร่งปฏิกิริยาลดของแข็งชนิดใหม่สำหรับ การผลิตใบโอดีเซล ได้รับทุนพัฒนาศักยภาพในการทำงานวิจัยของอาจารย์รุ่นใหม่ ของสำนักงานคณะกรรมการการอุดมศึกษา (สกอ) ร่วมกับสำนักงานกองทุนสนับสนุนงานวิจัย (สกว) ร่วมกับ มหาวิทยาลัยเทคโนโลยีราชมงคลกรุงเทพ (มทรก) เป็นผู้วิจัย เริ่มดำเนินการ 1 มิถุนายน 2554 ทำการ วิจัยลุ่ว่งไปแล้ว 30%
- 5) การศึกษาเครื่องปฏิกรณ์แบบหลายหน้าที่และการรวมกระบวนการสำหรับ อุตสาหกรรมเคมีและปิโตรเคมี ได้รับทุนส่งเสริมกลุ่มวิจัย (เมธีวิจัยอาวุโส สกว.) ภายใต้กลุ่มวิจัยของ ศ. ดร.สุทธิชัย อัสสะบารุรงรัตน์ เป็นผู้ร่วมวิจัย เริ่มดำเนินการ 1 สิงหาคม 2554 ทำการวิจัยลุ่ว่งไปแล้ว 15%